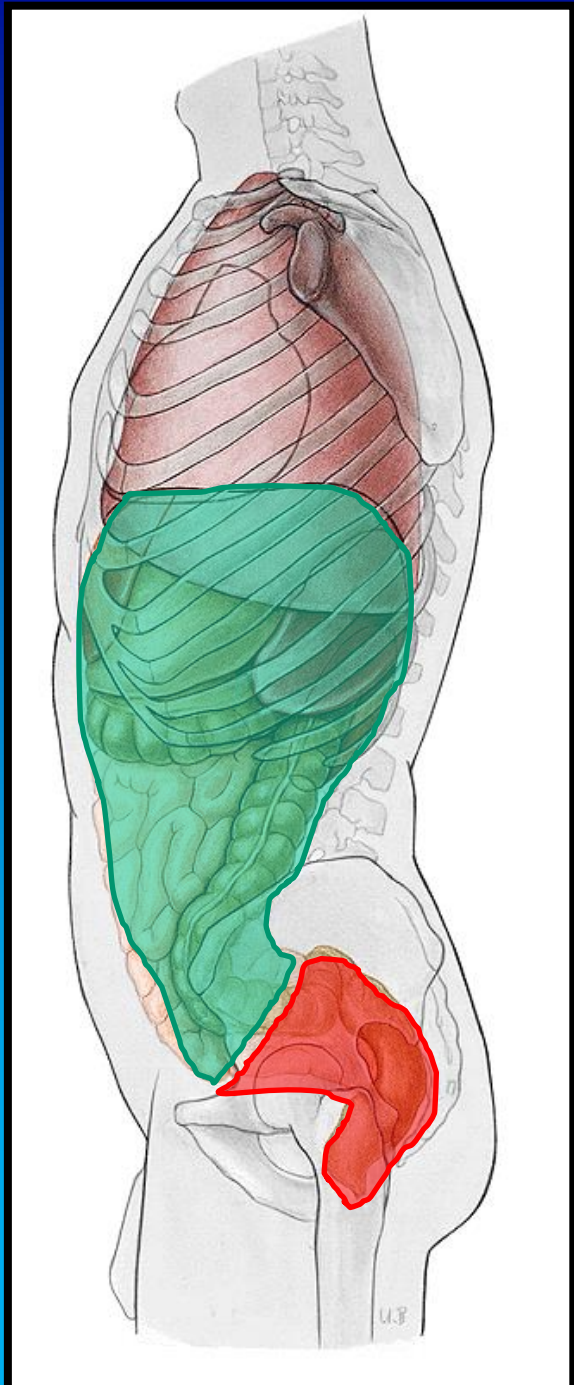


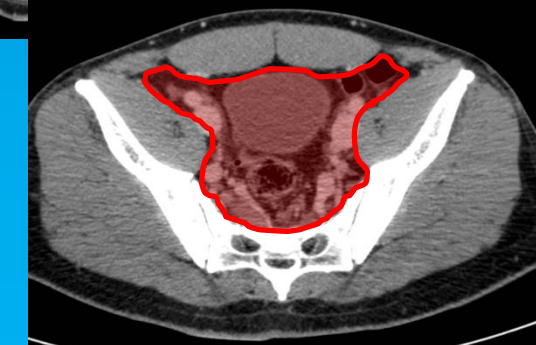
Abdomen 1

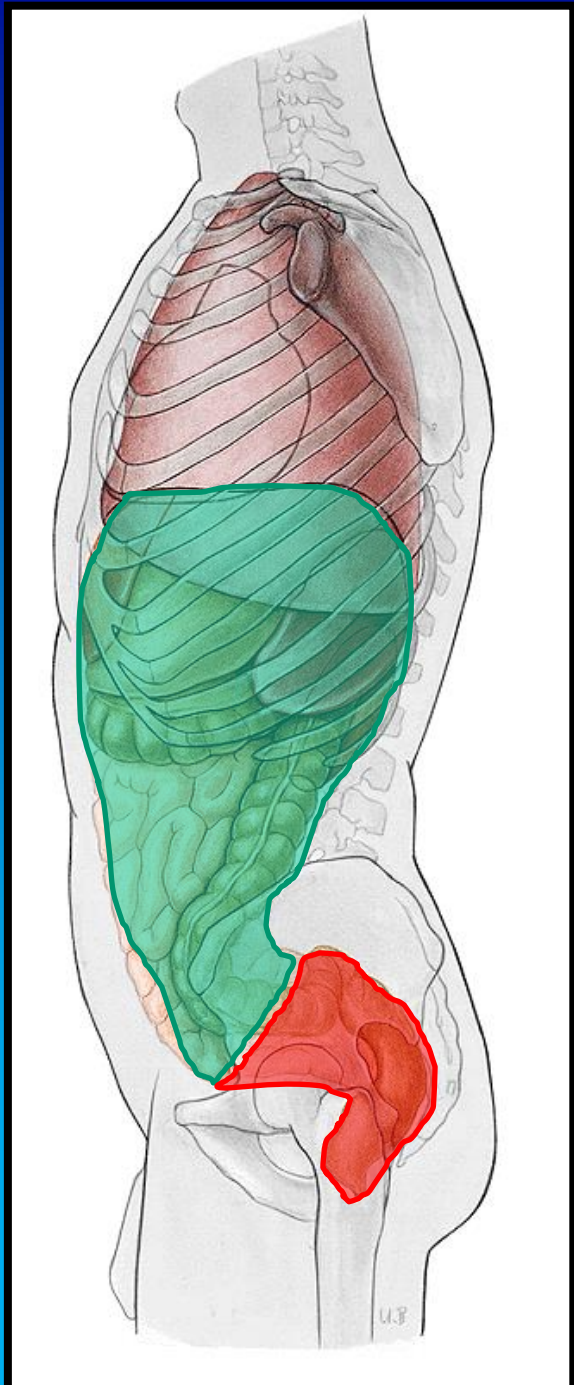
Michel Bach Hellfritzs



Cavitas abdominalis:

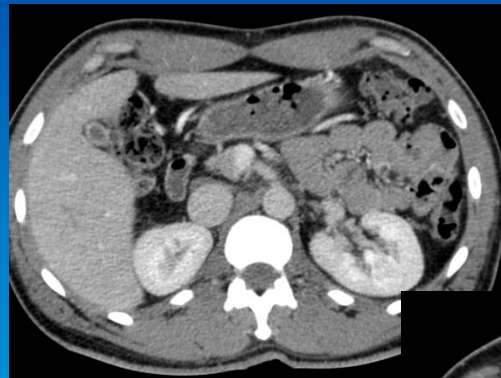
- Cavitas abdominalis propria
 - Linea terminalis
- Cavitas pelvis



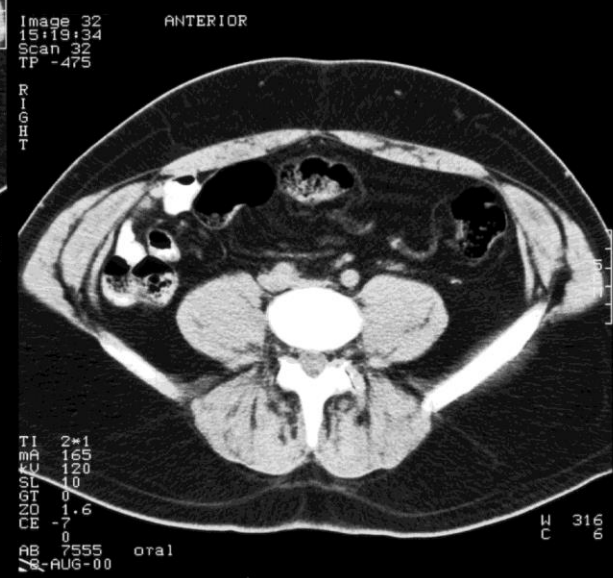
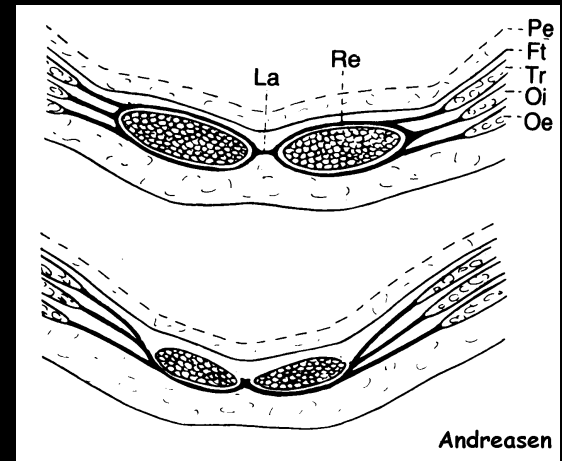


Cavitas abdominalis:

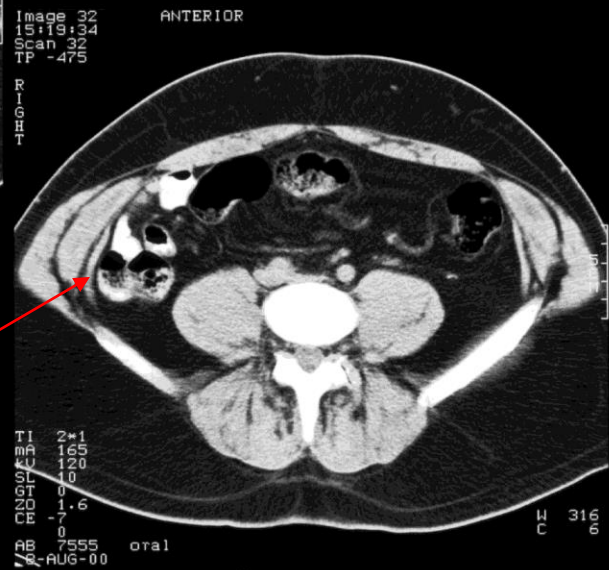
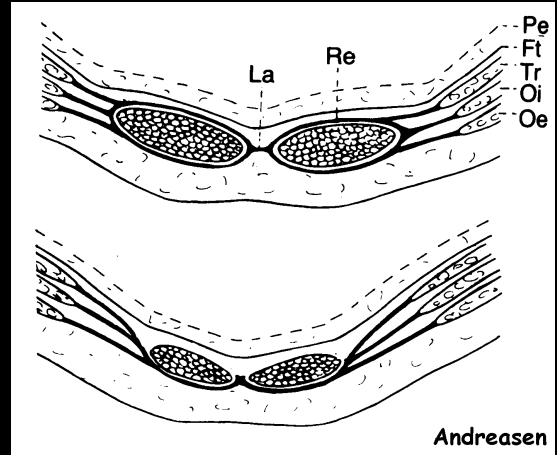
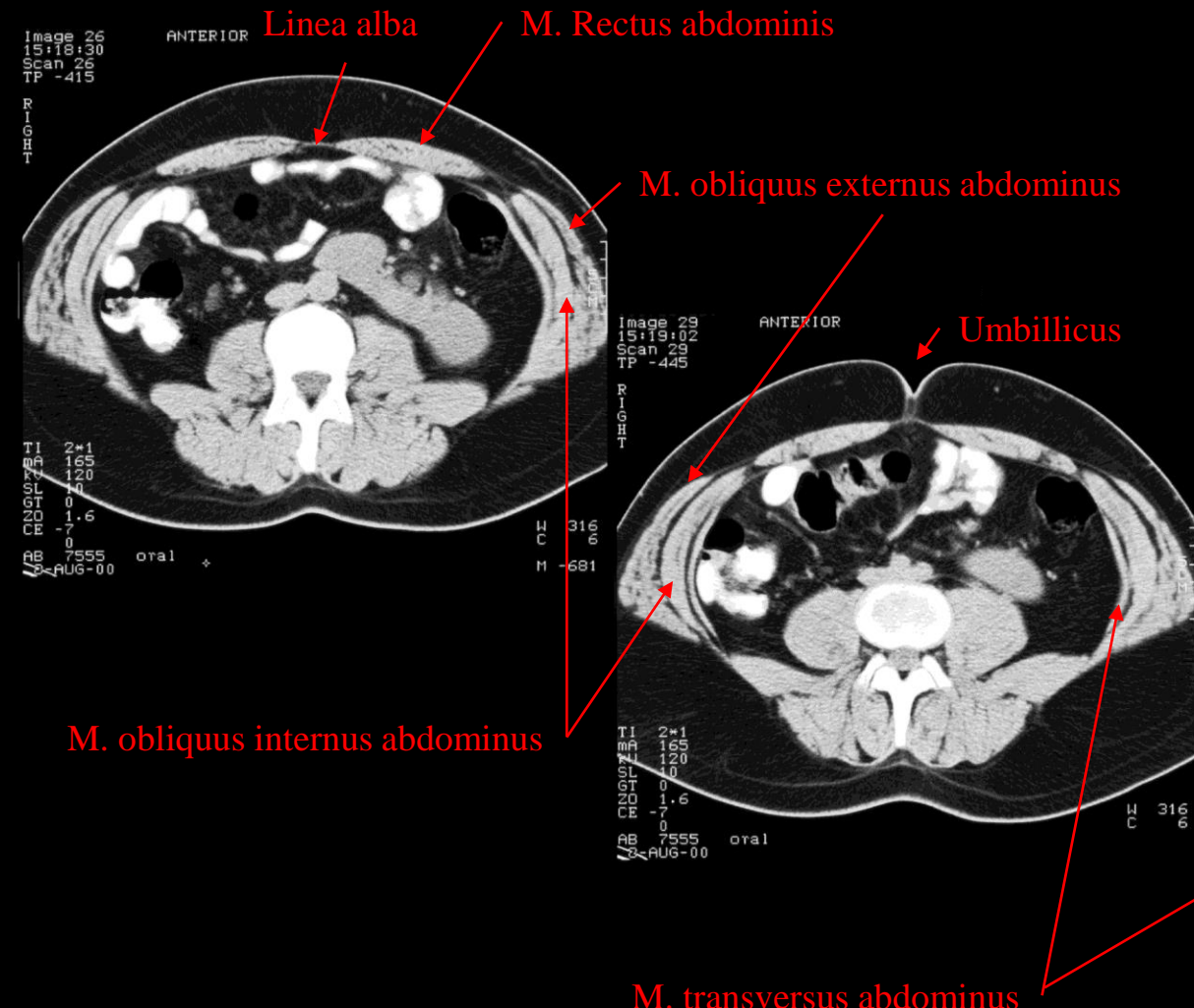
- Cavitas abdominalis propria
 - Linea terminalis
- Cavitas pelvis



Bughulens
afgrænsninger.



CT



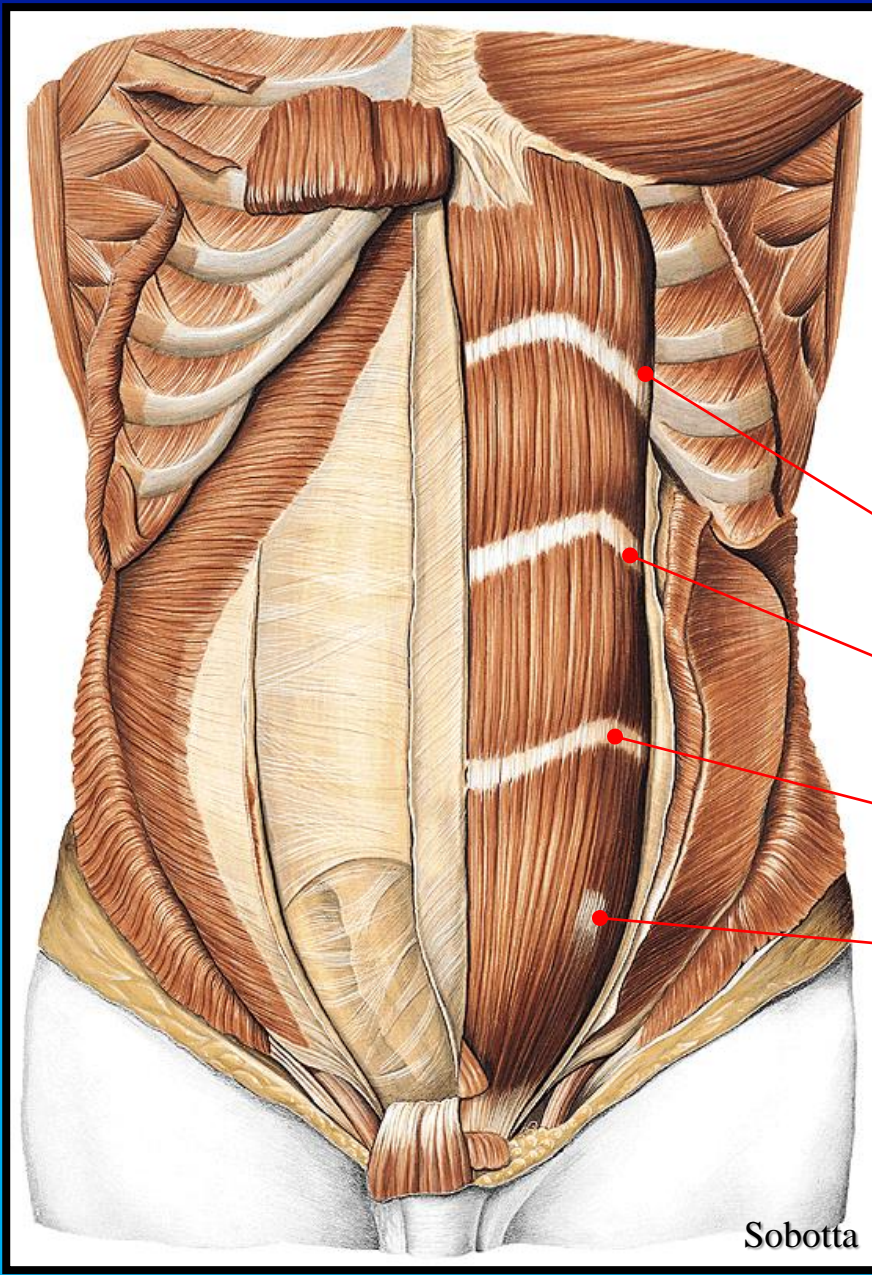
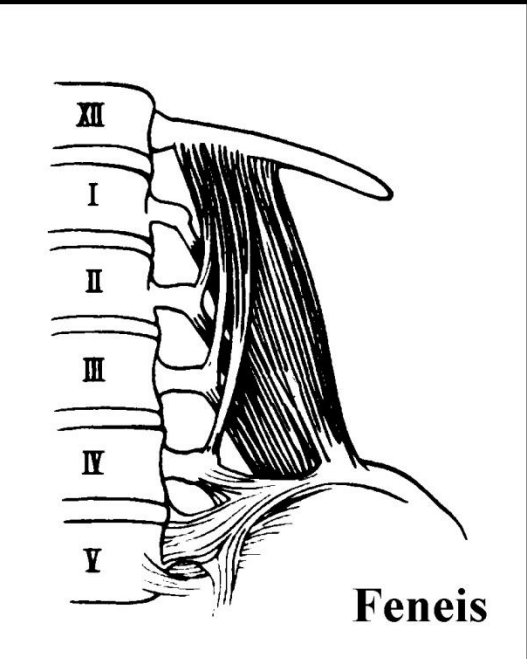
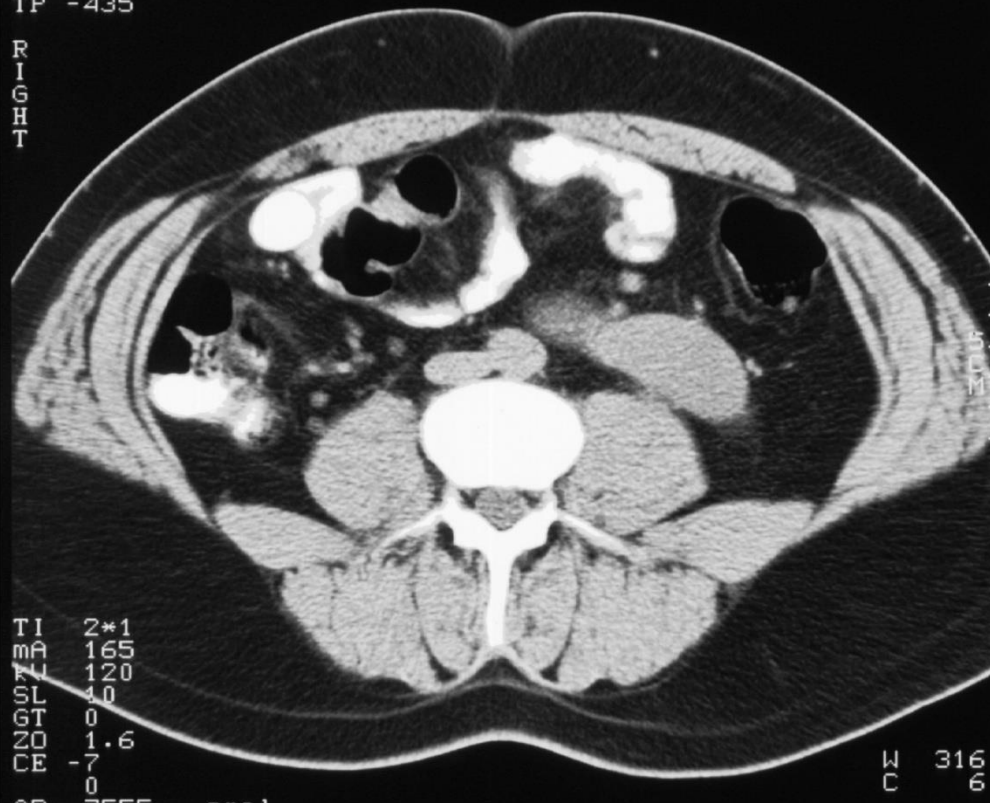


Image 28
15:18:52
Scan 28
TP -435

ANTERIOR

R
I
G
H
T

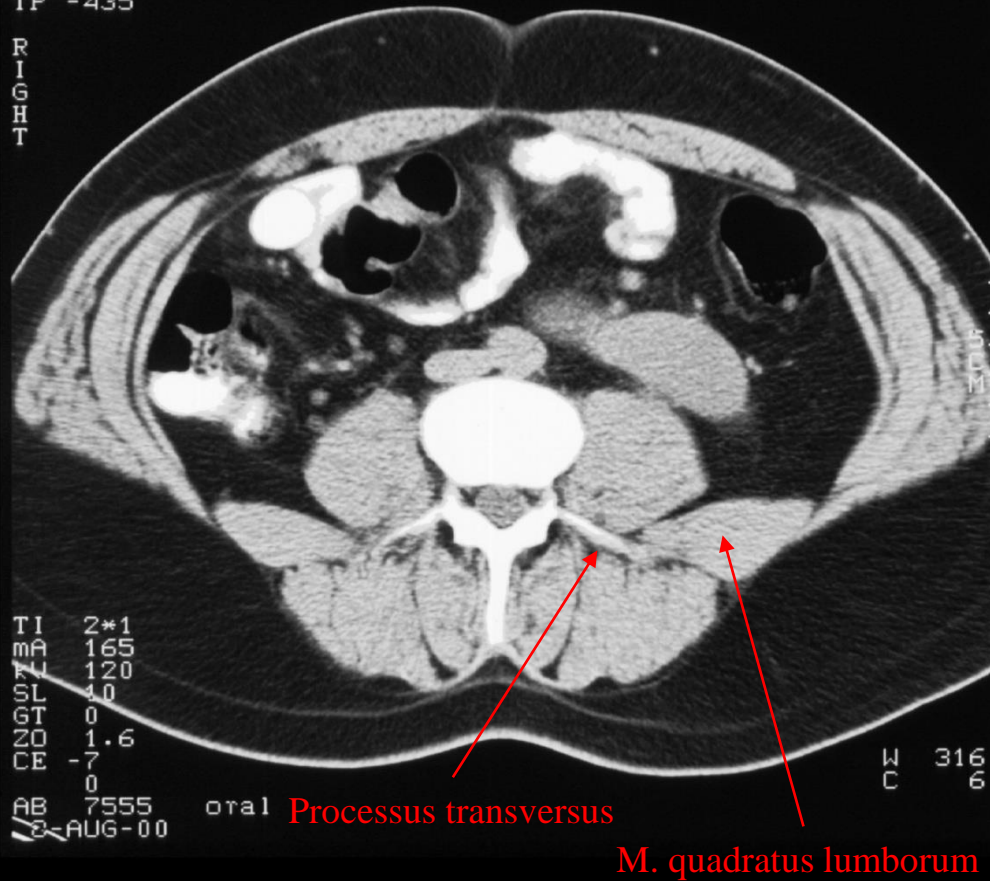


CT

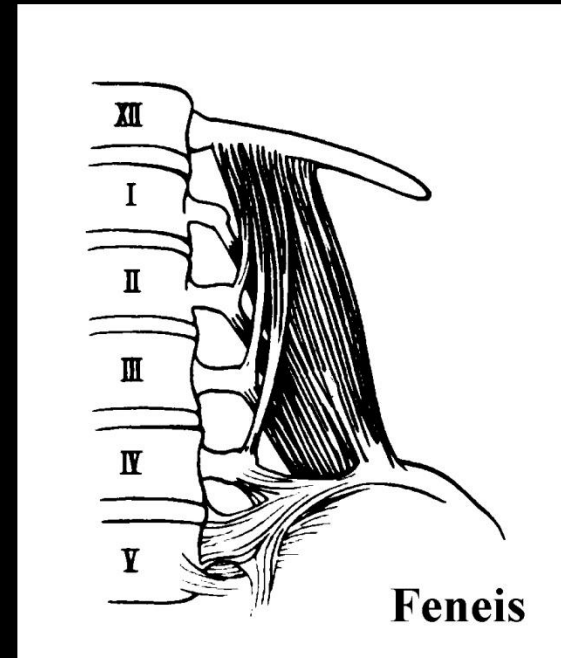
Image 28
15:18:52
Scan 28
TP -435

ANTERIOR

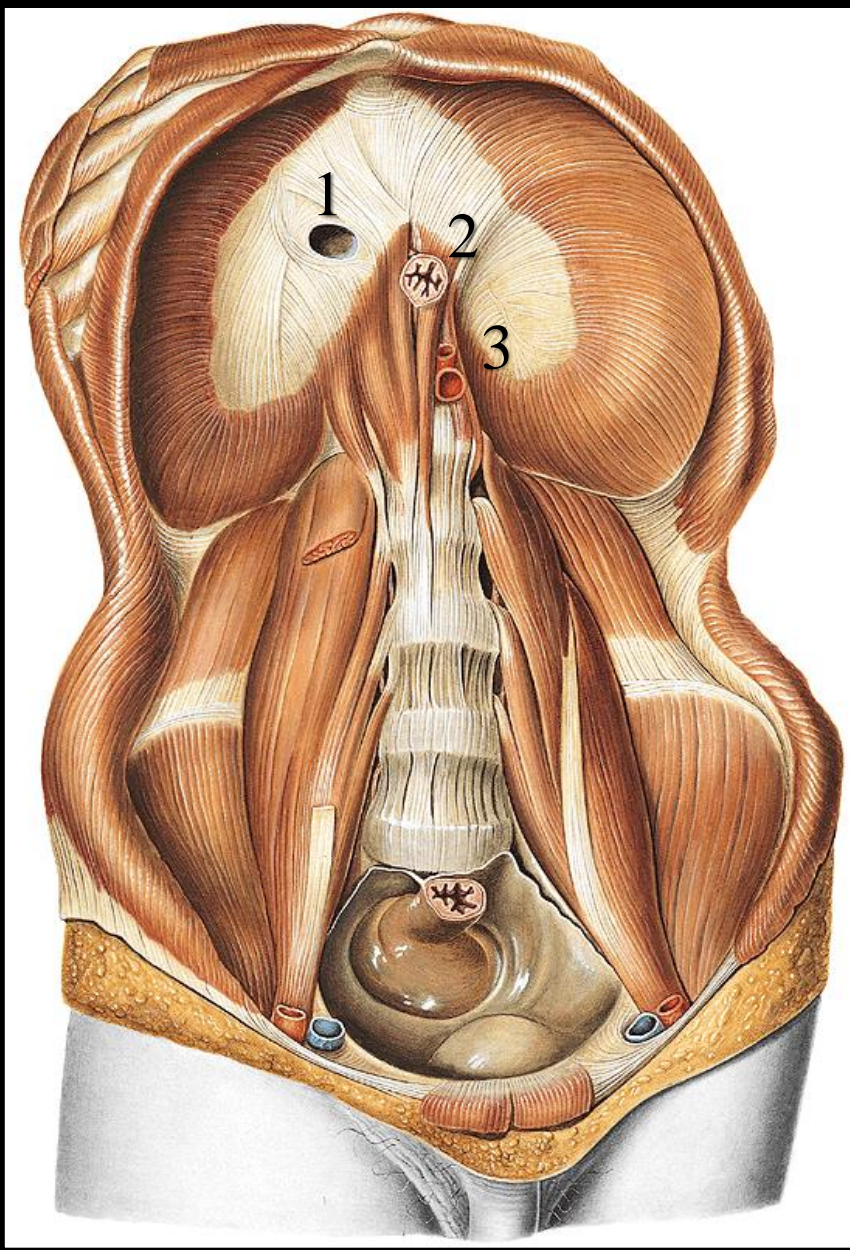
R
I
G
H
T



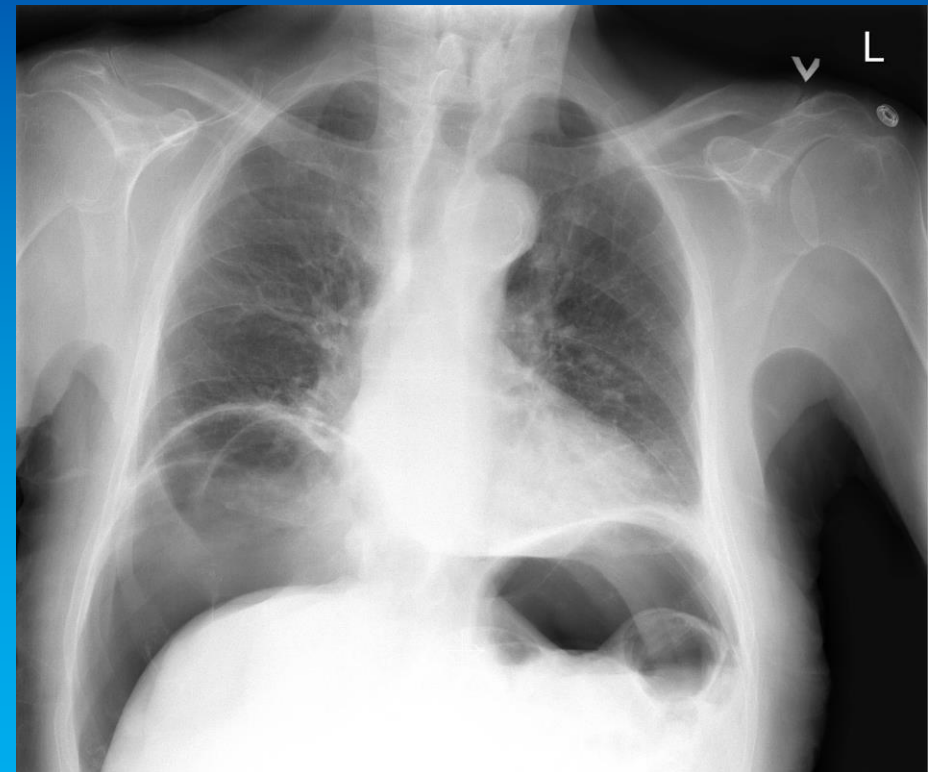
CT



Diaphragma



- 1) Foramen venae cavae
- 2) Hiatus esophageus
- 3) Hiatus aorticus



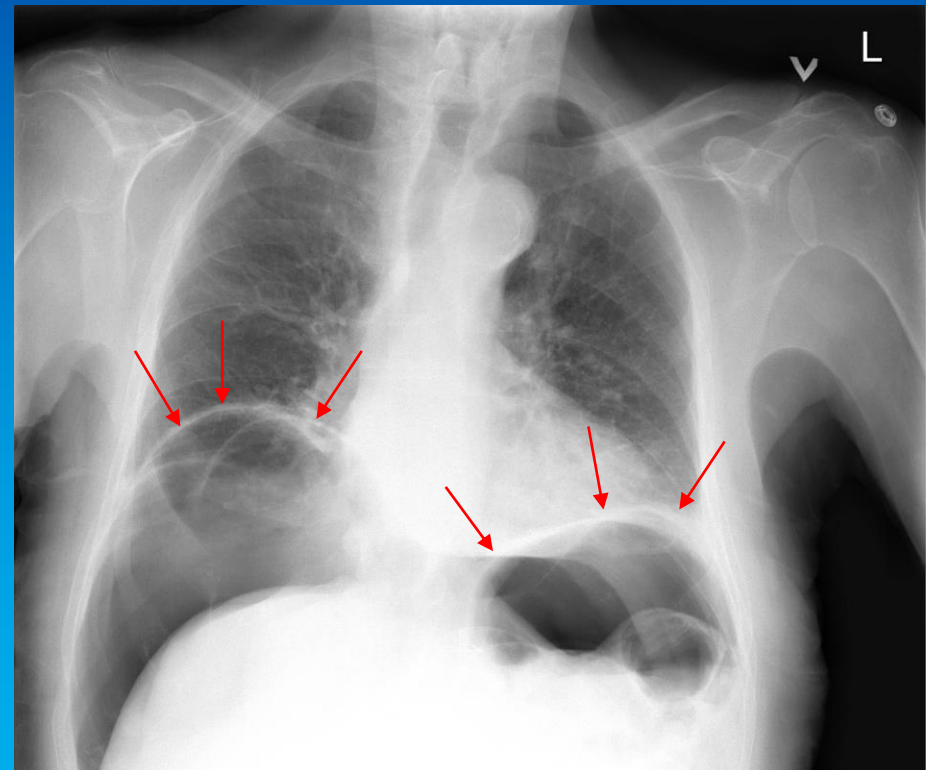
Pneumoperitoneum efter ERCP

Diaphragma

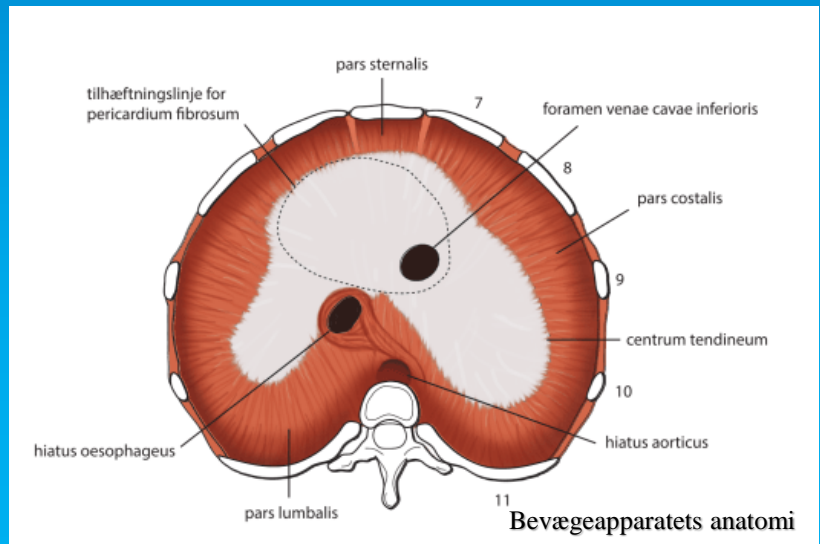
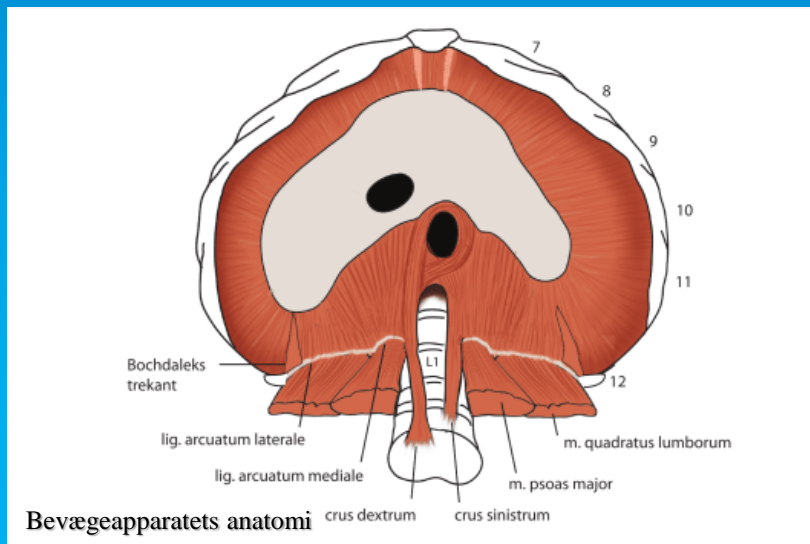
Under normale omstændigheder, ses ikke pneumoperitoneum. Der skal således altid være en god forklaring på fundet, eksempelvis de første dage efter en abdominal operation. Ellers må man mistænke perforation af et hulorgan, (ventrikkel, tynd- eller tyktarm). Luften i sig selv vil blive resorberet igen, men der kan også lække tarmindhold med bakterier ud i peritoneum, således der opstår betændelse kaldet peritonit.

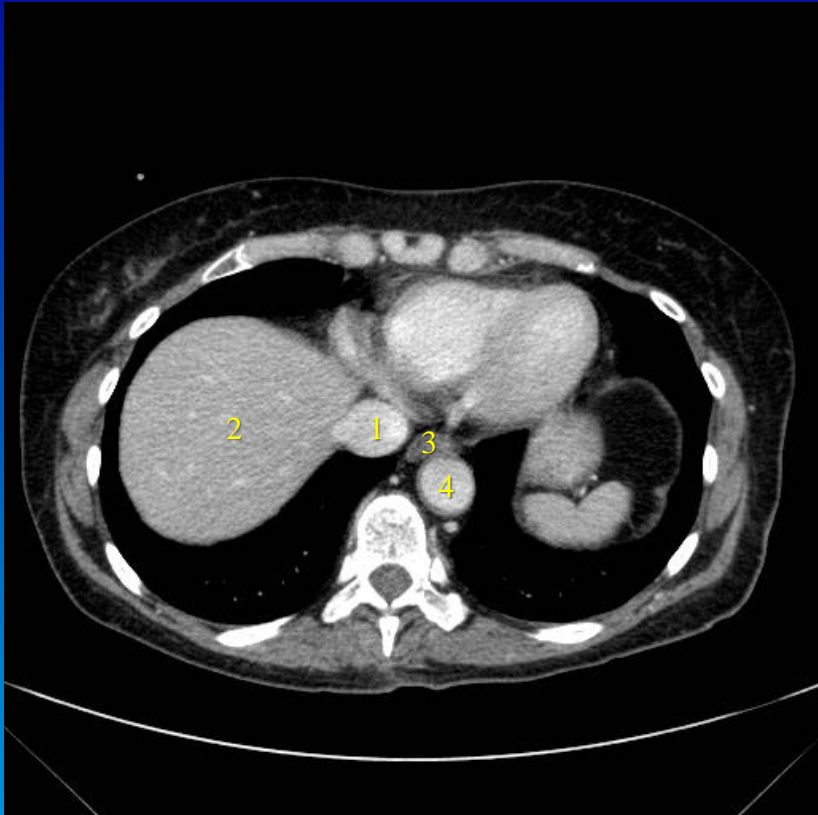
På den foreliggende stående røntgenoptagelse af thorax, ses diaphragma kuplerne tydeligt, da der er de luftholdige lunger kranielt og luften i peritoneum kaudalt herfor.

Pneumoperitoneum, luft i bughinden, opstået efter en kikkertundersøgelse af galdevejene og pancreas (Endoskopisk retrograd cholangio-pancreaticoskopi).

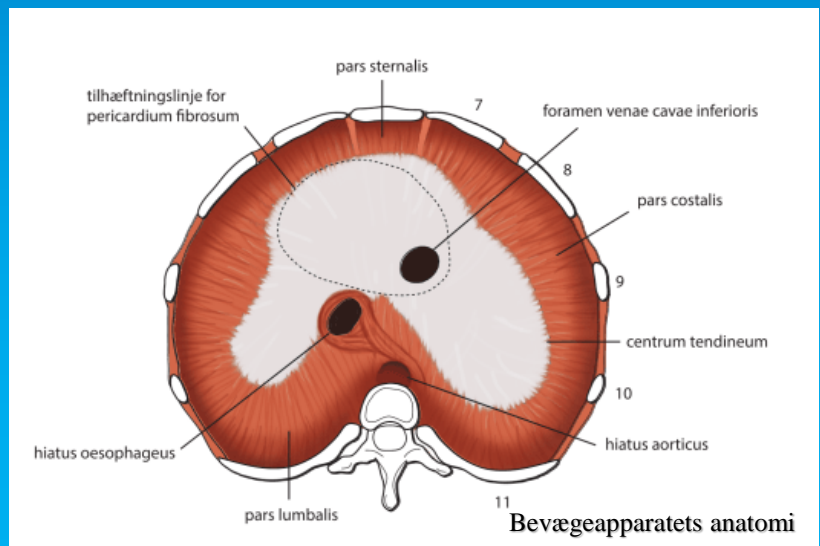
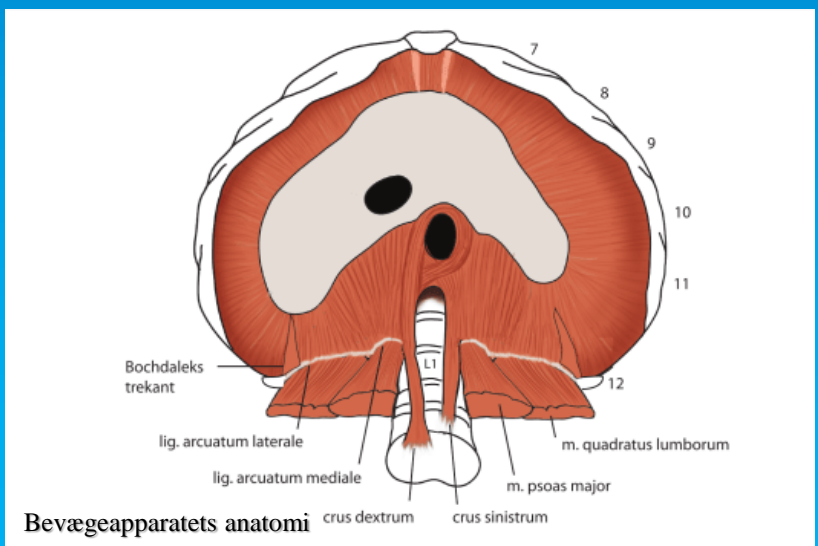


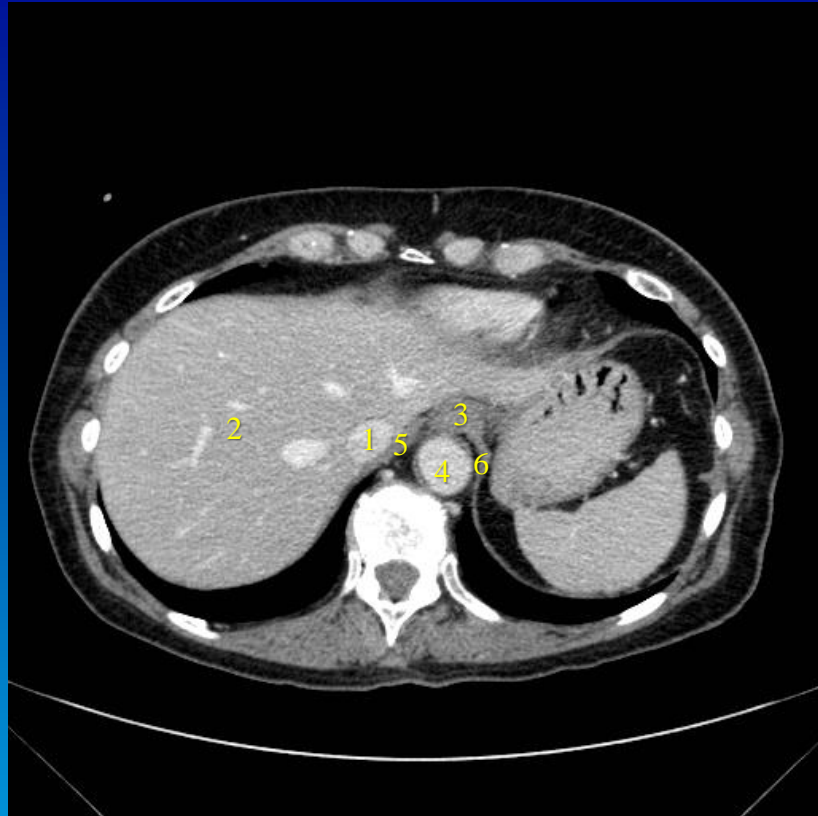
Pneumoperitoneum efter ERCP



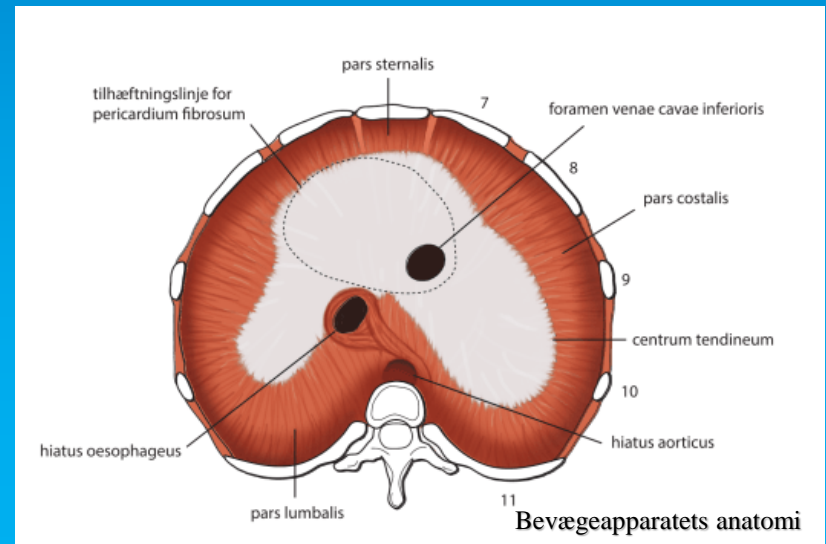
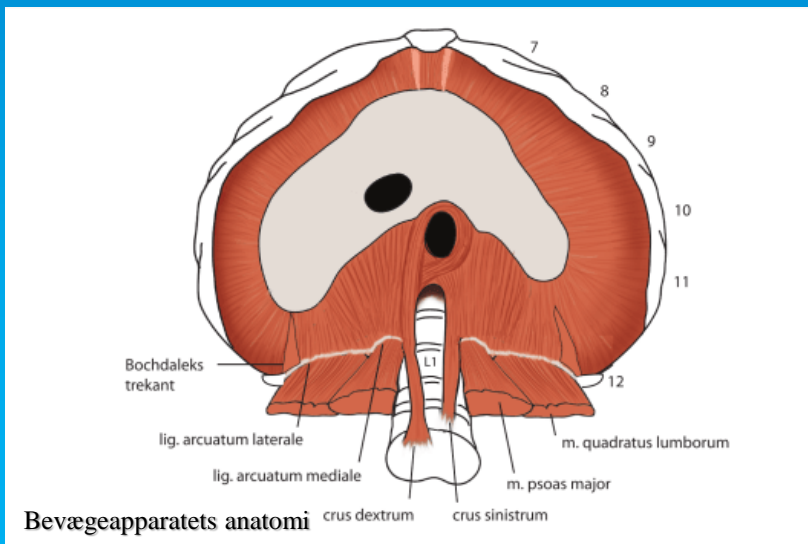


- 1) V. cava inf.
- 2) Hepar
- 3) Esophagus
- 4) Aorta
- 5) Crus dextrum
- 6) Crus sinistrum



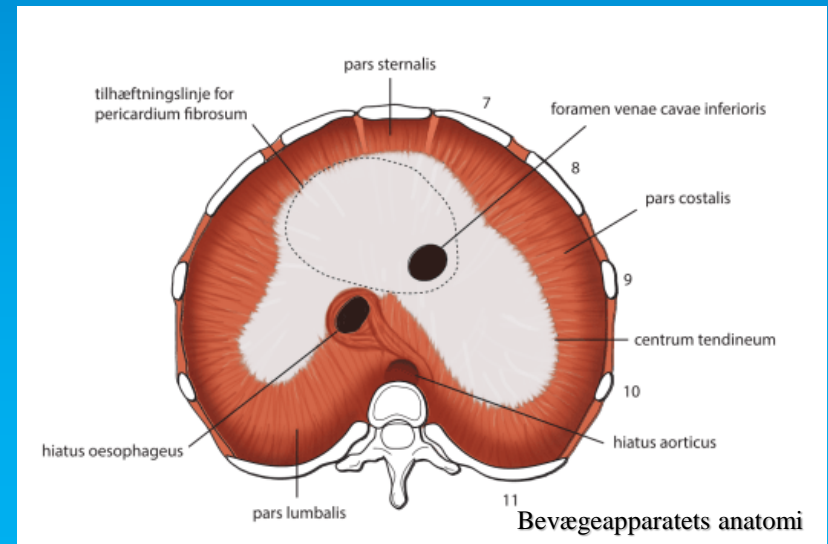
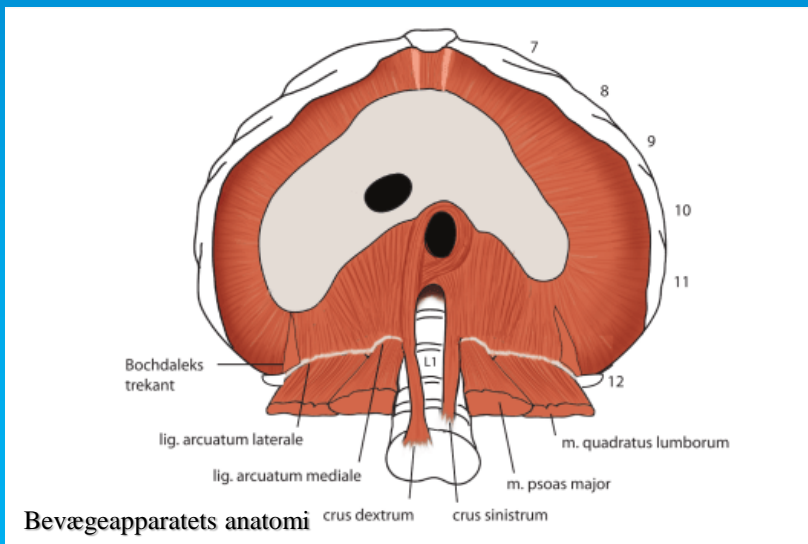


- 1) V. cava inf.
- 2) Hepar
- 3) Esophagus
- 4) Aorta
- 5) Crus dextrum
- 6) Crus sinistrum





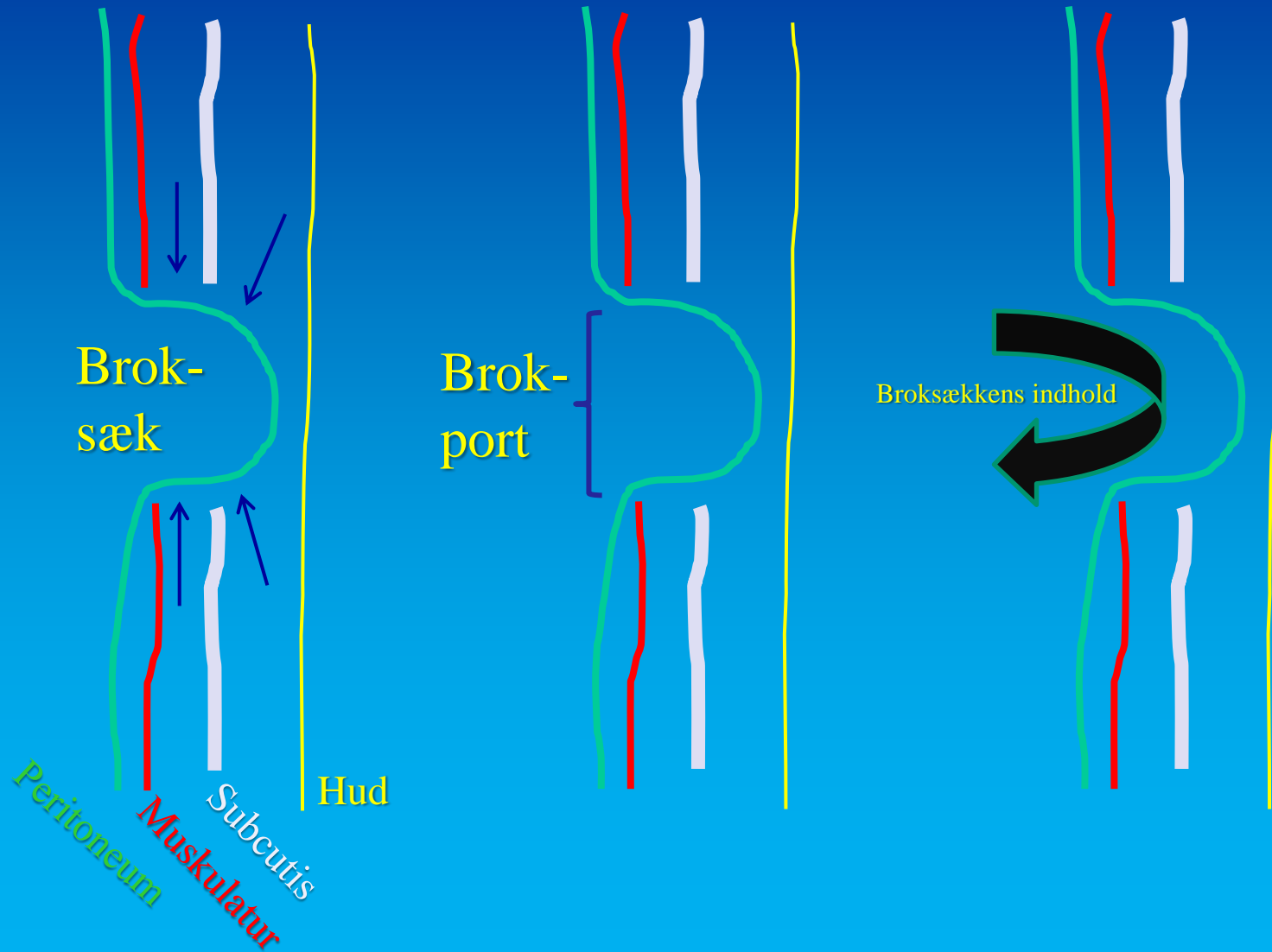
- 1) V. cava inf.
- 2) Hepar
- 3) Esophagus
- 4) Aorta
- 5) Crus dextrum
- 6) Crus sinistrum



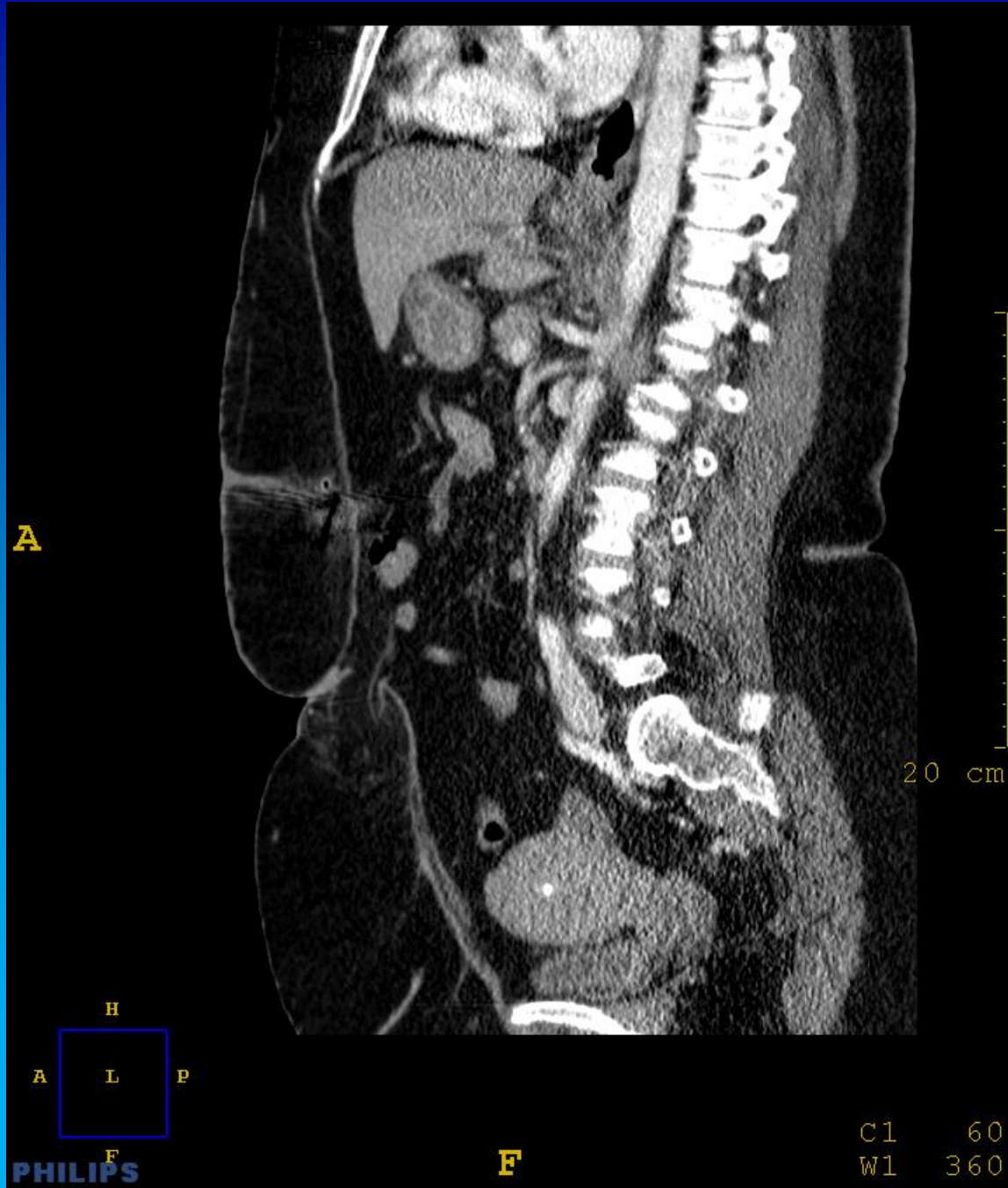
Hernia (Brok)

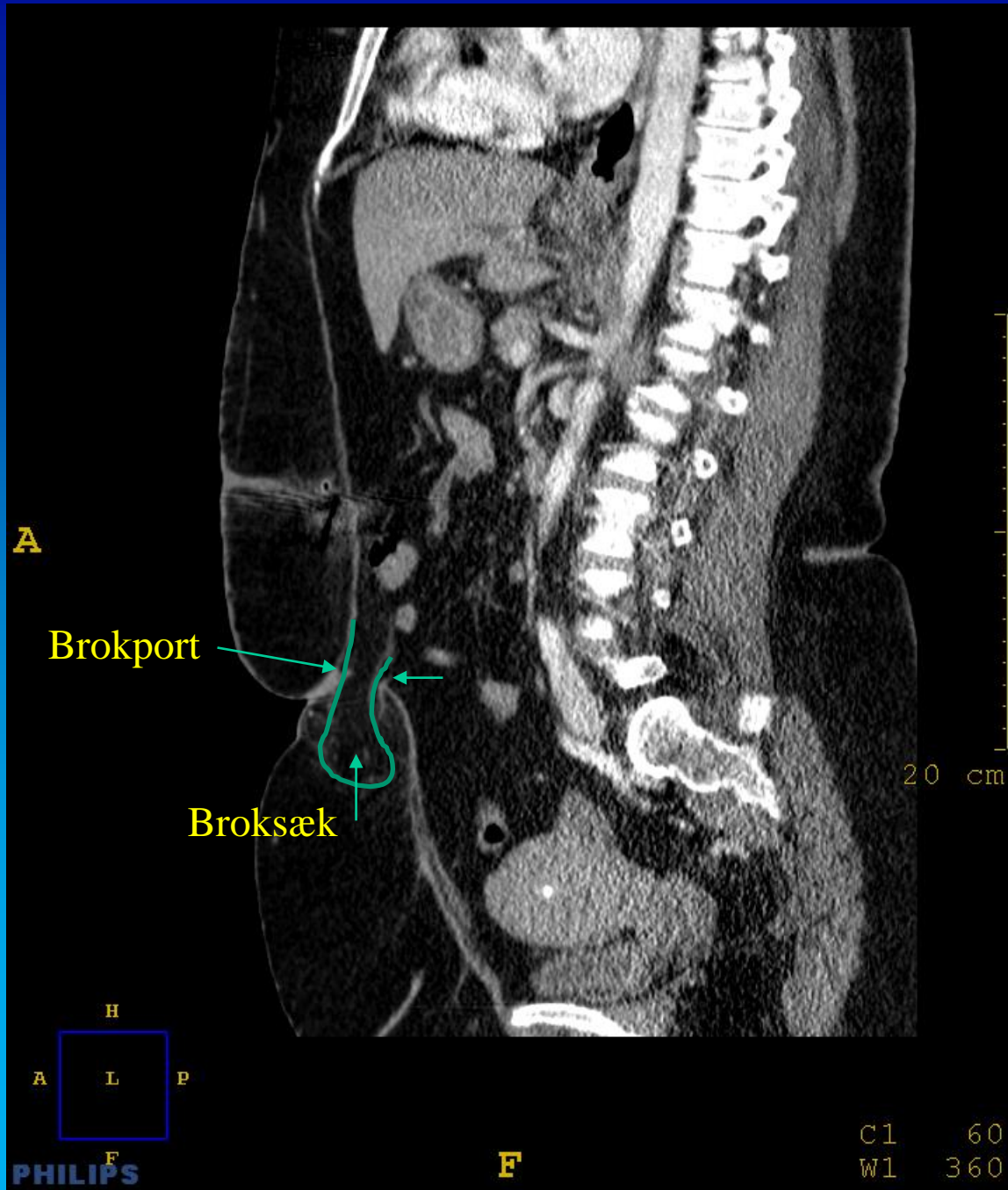
Abnorm fremtrængen af et organ (eller en del deraf) gennem væggen af en legemshule, almindeligvis peritonealhulen

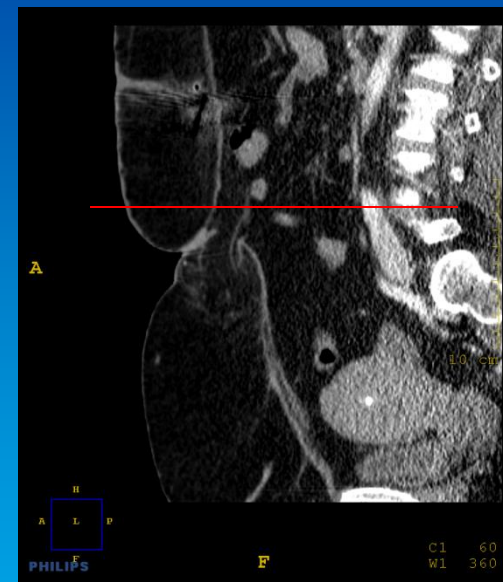
Hernia (Brok)

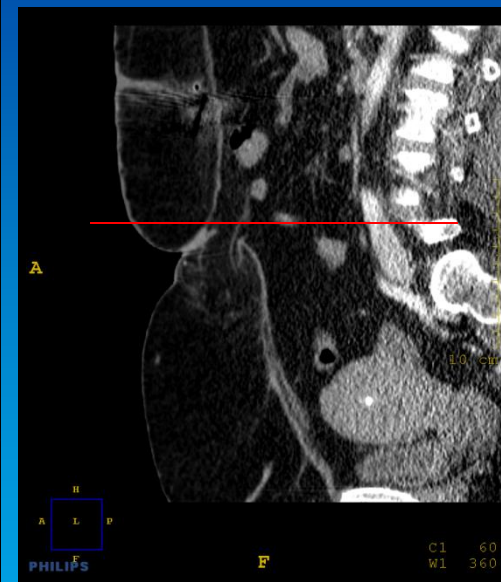
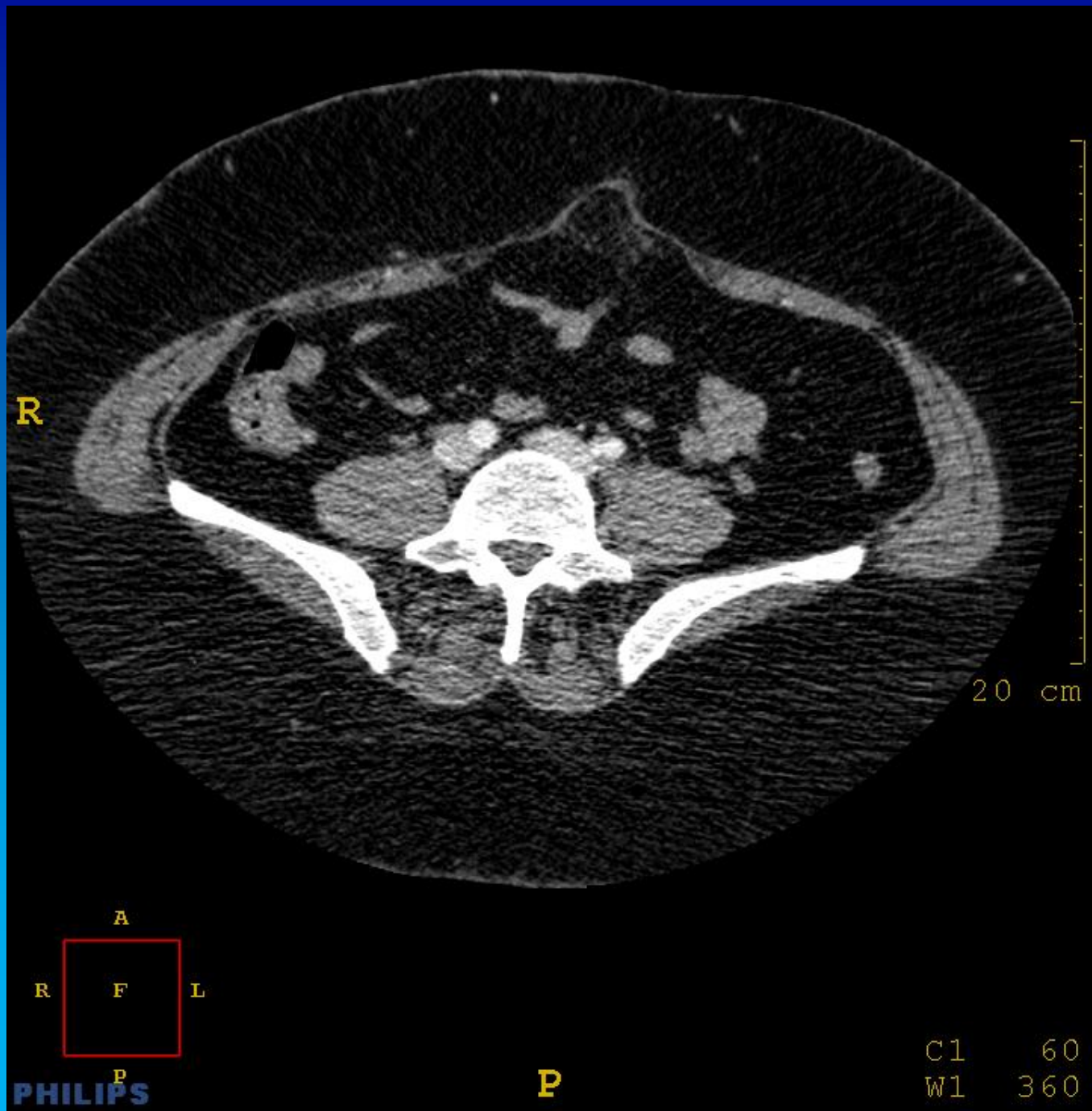


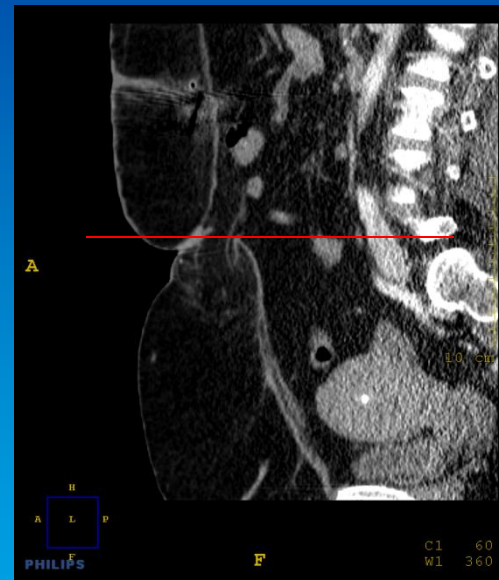
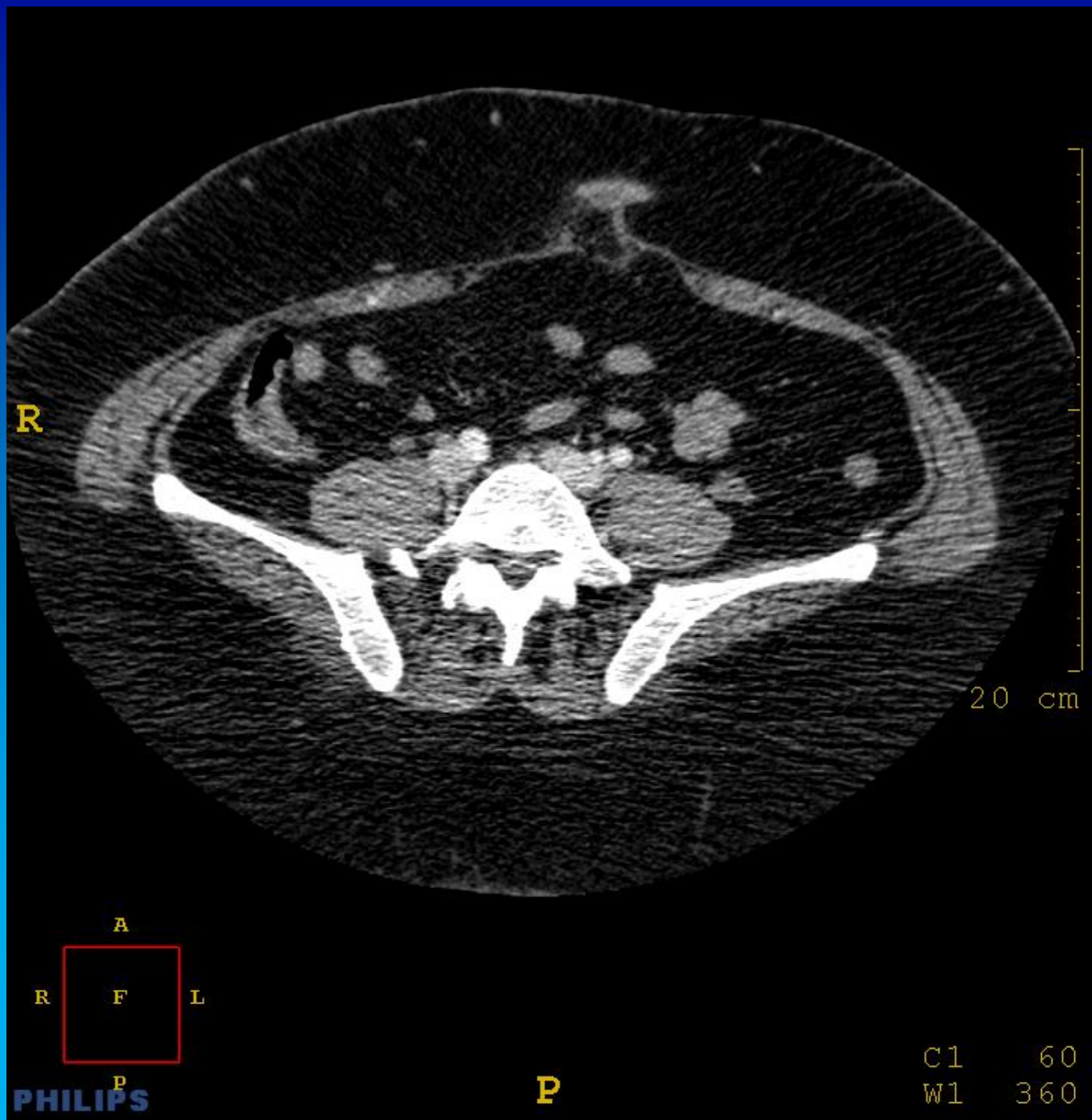
Meget adipøs kvinde med
umbilicalhernie

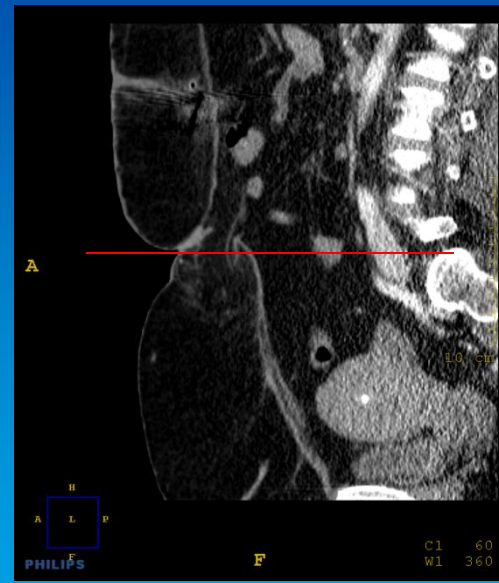
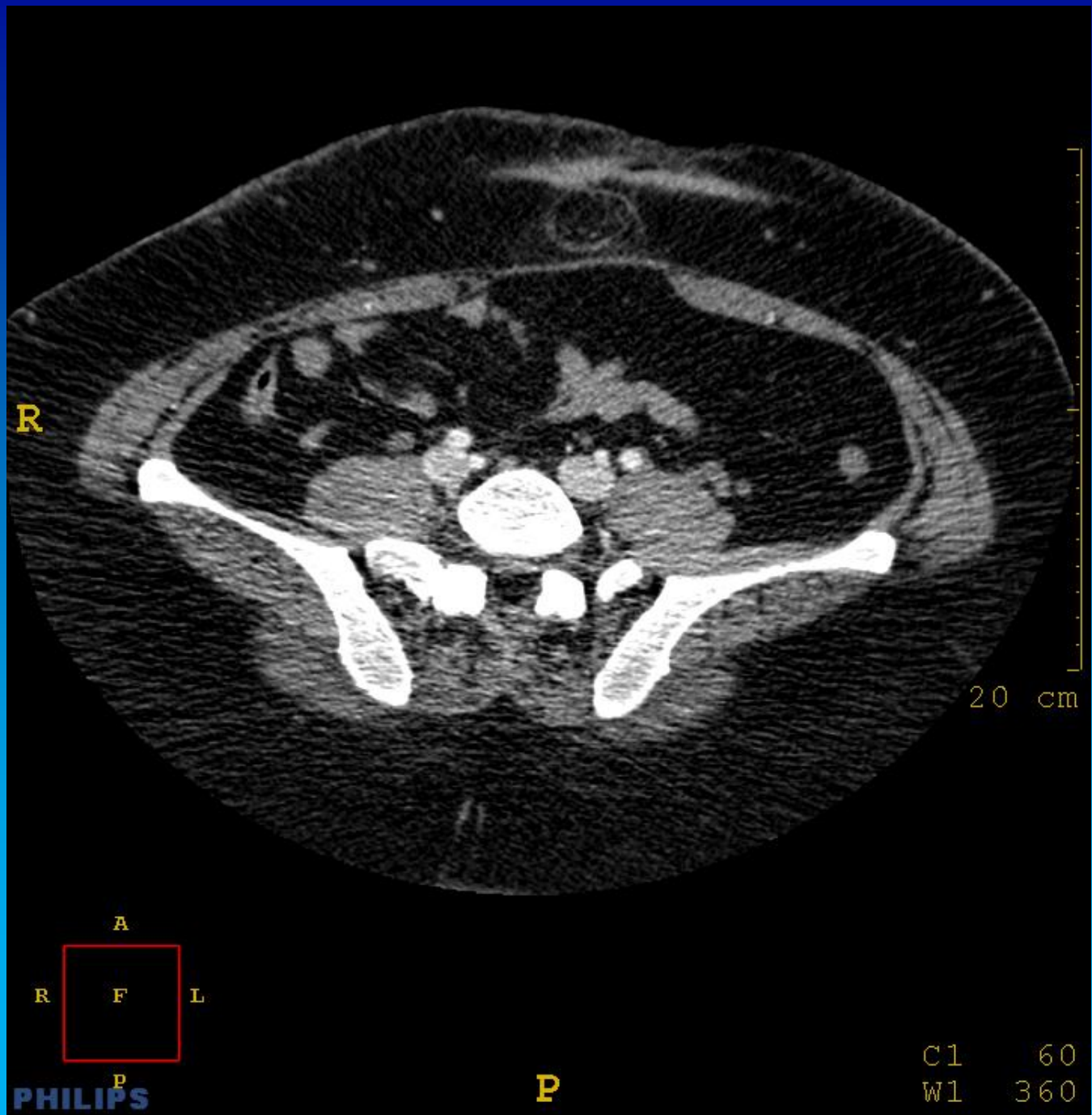


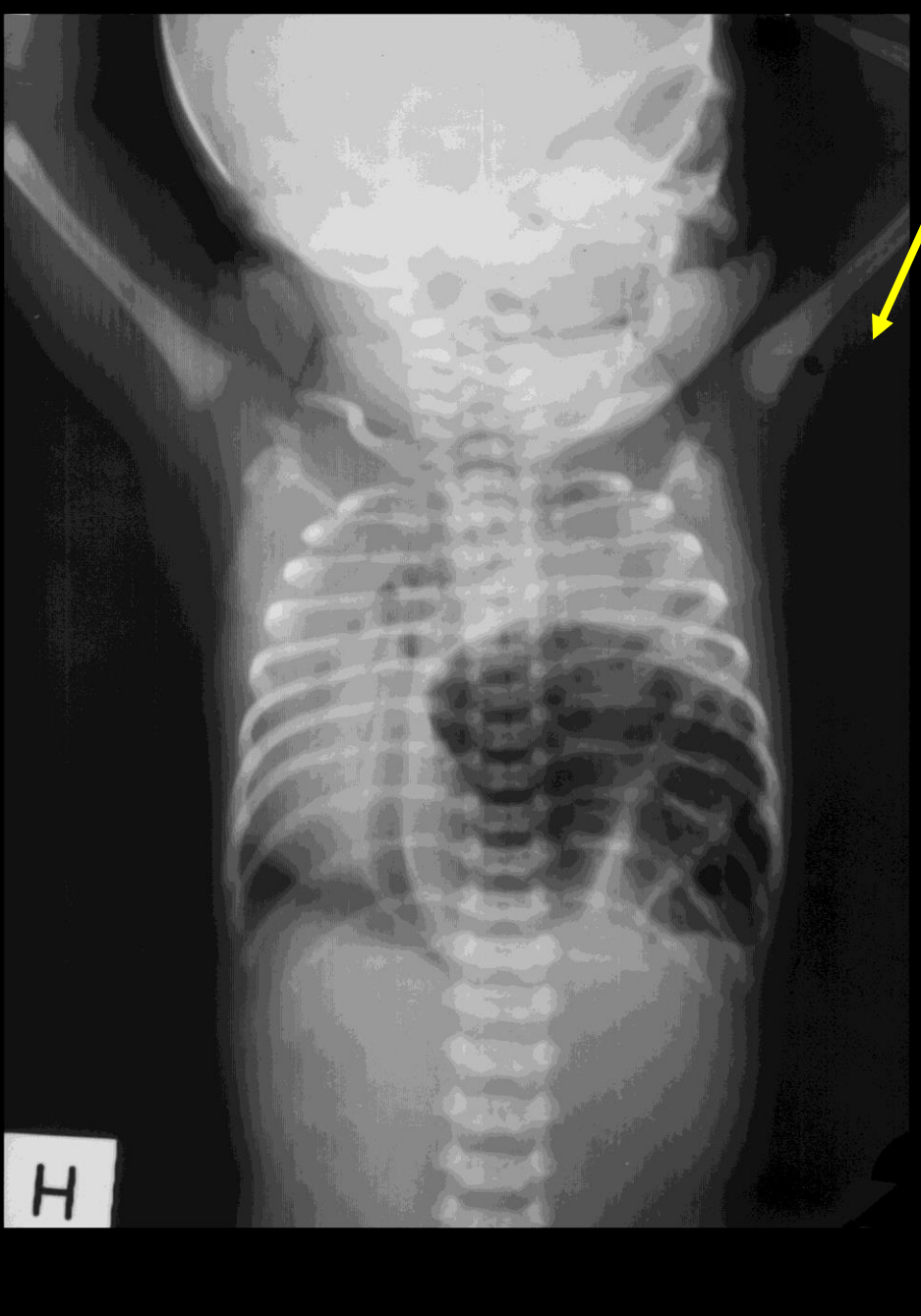




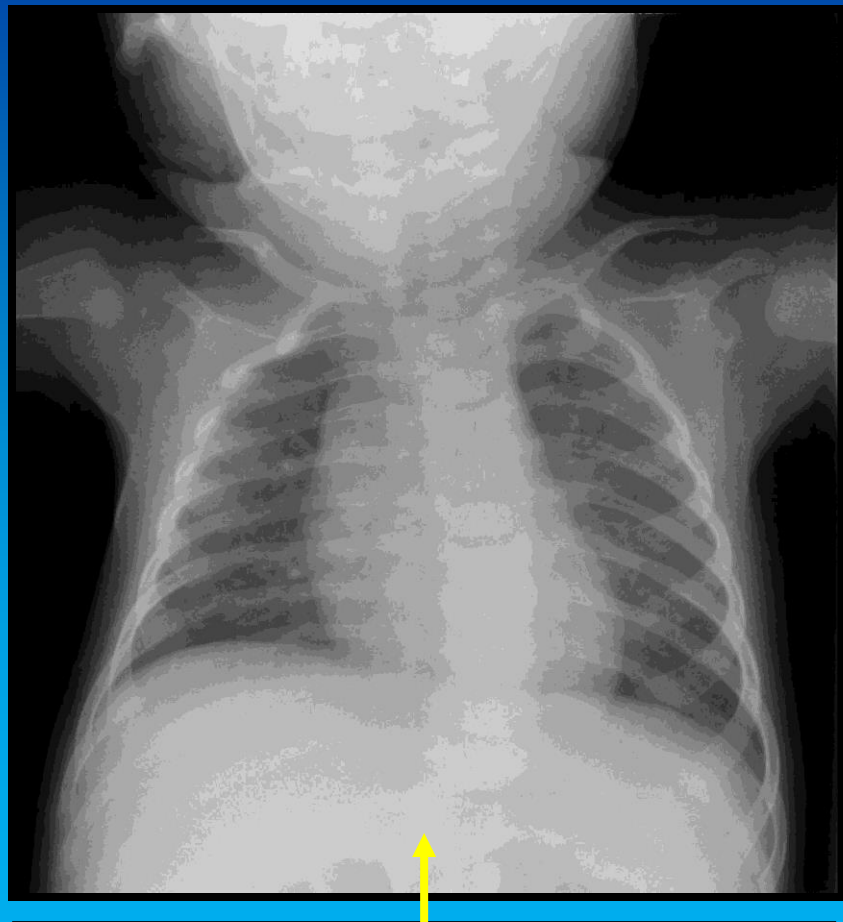




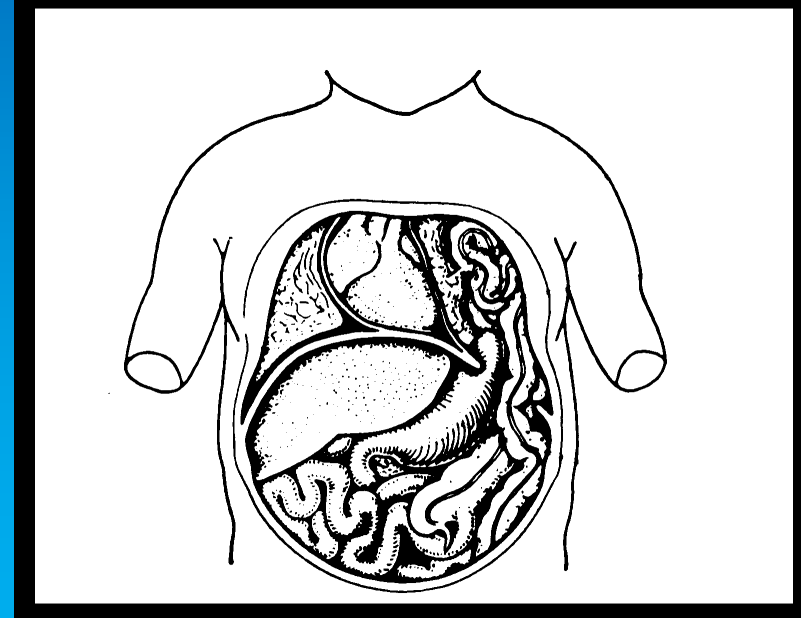
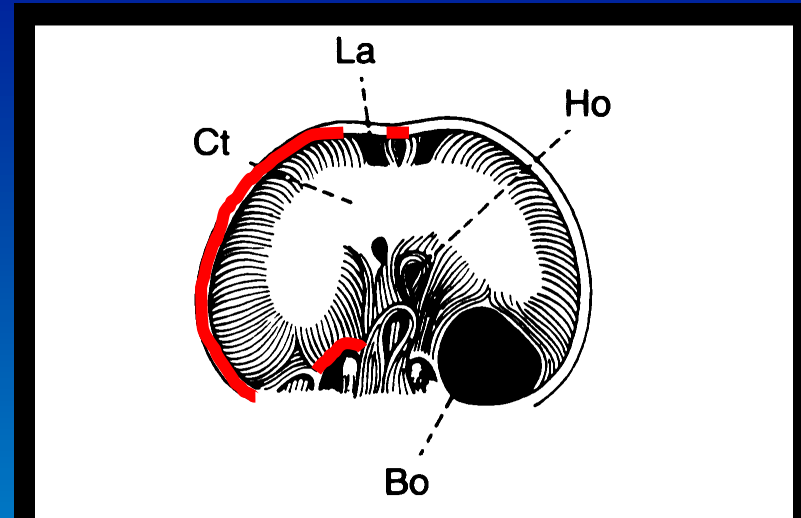




Nyfødt med respiratoriske
problemer. Røntgen af thorax
kort tid efter fødslen.



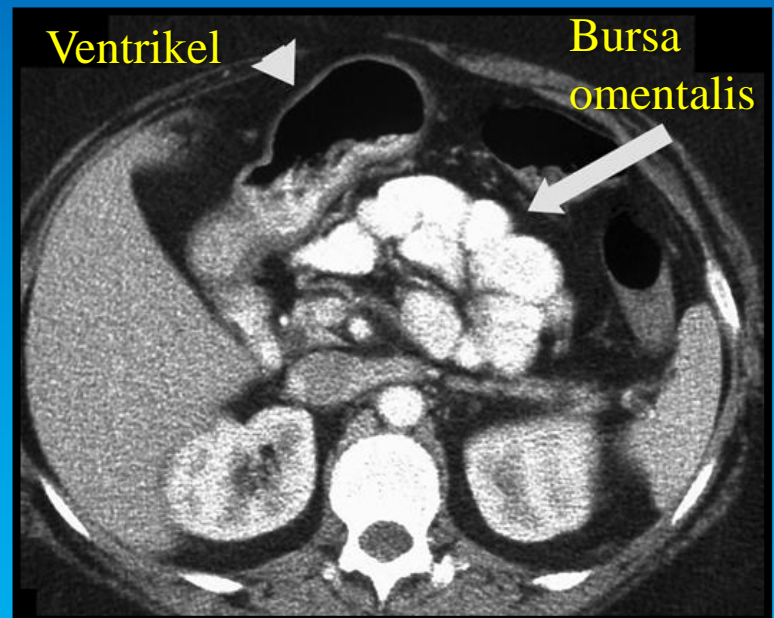
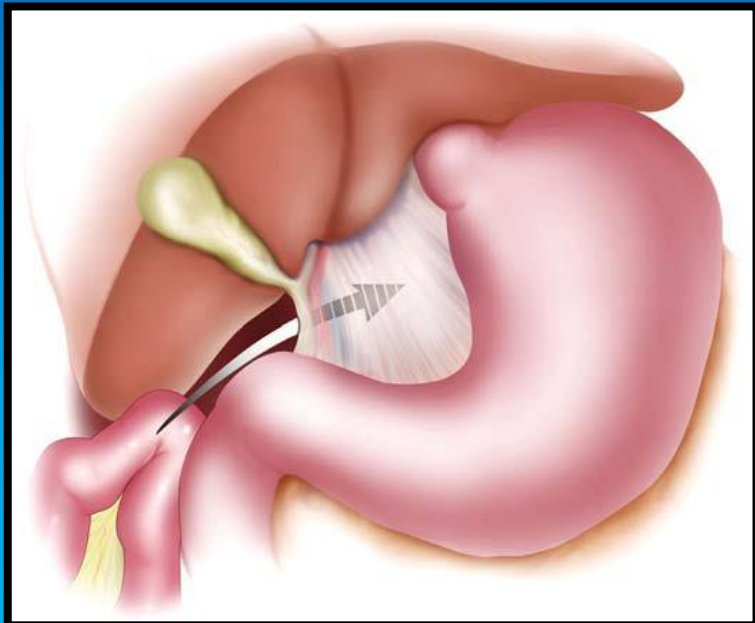
Til sammenligning: Rask, 5 månder
gammel.



Kongenit diafragmahernie

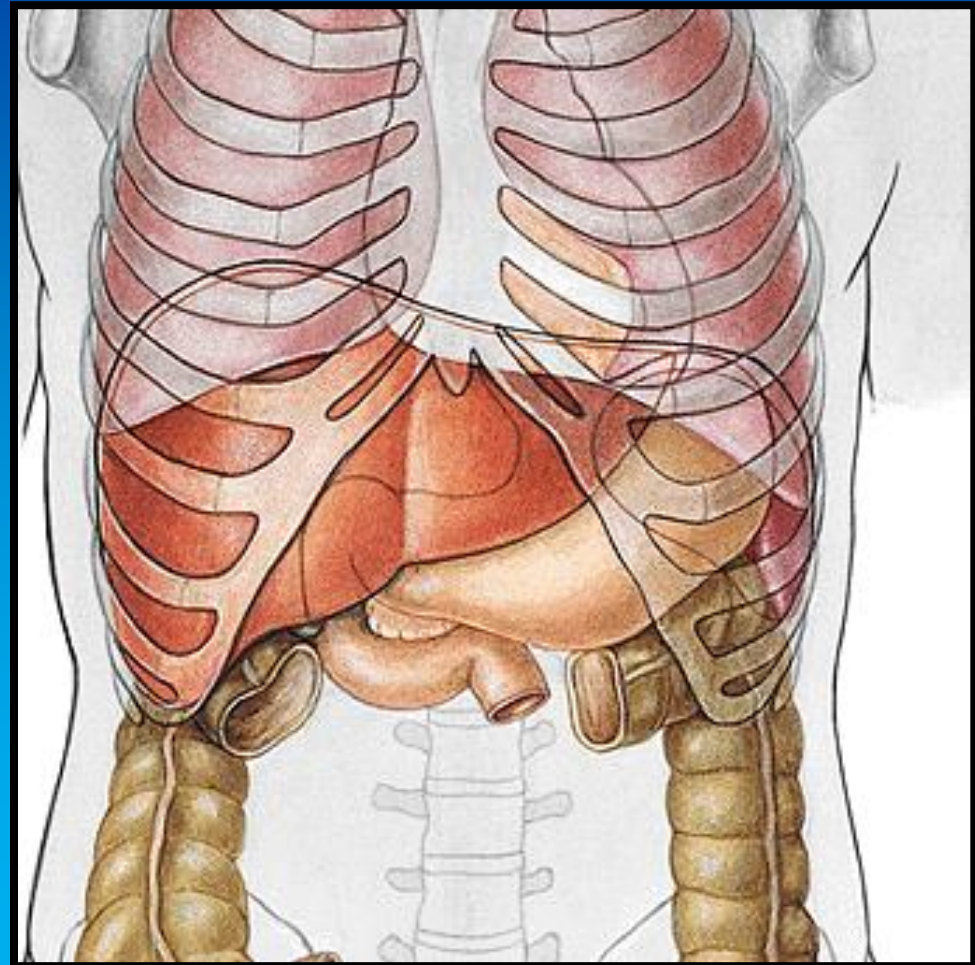
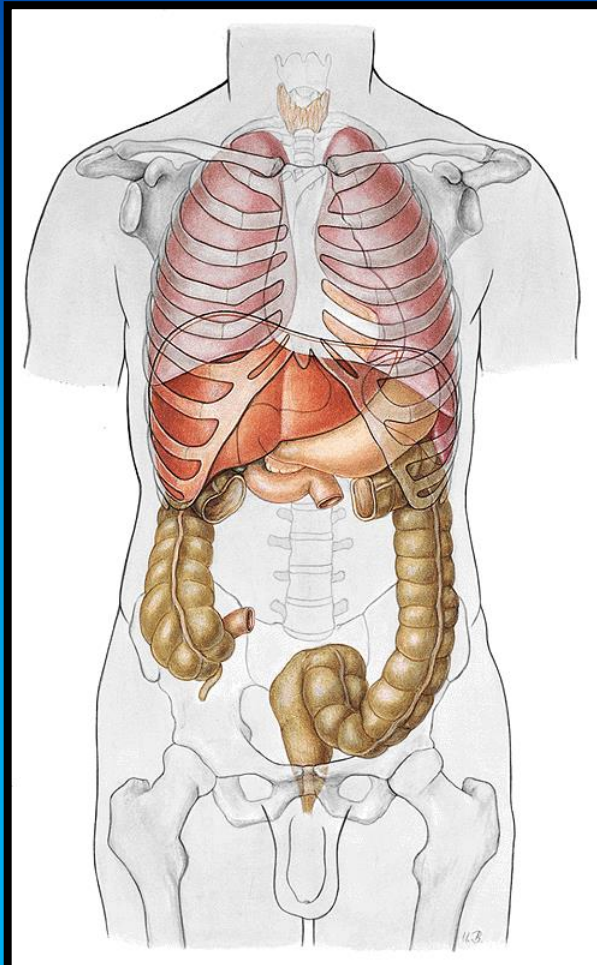
Interne hernier:

Foramen epiploicum



L. C. Martin et al. AJR:186, March 2006

Gaster (s. ventriculus)





Esophagus.

Ventriculus/gaster:

Cardia med incisura
cardiaca.

Fundus gastricus
(ventriculi).

Corpus ventriculi med
plicae gastricae.

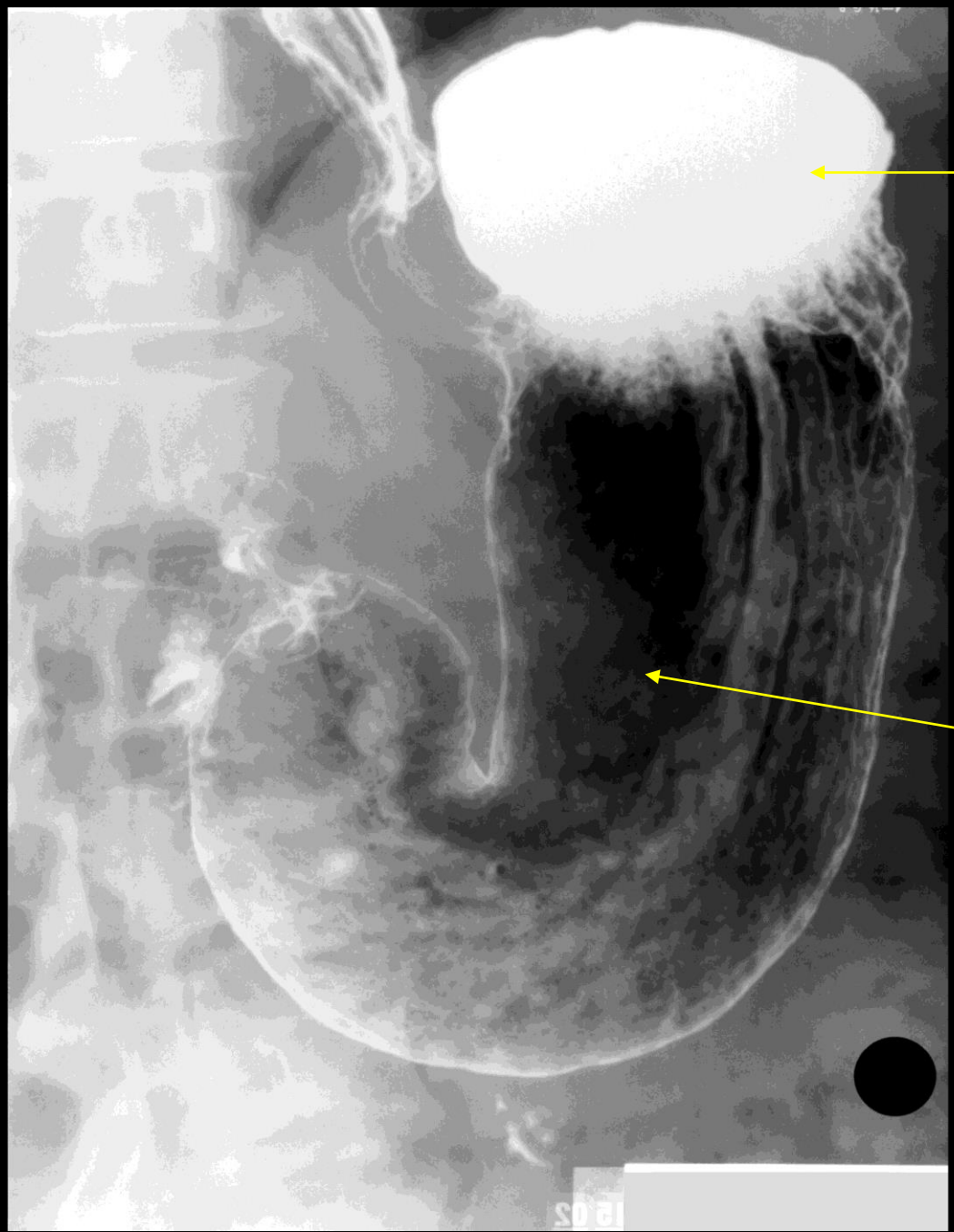
Curvatura ventriculi major
et minor.

Incisura angularis.

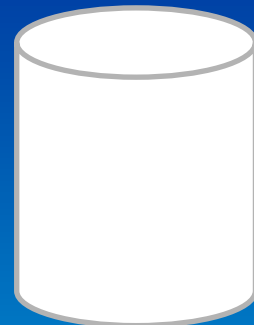
Pars pylorica

Antrum pyloricum

Canalis pyloricus



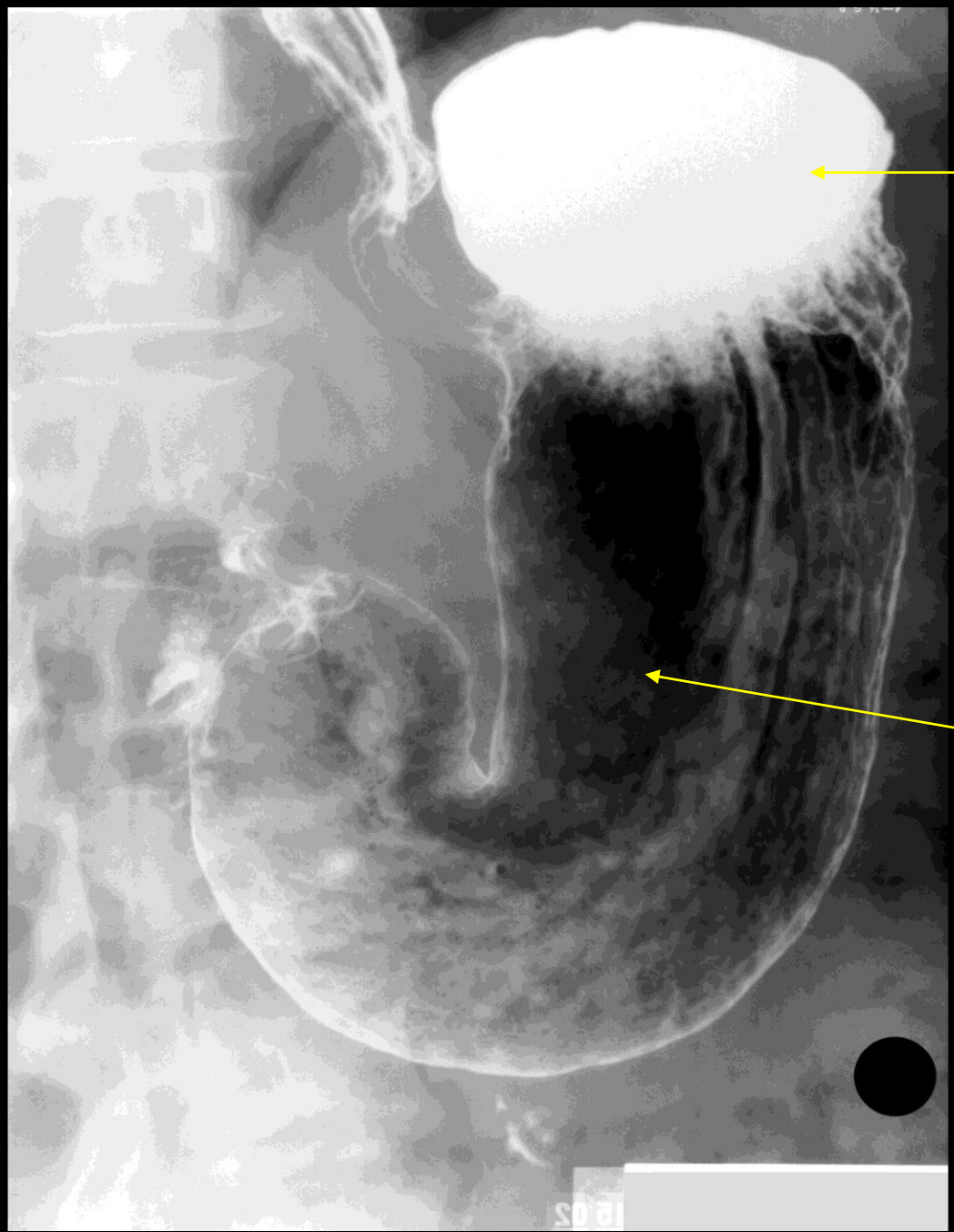
Røntgenkontrast (Bariumsulfat)



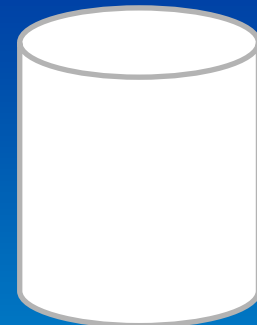
Luft/gas (Kuldioxid
fra brusetabletter)



Hvordan vender patienten?



Røntgenkontrast (Bariumsulfat)



Luft/gas (Kuldioxid
fra brusetabletter)

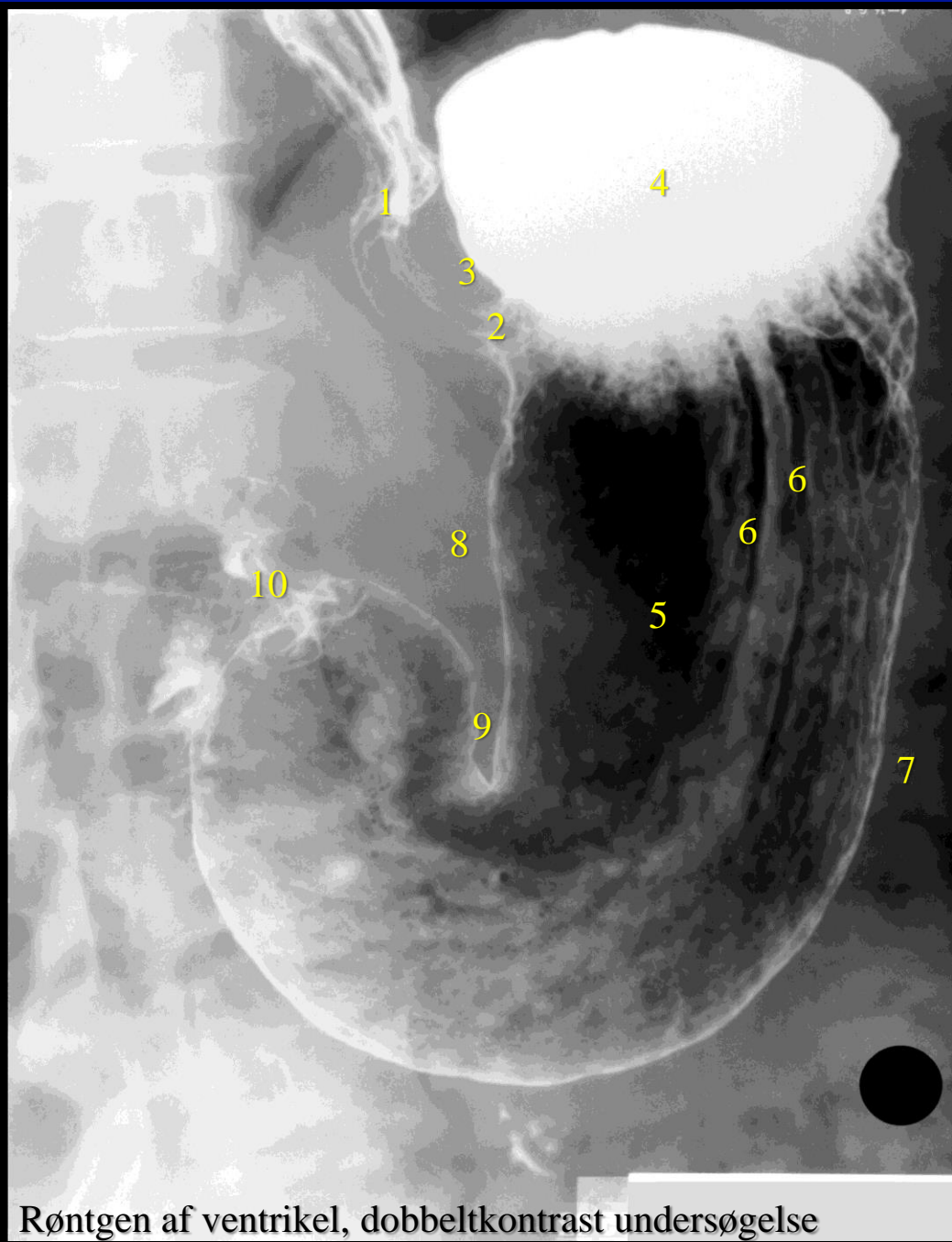


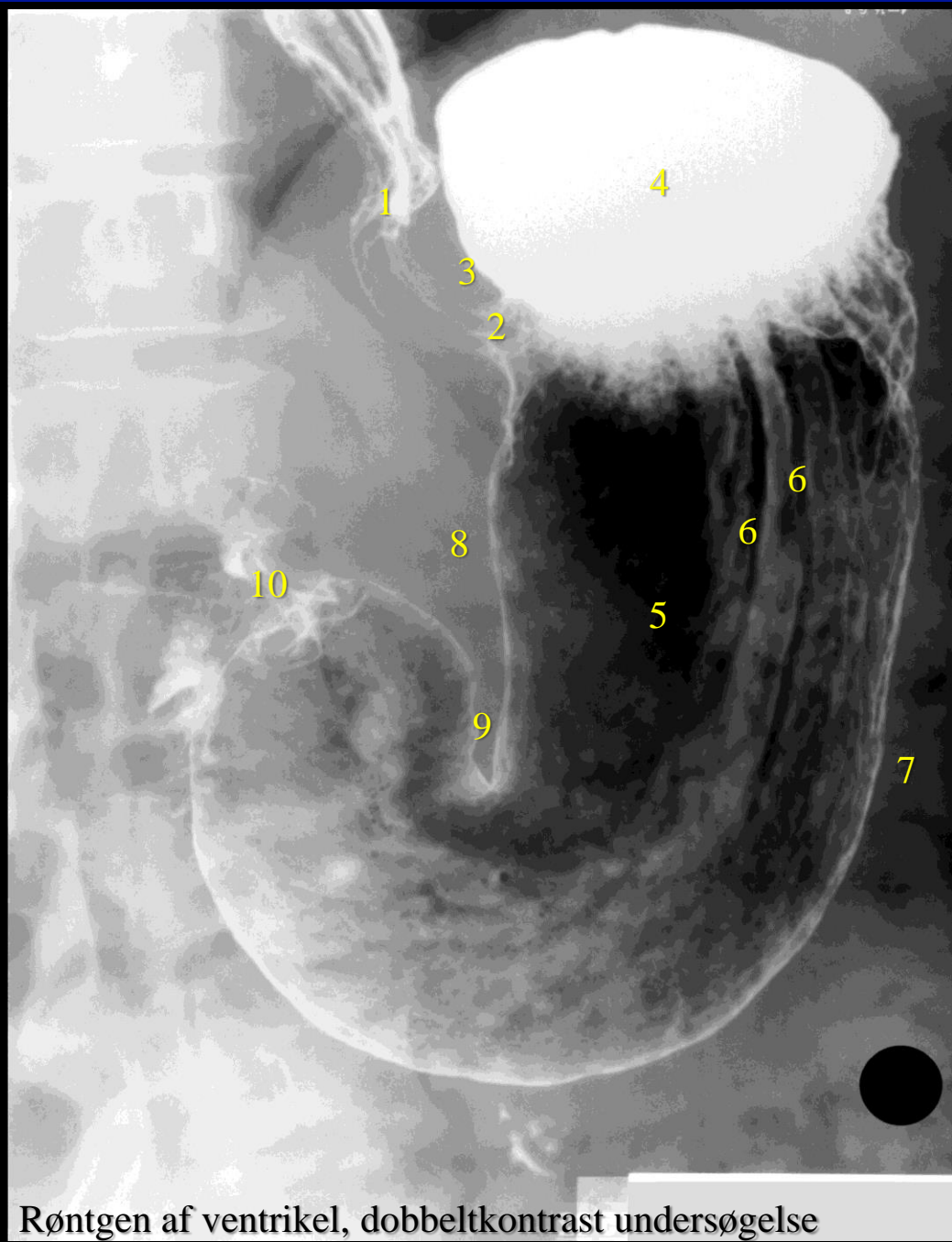
Hvordan vender patienten:
Bariumsulfat er tungere end luft, så
det lejres deklivt, dvs. personen har
hovedet nedad.



Røntgen af ventriklen, dobbeltontrast undersøgelse

Dobbelt kontrastundersøgelse af ventriklen, med såvel bariumsulfat kontrast (hvidt) og luft (i dette tilfælde fra brusetabletter).
Med denne teknik fås et godt indblik til slimhindens mhp. diagnostik af ventrikkel ulcus (mavesår) og kræft i ventriklen.
Metoden er blevet erstattet af gastroskopi (kikkertundersøgelse af ventrikler), billedeet er dog medtaget fordi det giver et godt overblik over ventriklenes anatomi.





Esophagus (1).

Ventriculus/gaster:

Cardia (2) med incisura cardiaca/cardialis (3).

Fundus gastricus (4) (ventriculi).

Corpus ventriculi (5) med plicae gastricae (6).

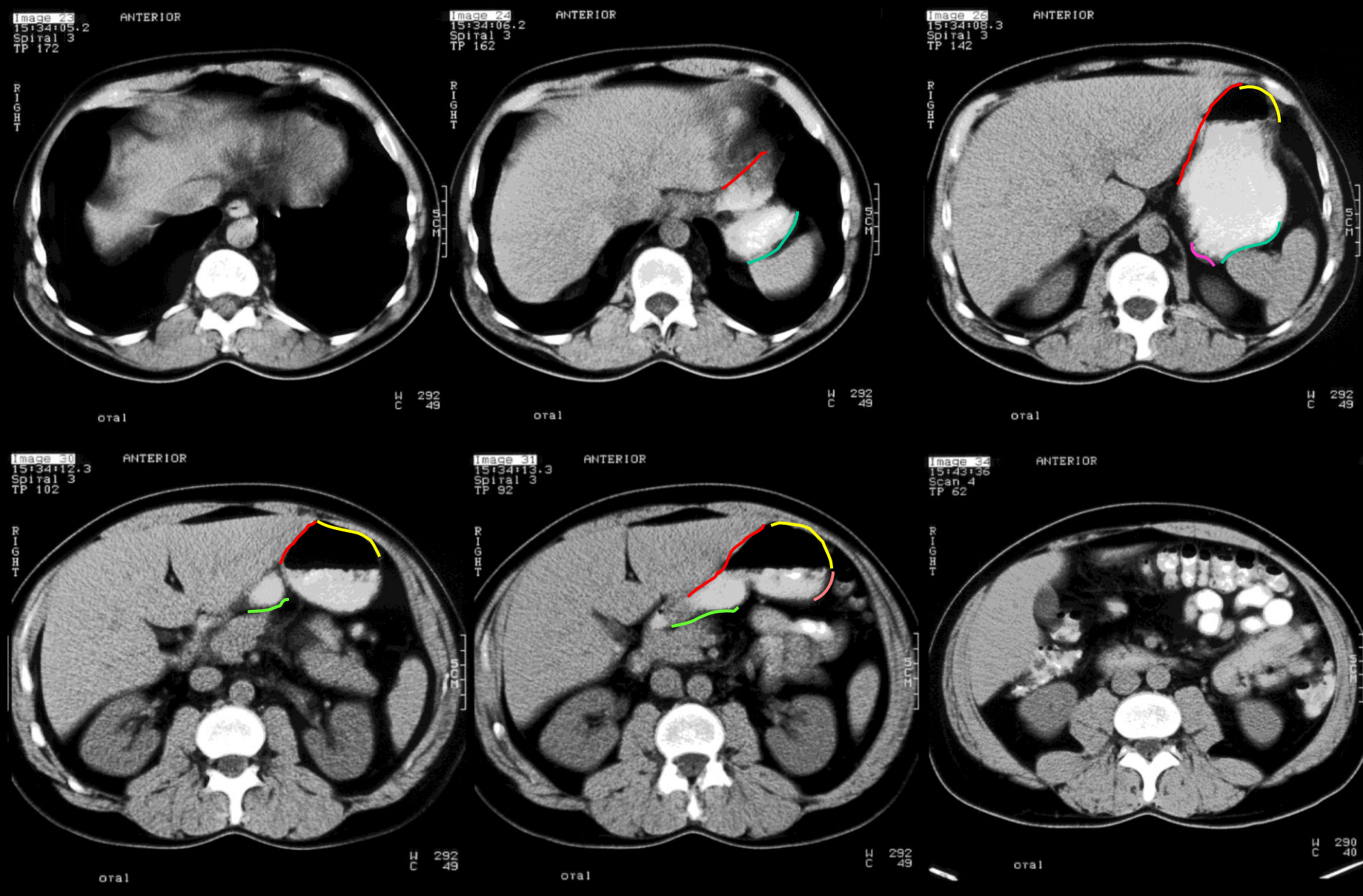
Curvatura ventriculi major (7) et minor (8).

Incisura angularis (9).

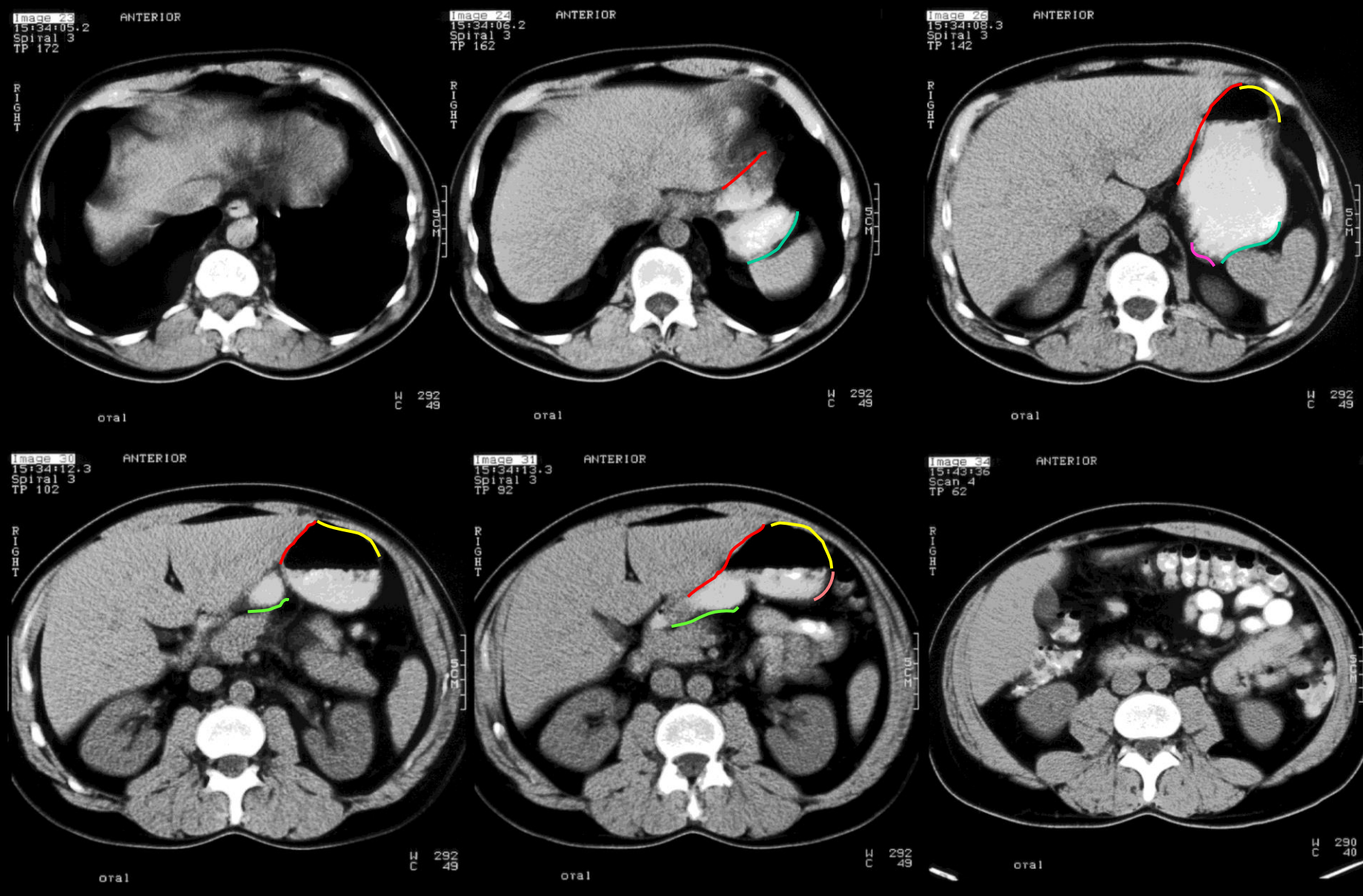
Pars pylorica

Antrum pyloricum

Canalis pyloricus (10)



CT skanning af øvre abdomen med peroral kontrast



På næste billede kan ses de markerede relationer.

Image 23
15:34:05.2
Spiral 3
TP 172

ANTERIOR

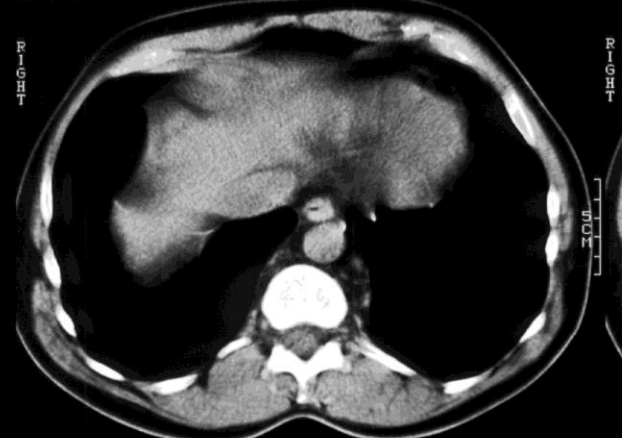


Image 24
15:34:05.2
Spiral 3
TP 162

ANTERIOR

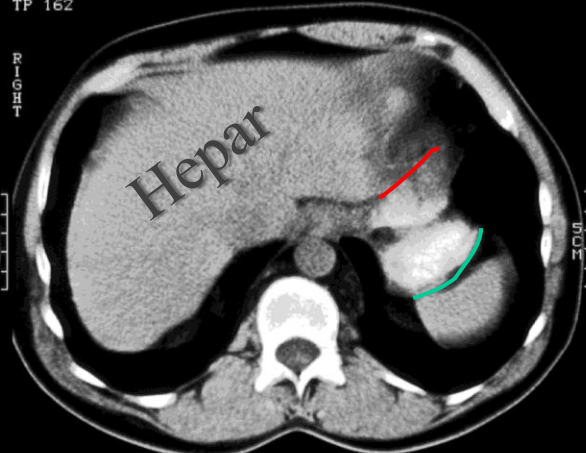


Image 26
15:34:05.3
Spiral 3
TP 142

ANTERIOR

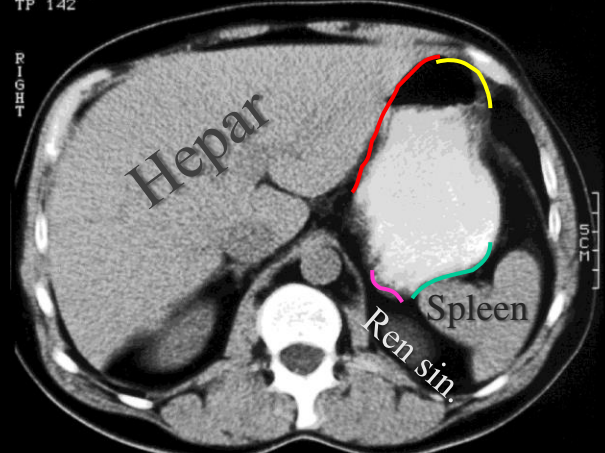


Image 30
15:34:12.3
Spiral 3
TP 102

ANTERIOR

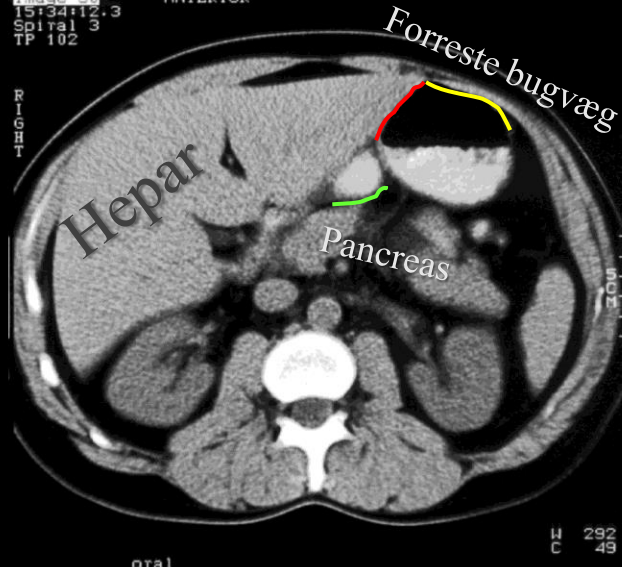


Image 31
15:34:13.3
Spiral 3
TP 92

ANTERIOR

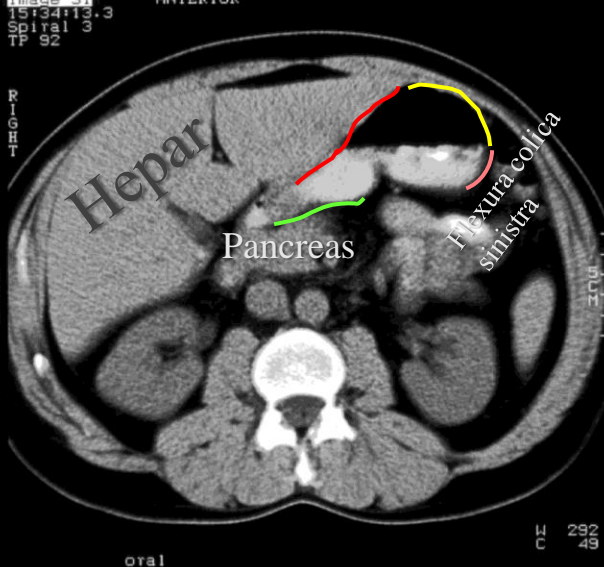
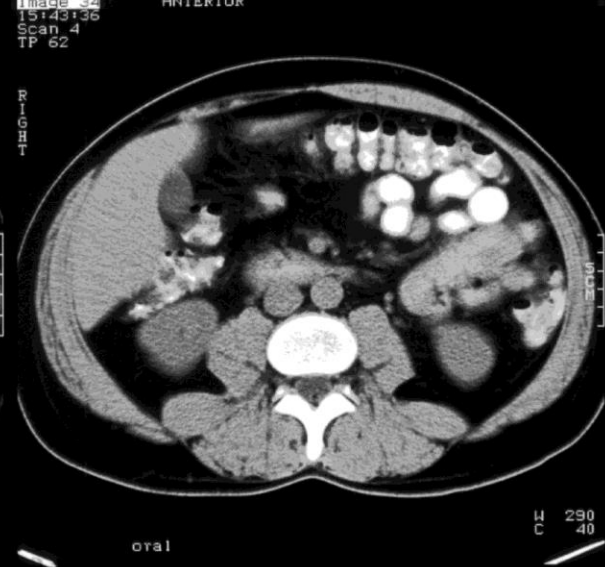


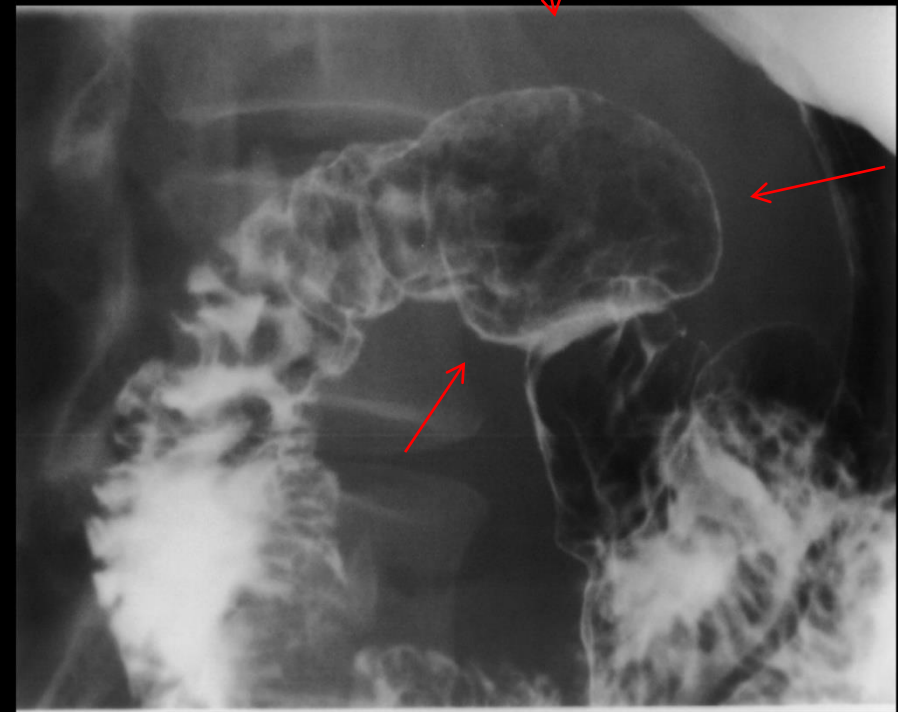
Image 34
15:43:36
Scan 4
TP 62

ANTERIOR



Intestinum tenue

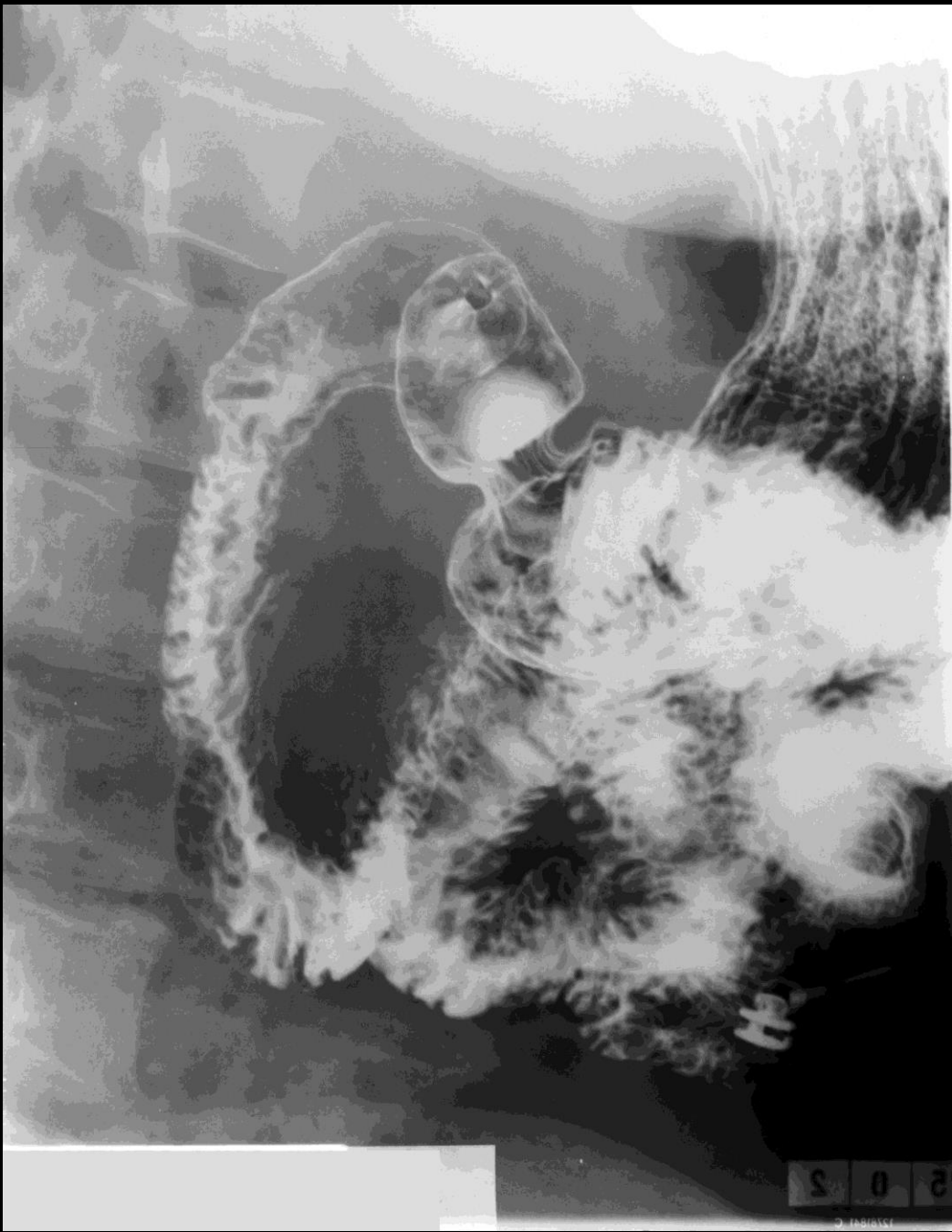
Pars superior med bulbus (ampulla) duodeni
mangler plicae circulares



Röntgen dobbelkontrast undersögelse

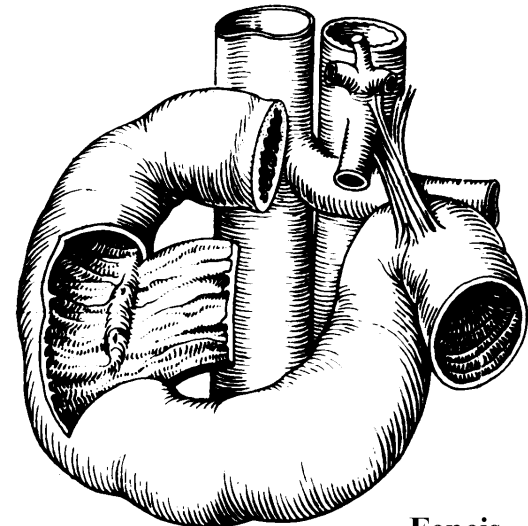


Peristaltisk kontraktion i pylorus regionen

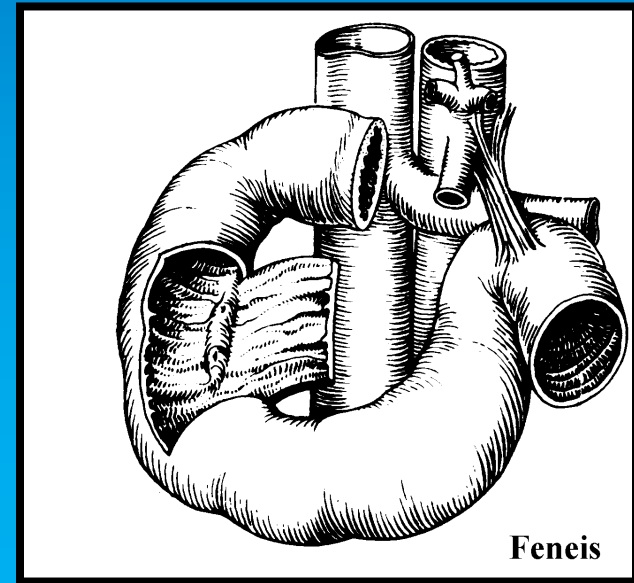
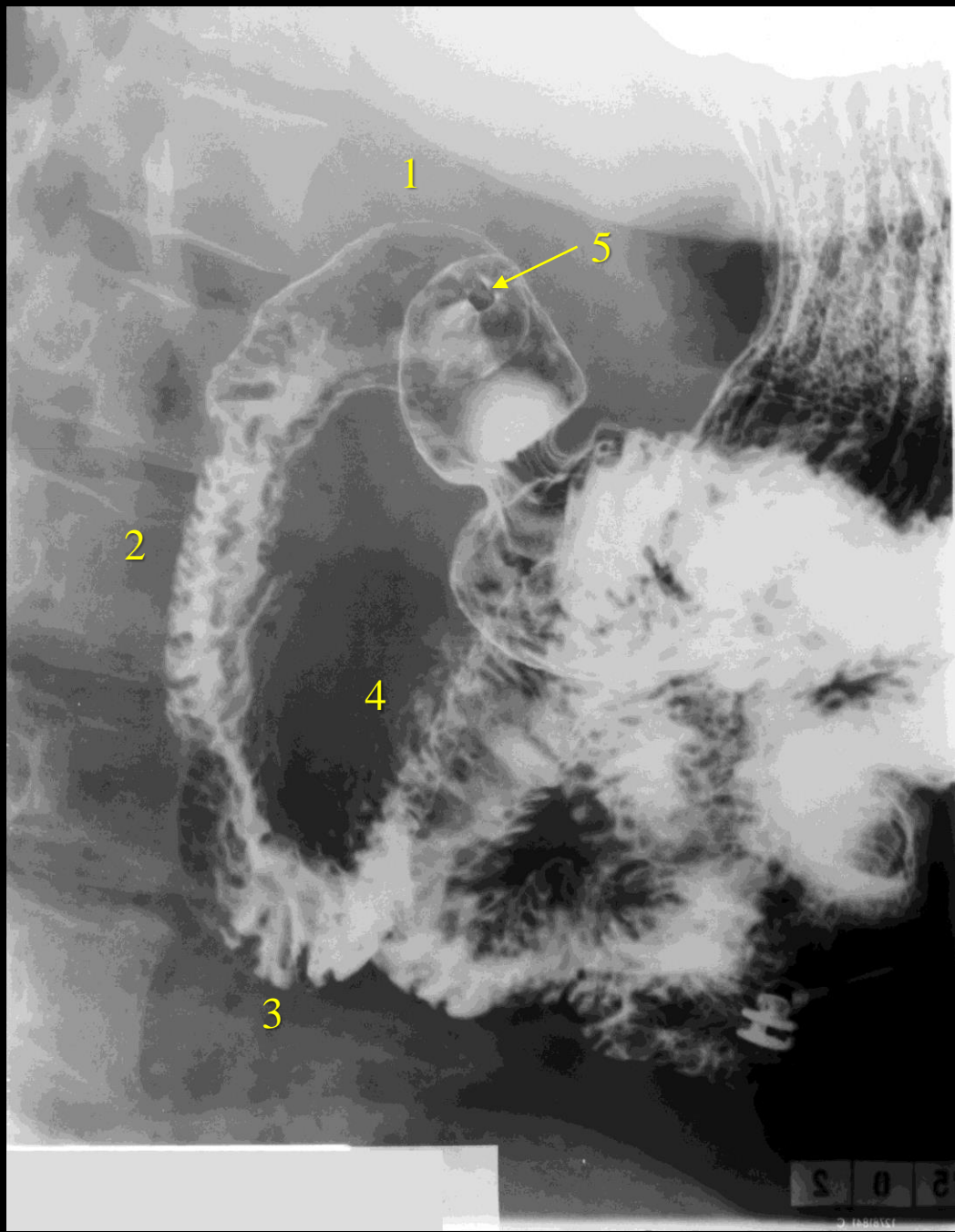


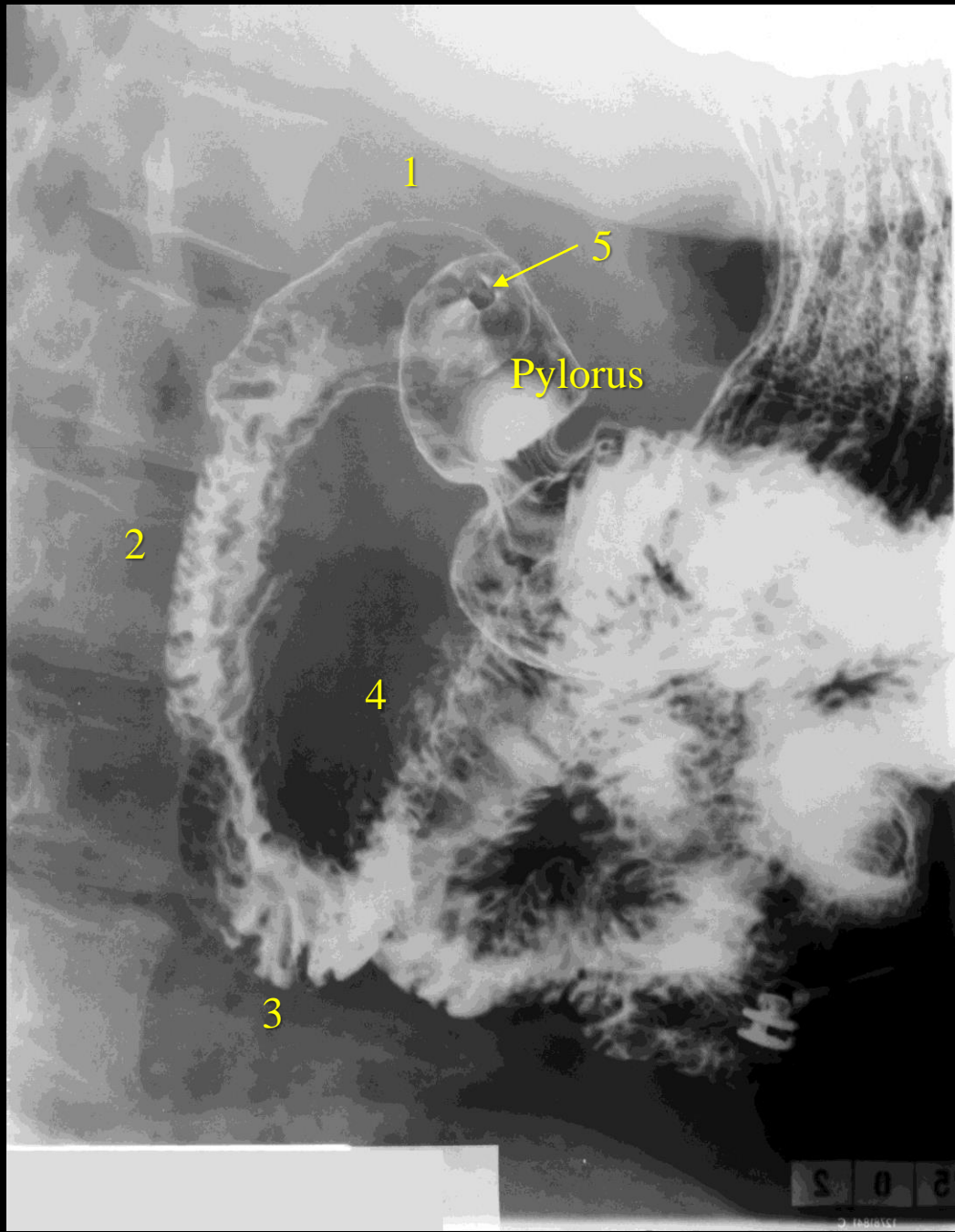
Duodenum:

- 1) Pars superior med bulbus (ampulla) duodeni.
- 2) Pars descendens.
- 3) Pars horizontalis (inferior).
- 4) Pars ascendens.
- 5) Canalis pyloricum



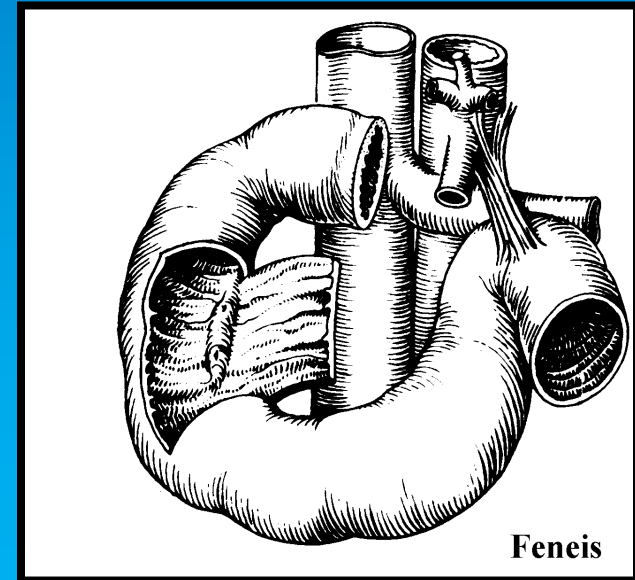
Feneis



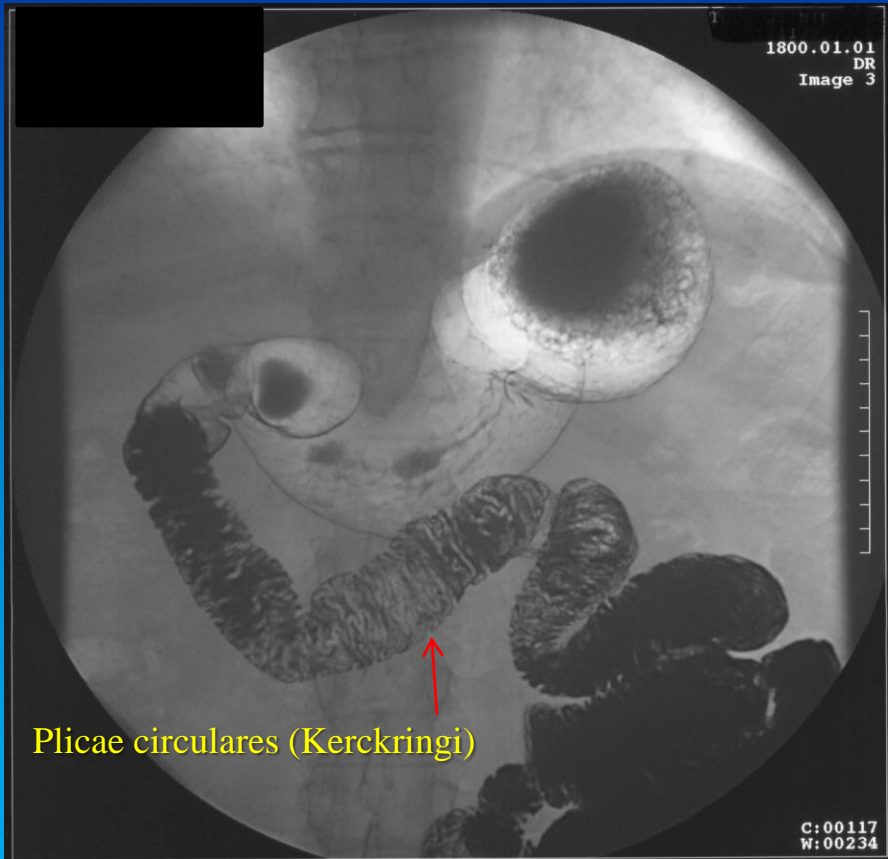


Duodenum:

- 1) Pars superior med bulbus (ampulla) duodeni.
- 2) Pars descendens.
- 3) Pars horizontalis (inferior).
- 4) Pars ascendens.
- 5) Canalis pyloricum

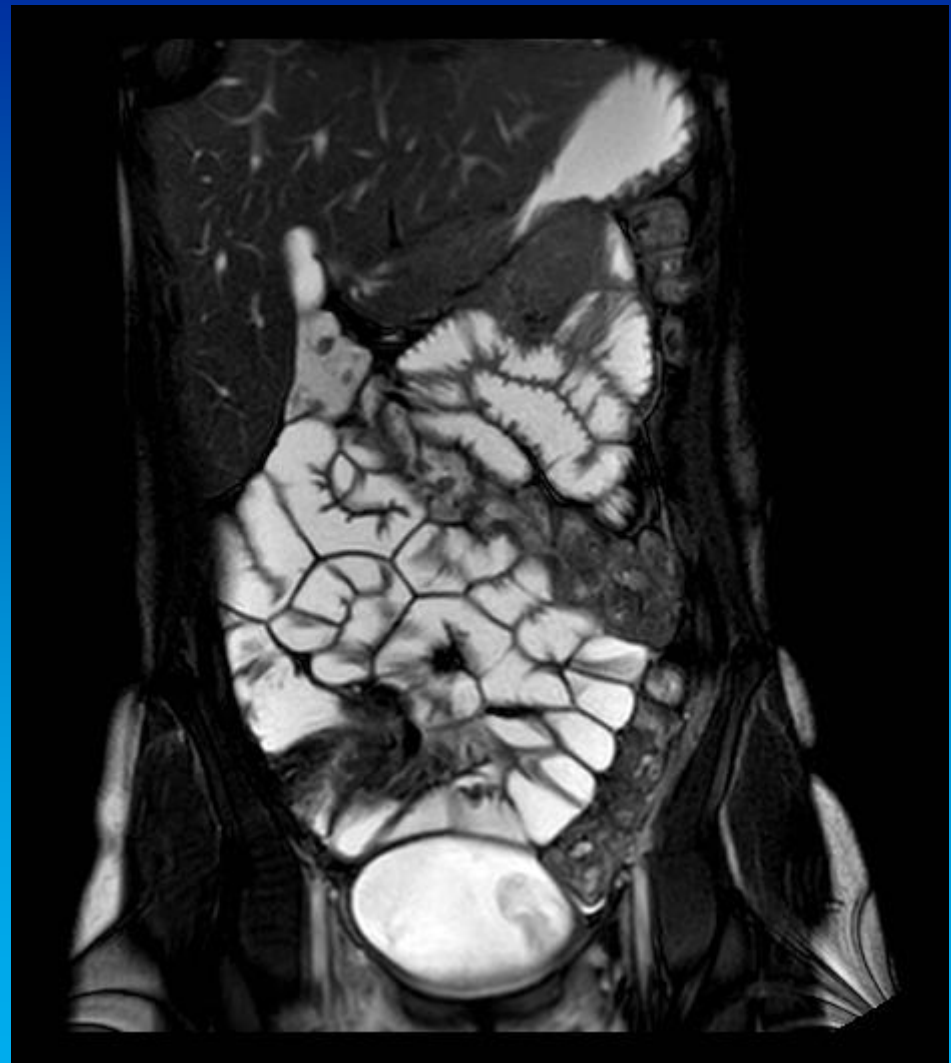


TTP: Tyndtarmspassage

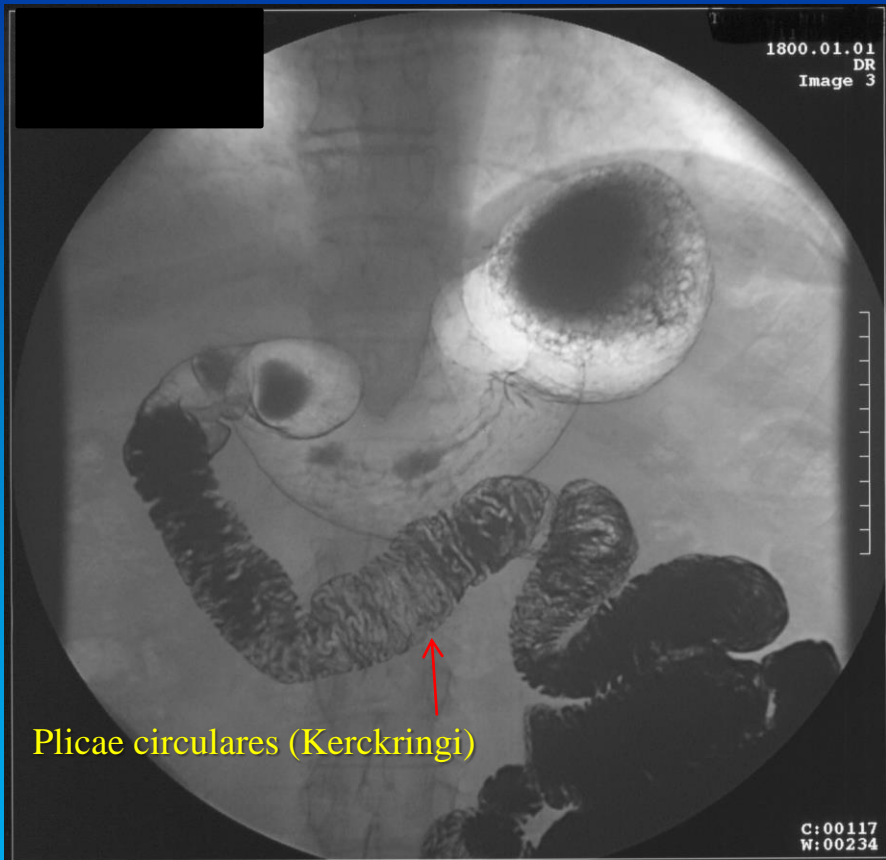


Plicae circulares (Kerckringi)

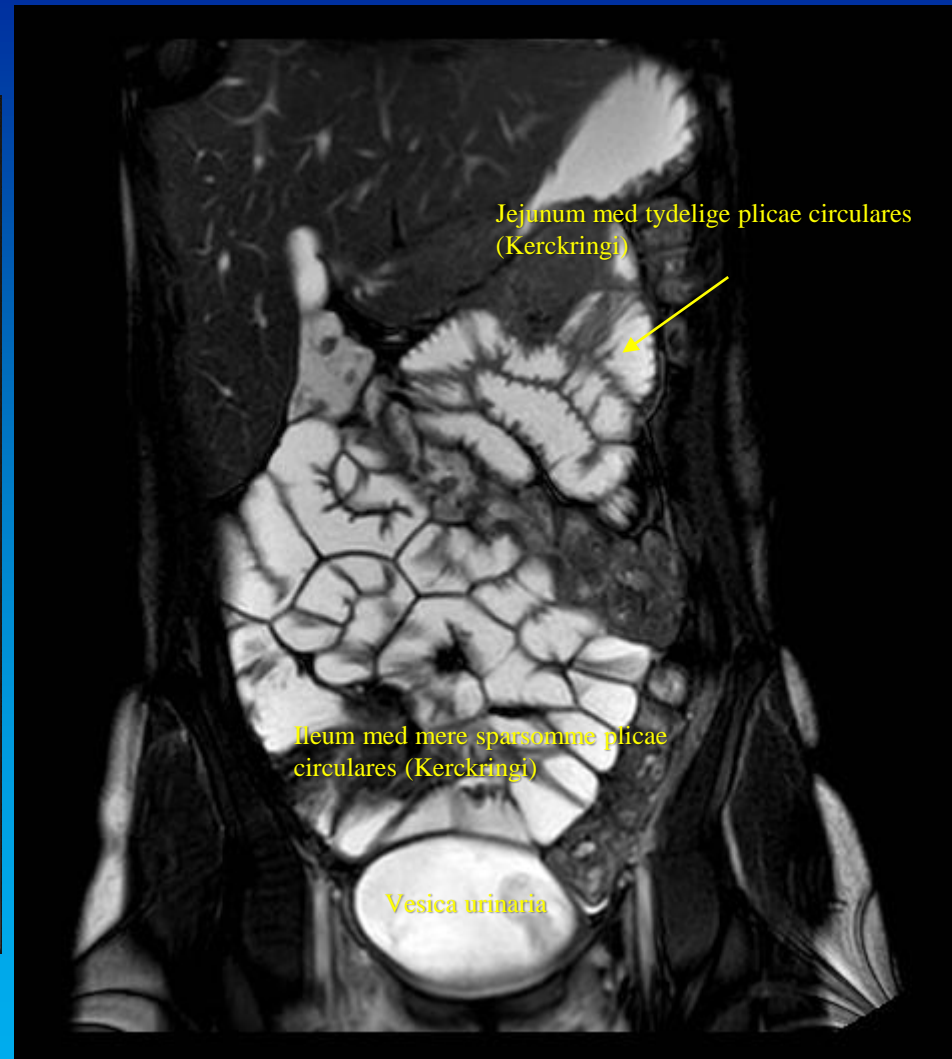
MR af tyndtarm



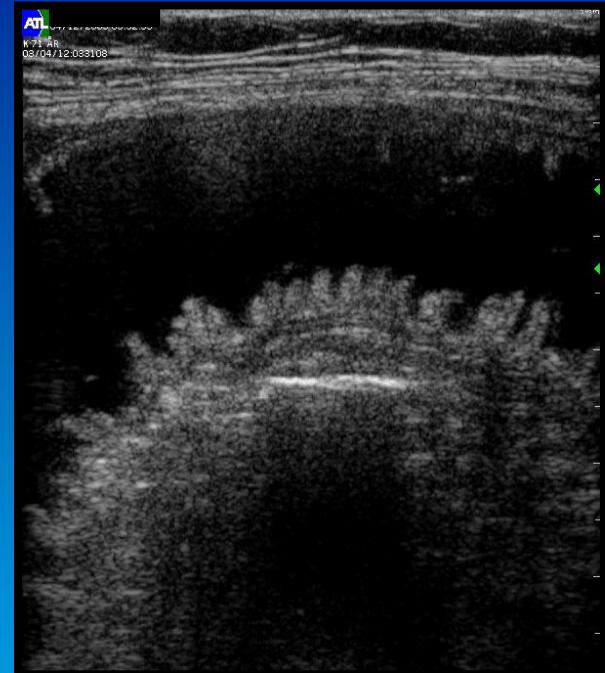
TTP: Tyndtarmspassage



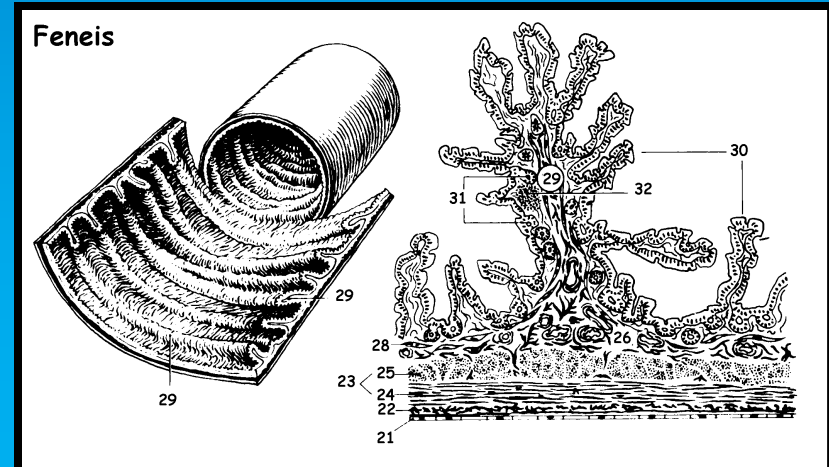
MR af tyndtarm



90 og 71 årig kvinder, jejunum- og ileum segment.

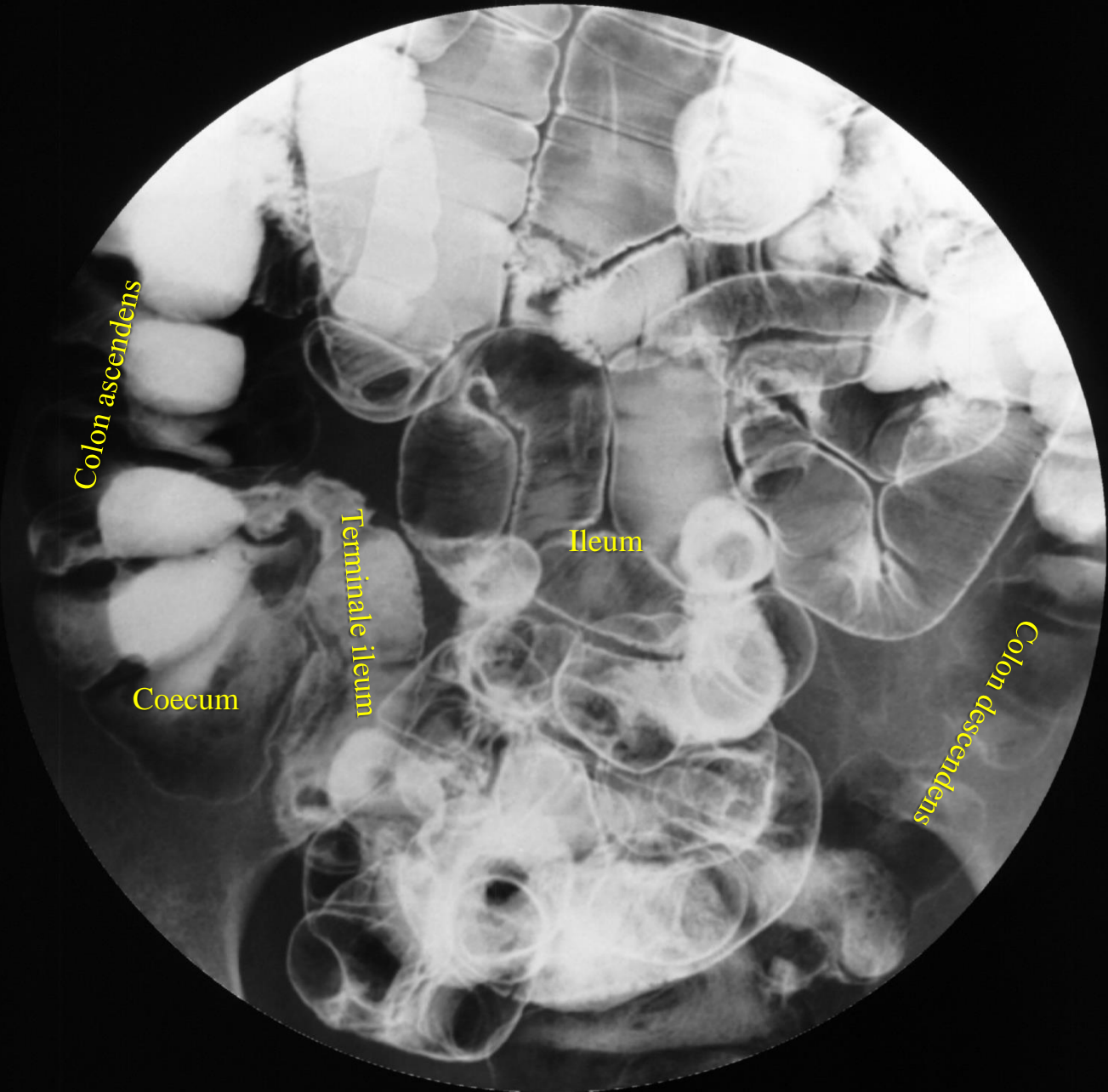


Ul af tyndtarm





Røntgenundersøgelse med dobbeltkontrast (TTP).

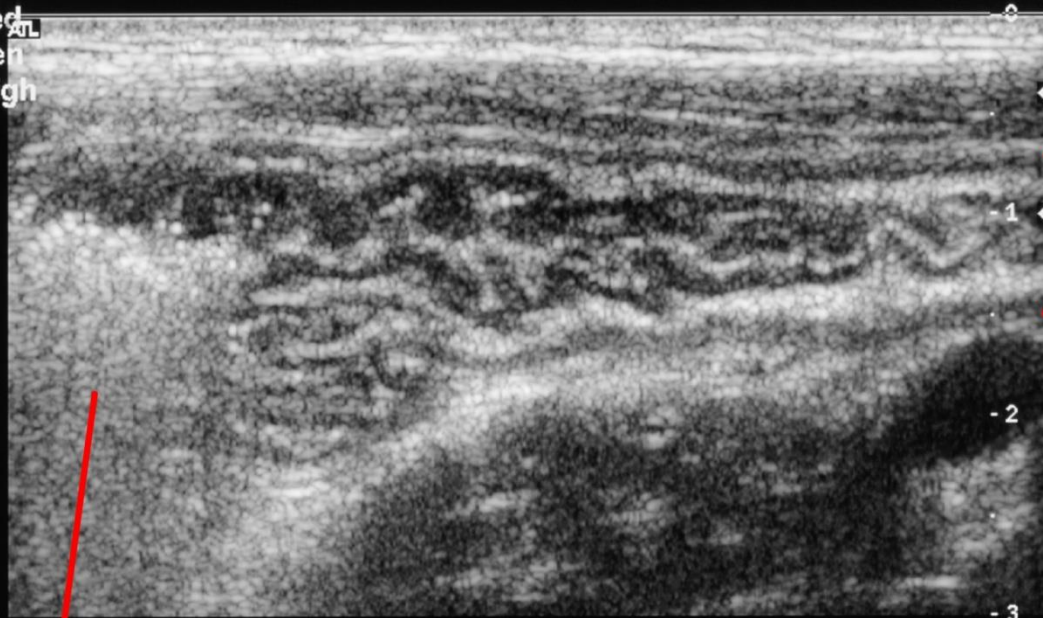


Røntgenundersøgelse med dobbeltkontrast (TTP).

HDI
5000

TIs 0.1 MI 0.60
Fr #70 3.0 cm

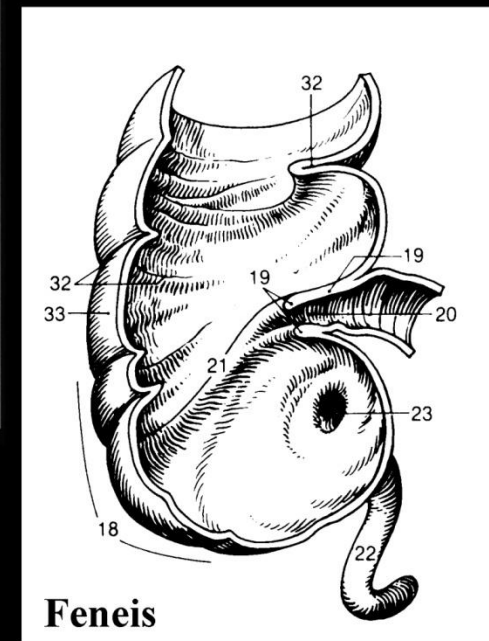
Map 3
150dB/C 4
Persist Med
2D Opt:Gen
Fr Rate:High



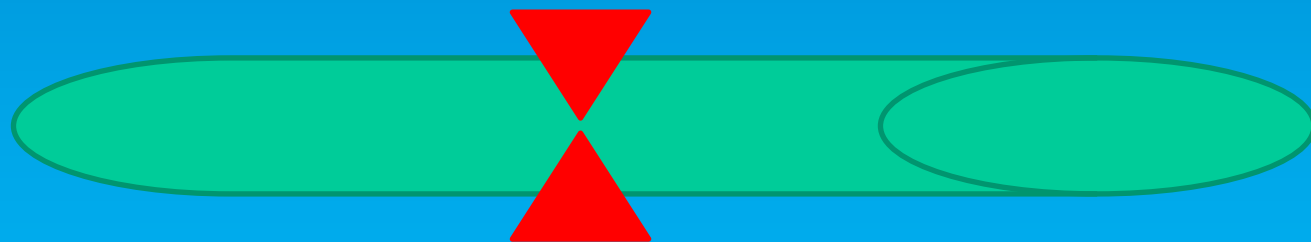
Caecum

Ultralyd

Terminale ileum



Ileus: Tarmslyng





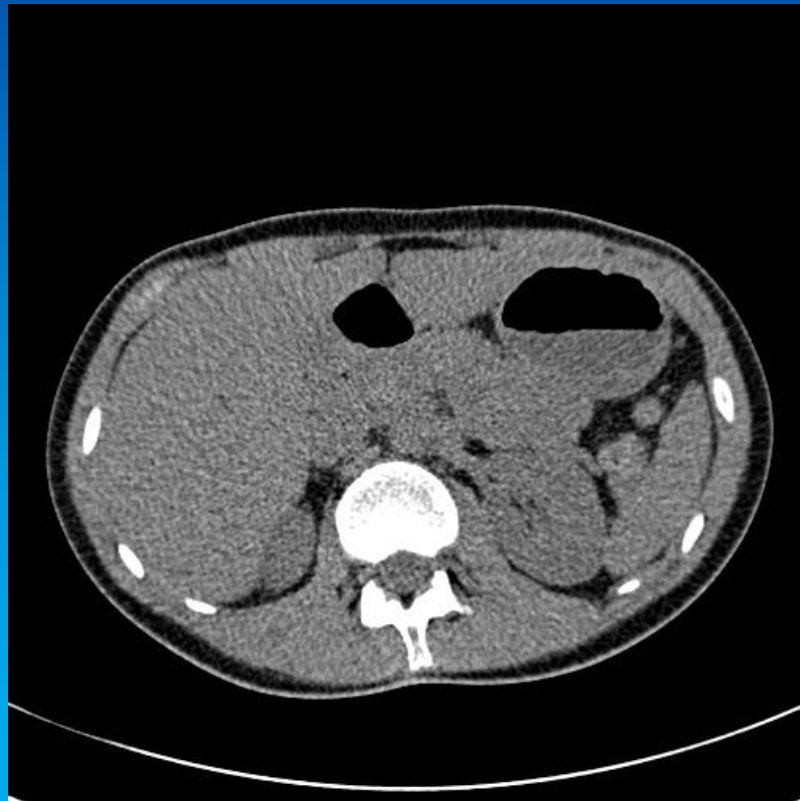
Tyndtarmsileus



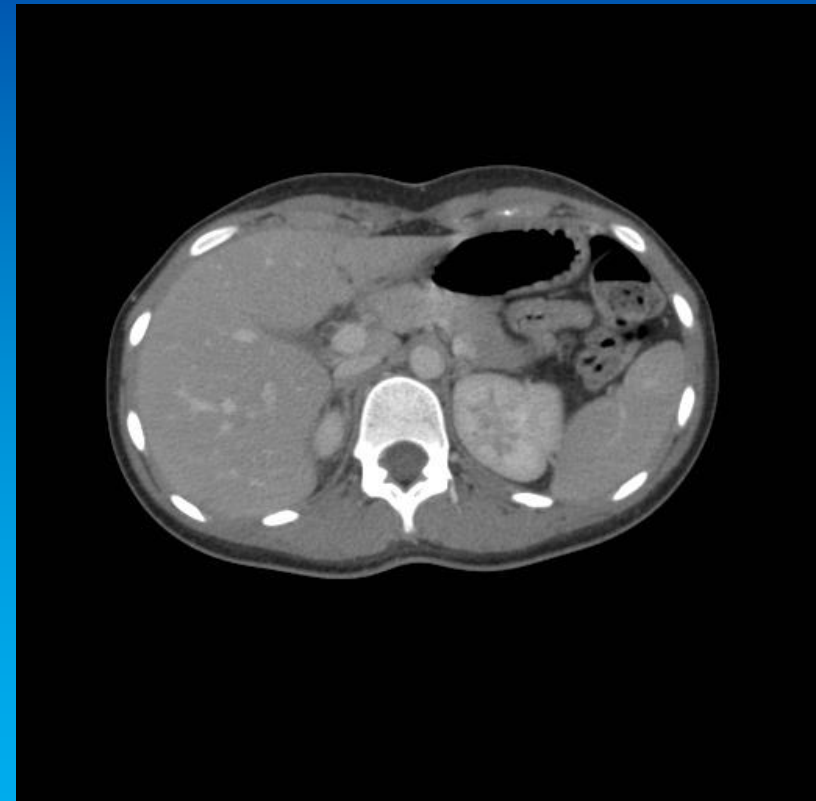
Tyndtarmsileus

De parenkymatøse organer

CT skanninger

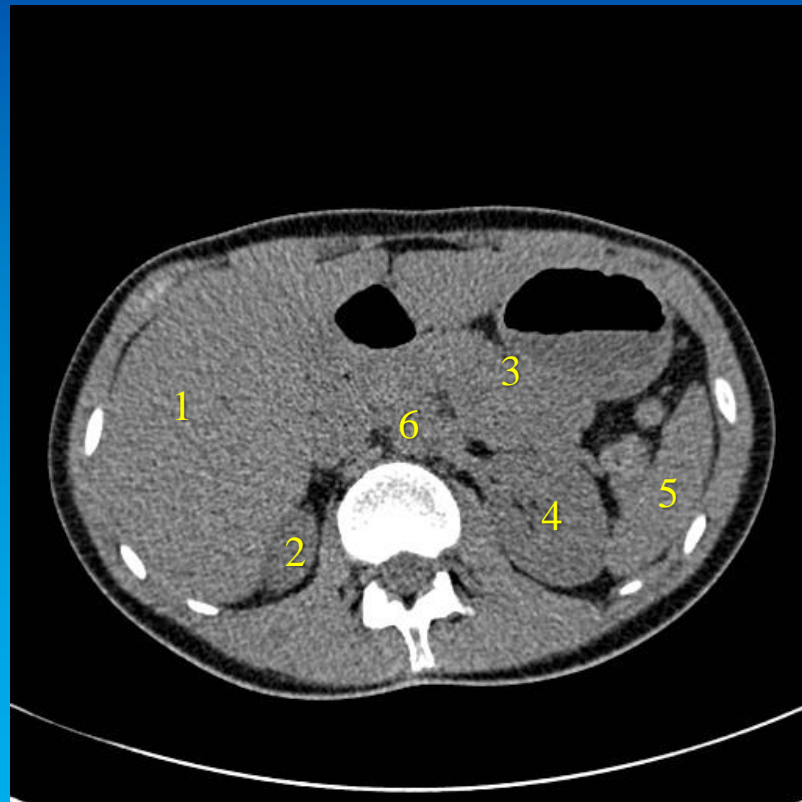


Lavdosis CT uden i.v. kontrast

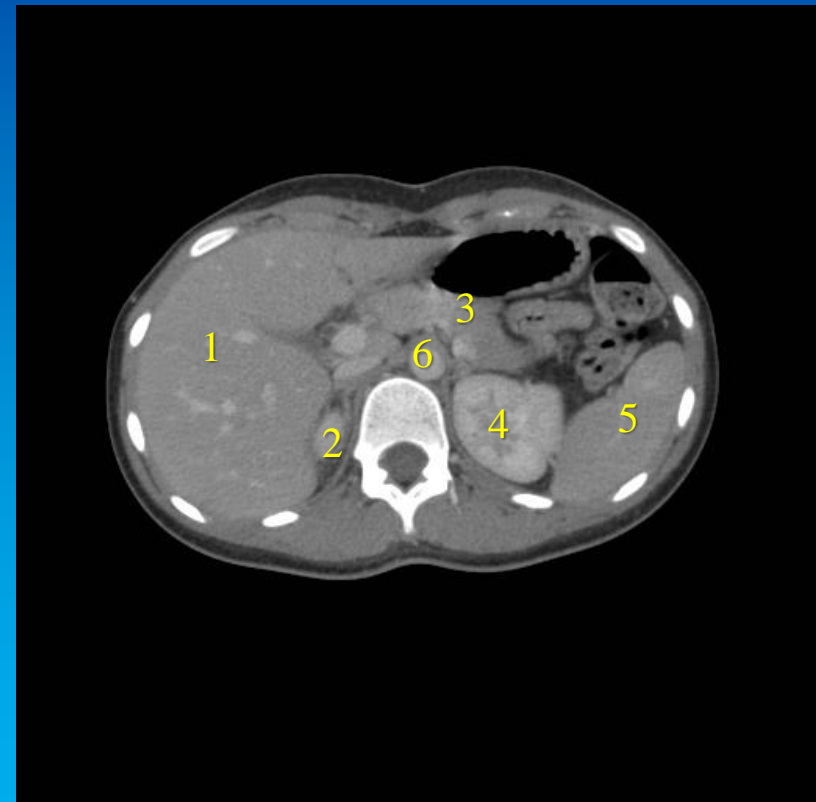


CT skanning med i.v. kontrast

To forskellige skanninger af yngre personer. Betydningen af i.v. kontrast for visualisering af organer ses af de to undersøgelser.

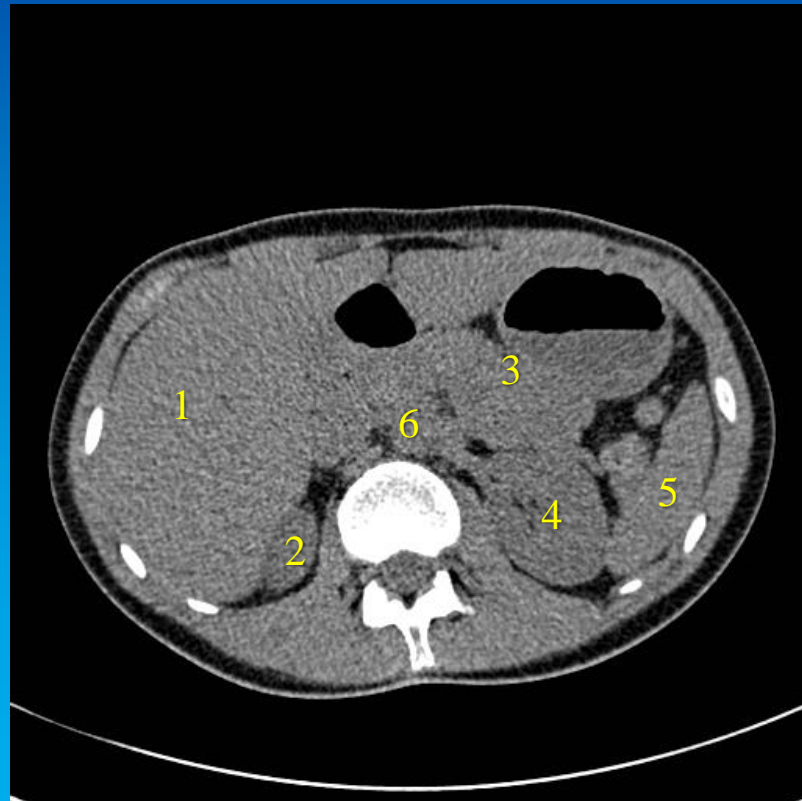


Lavdosis CT uden i.v. kontrast

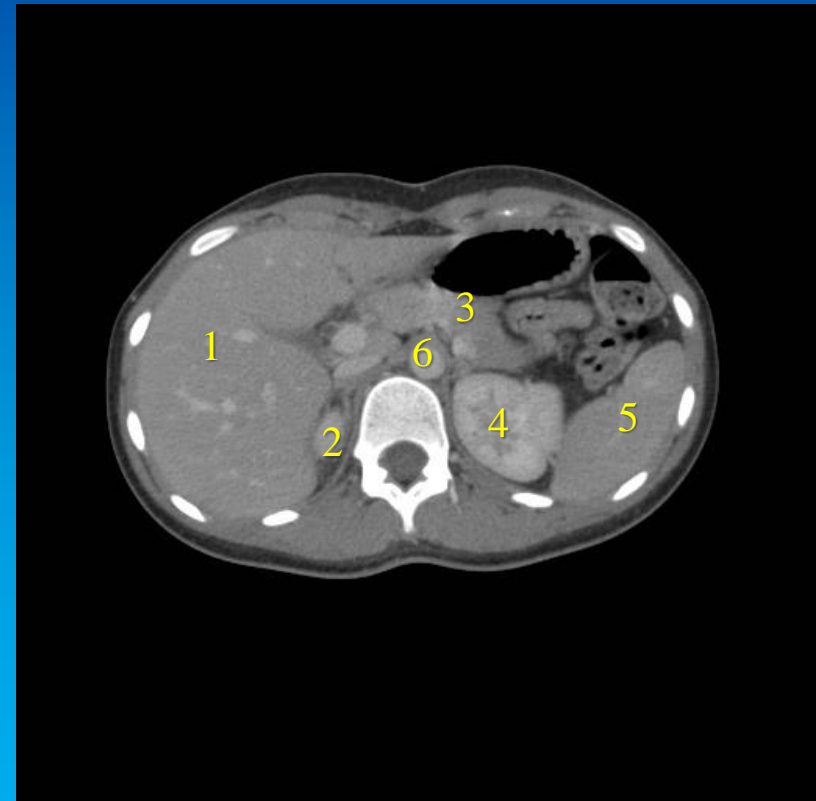


CT skanning med i.v. kontrast

1. Hepar
2. Ren dx.
3. Pancreas
4. Ren sin.
5. Spleen
6. Aorta

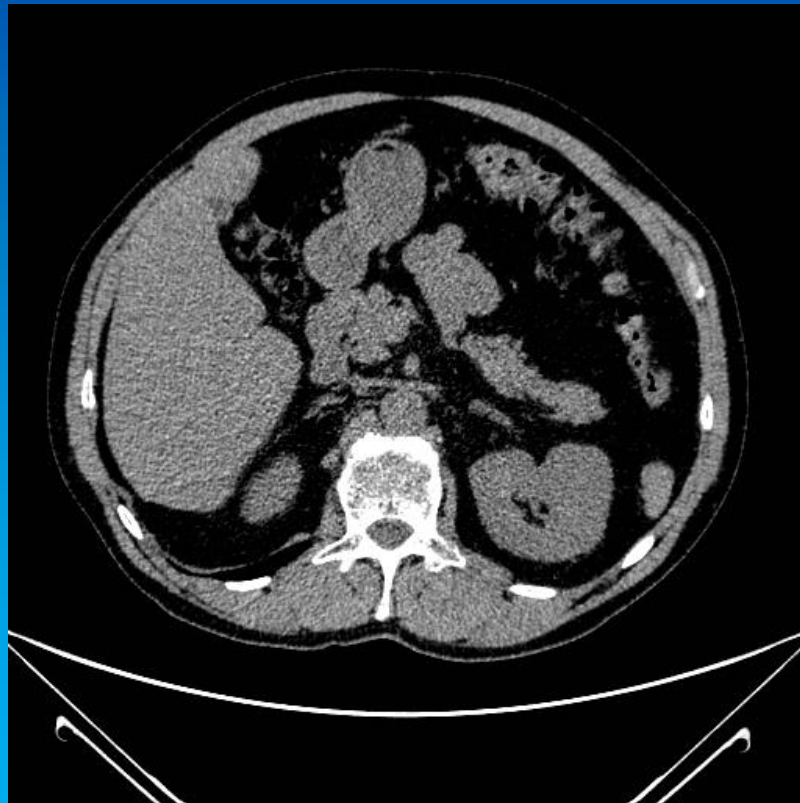


Lavdosis CT uden i.v. kontrast

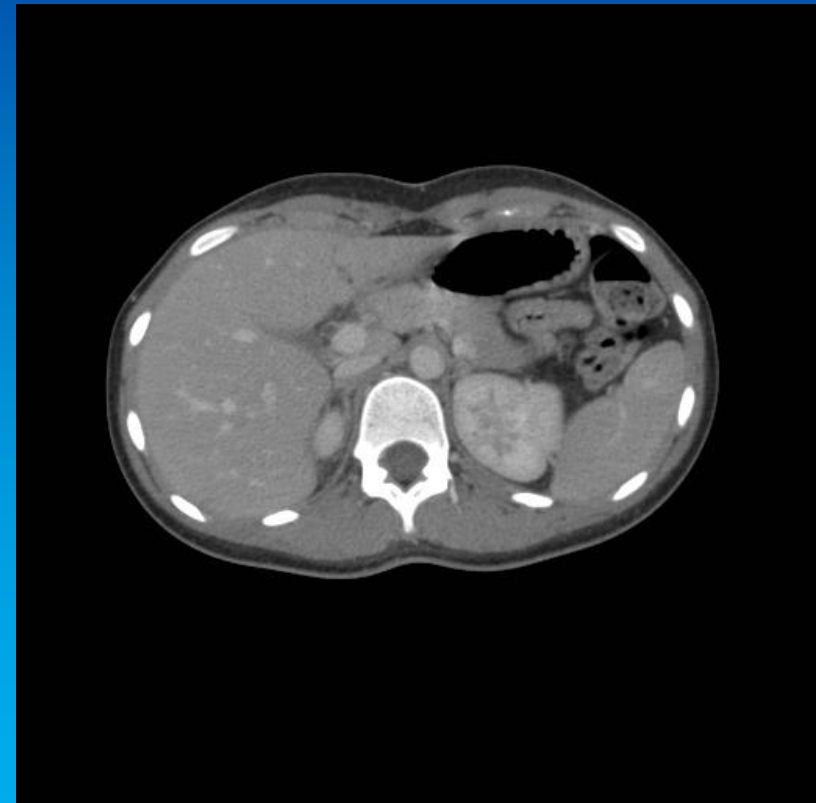


CT skanning med i.v. kontrast

CT skanninger



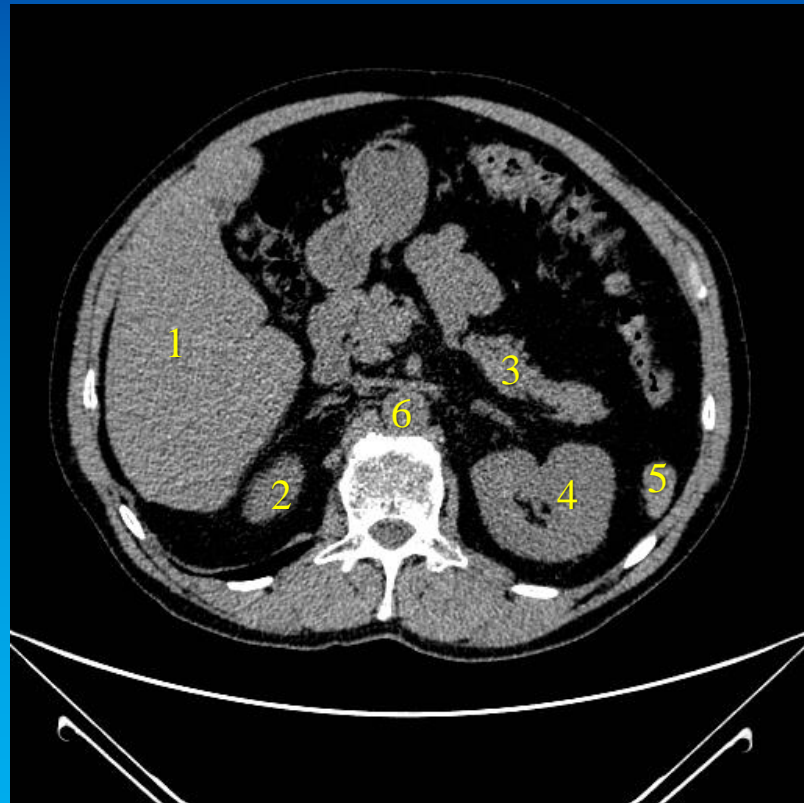
Lavdosis CT uden i.v. kontrast



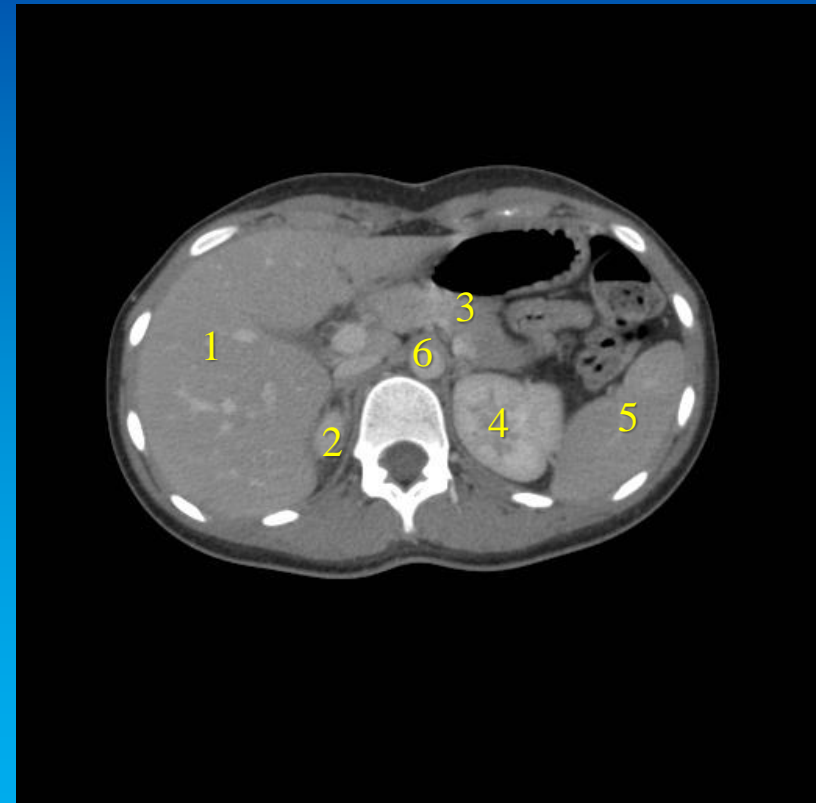
CT skanning med i.v. kontrast

1. Hepar
2. Ren dx.
3. Pancreas
4. Ren sin.
5. Spleen
6. Aorta

På undersøgelsen til venstre er der tale om midaldrende mand, på undersøgelsen til højre, en yngre kvinde. Manden ses at have en del fedtvæv intraabdominalt, der indirekte virker som kontrast. Bemærk at der ikke er benyttet samme W/L på de to billede, idet det intraabdominale fedtvæv ikke har samme sorte farve.

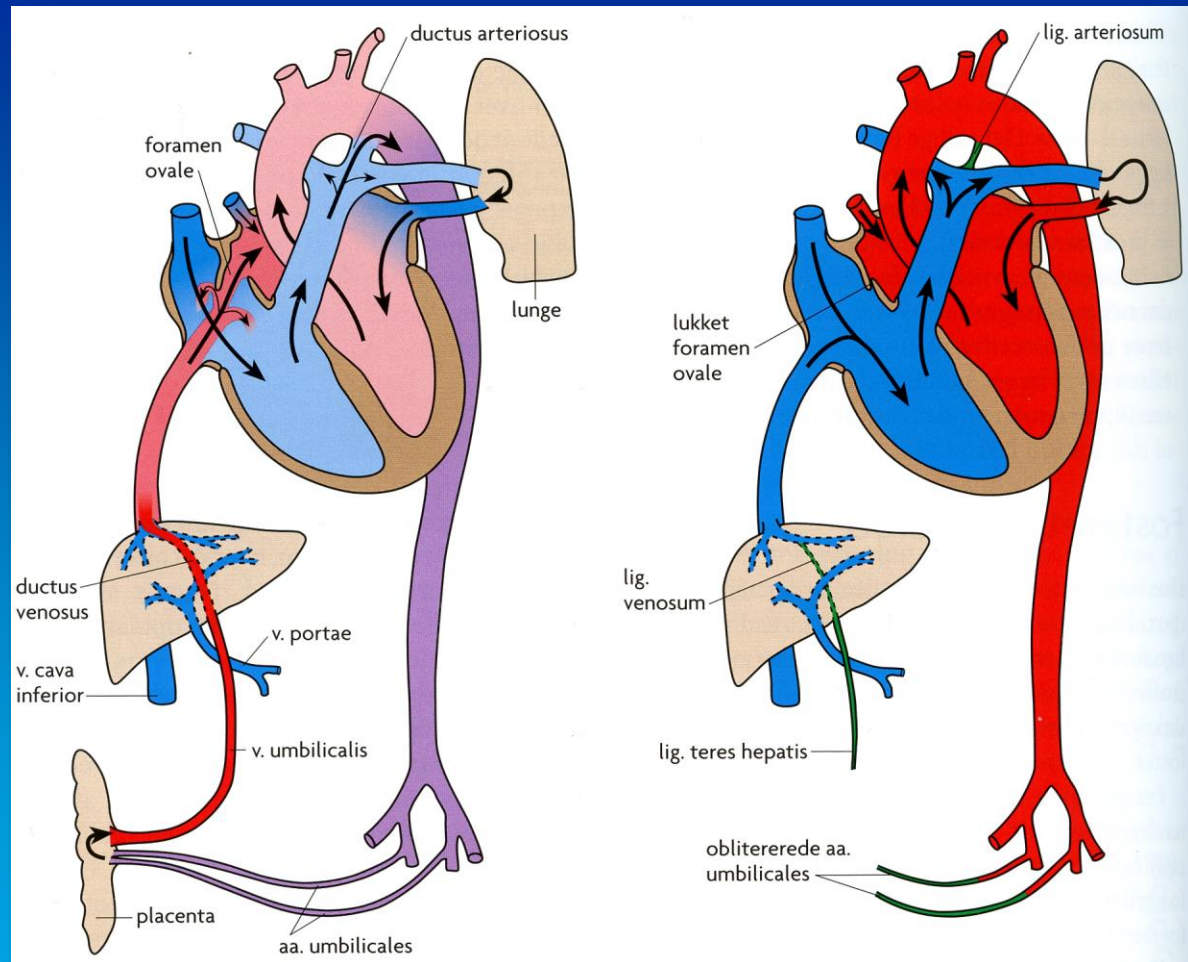


Lavdosis CT uden i.v. kontrast



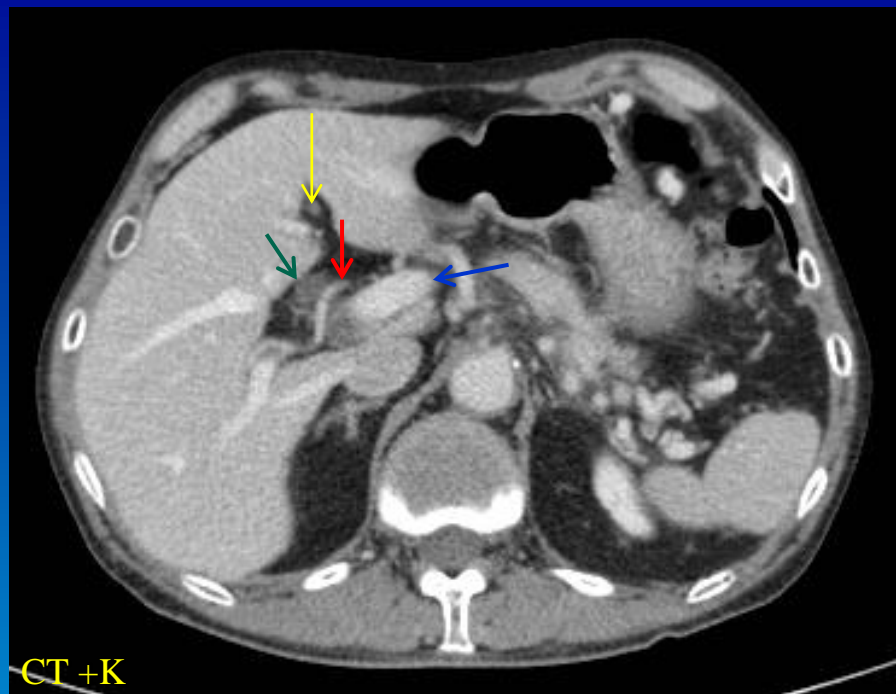
CT skanning med i.v. kontrast

Lever og galdeveje





CT +K



CT +K

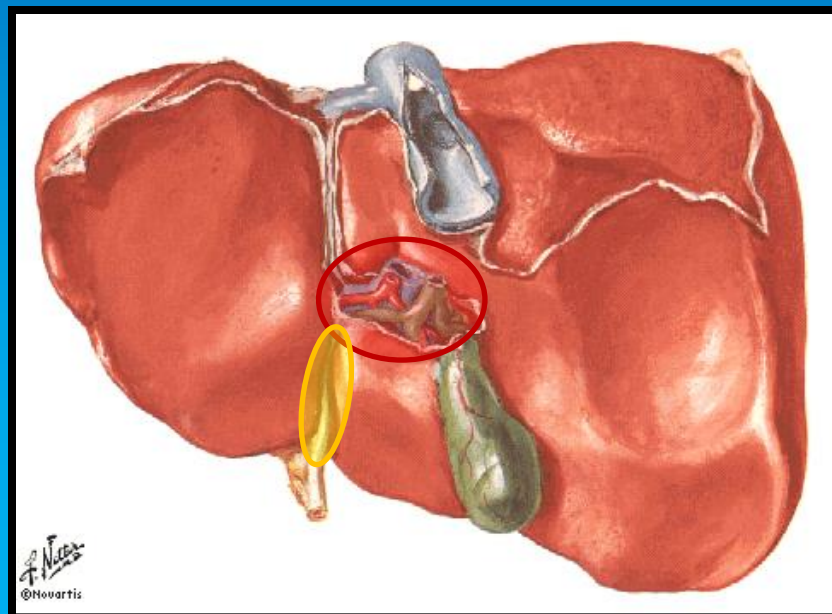
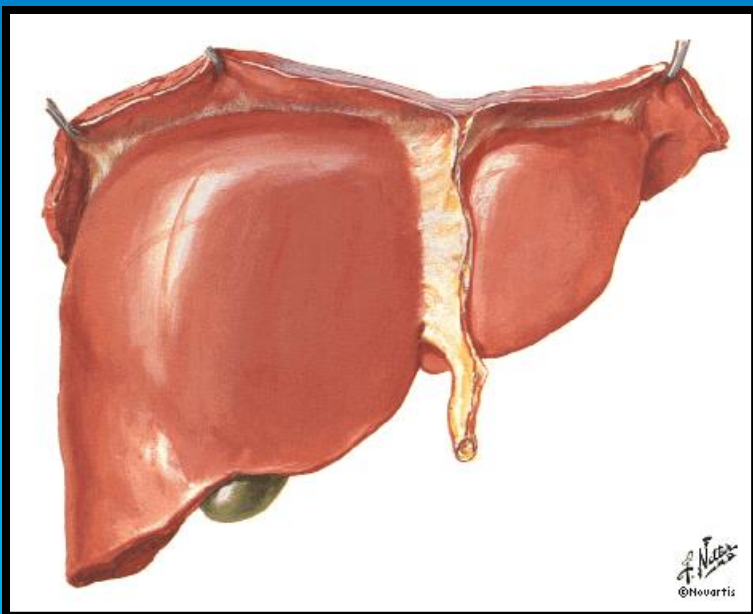
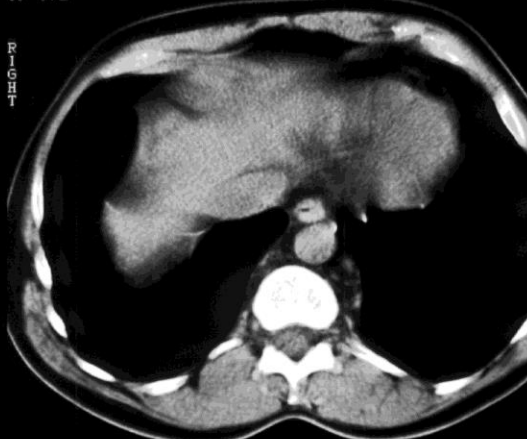


Image 23
15:34:05.2
Spiral 3
TP 172

ANTERIOR



oral

Image 24
15:34:05.2
Spiral 3
TP 162

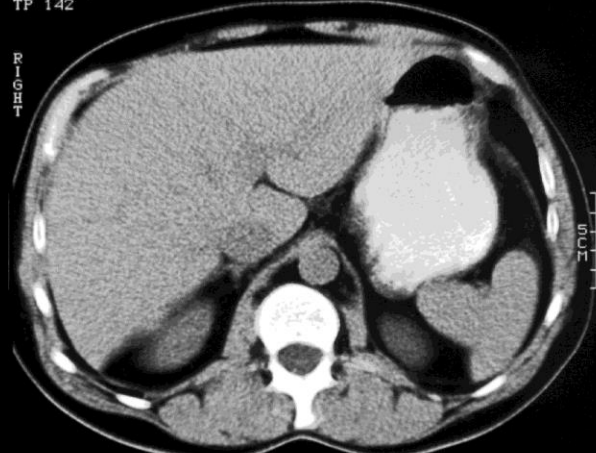
ANTERIOR



oral

Image 26
15:34:05.3
Spiral 3
TP 142

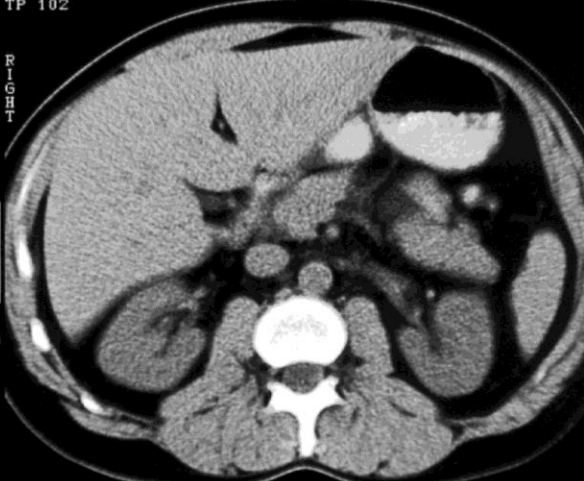
ANTERIOR



oral

Image 30
15:34:12.3
Spiral 3
TP 102

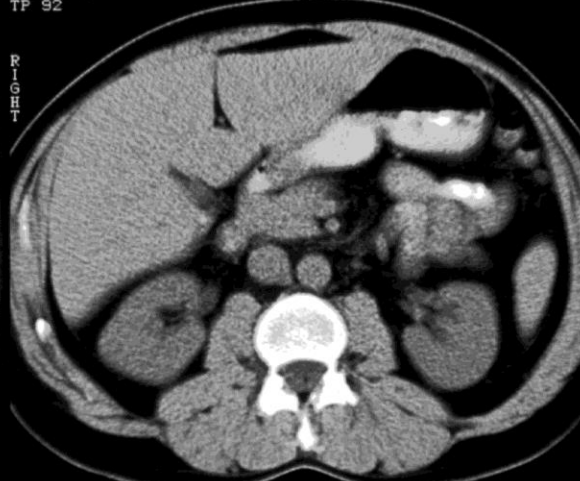
ANTERIOR



oral

Image 31
15:34:13.3
Spiral 3
TP 92

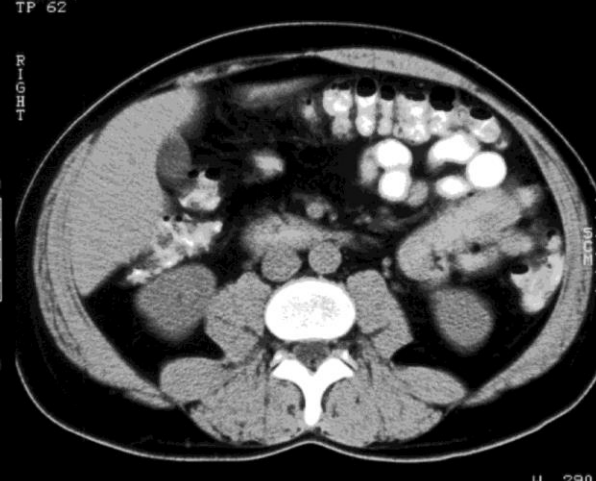
ANTERIOR



oral

Image 34
15:43:36
Scan 4
TP 62

ANTERIOR



oral

W 292
C 49

W 290
C 40

Impressio oesophageale



Impressio cardiaca

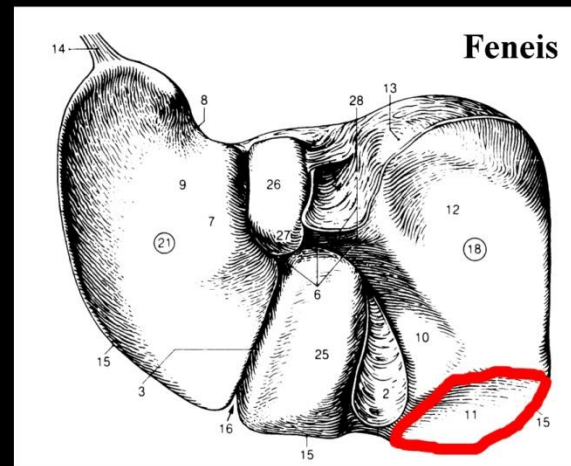


MR T2

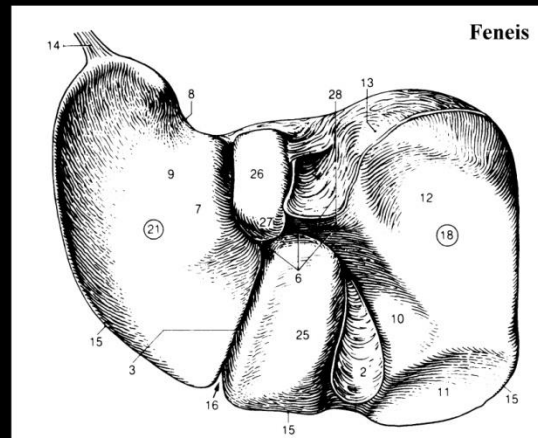
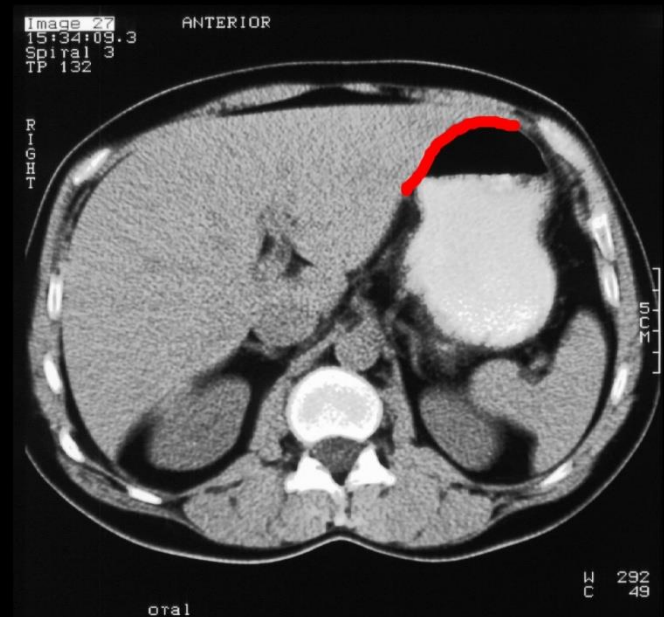
Impressio colica



MR T2

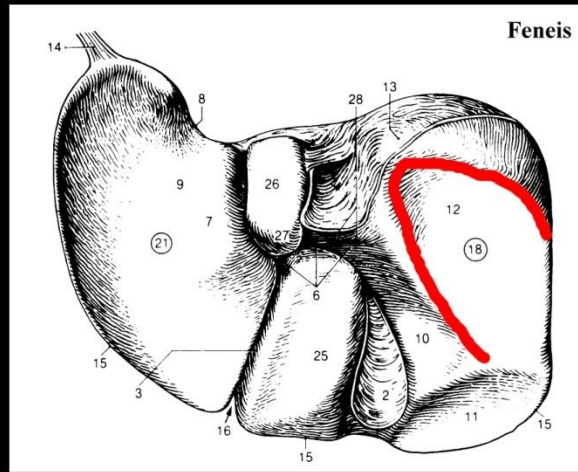
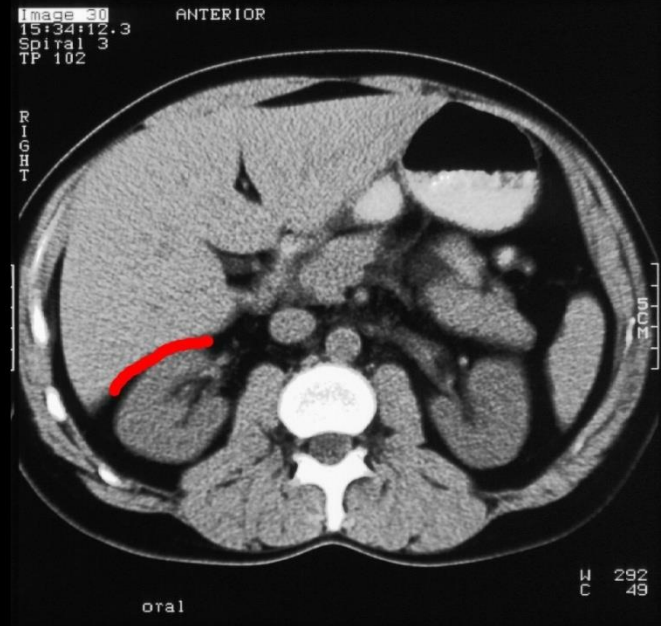
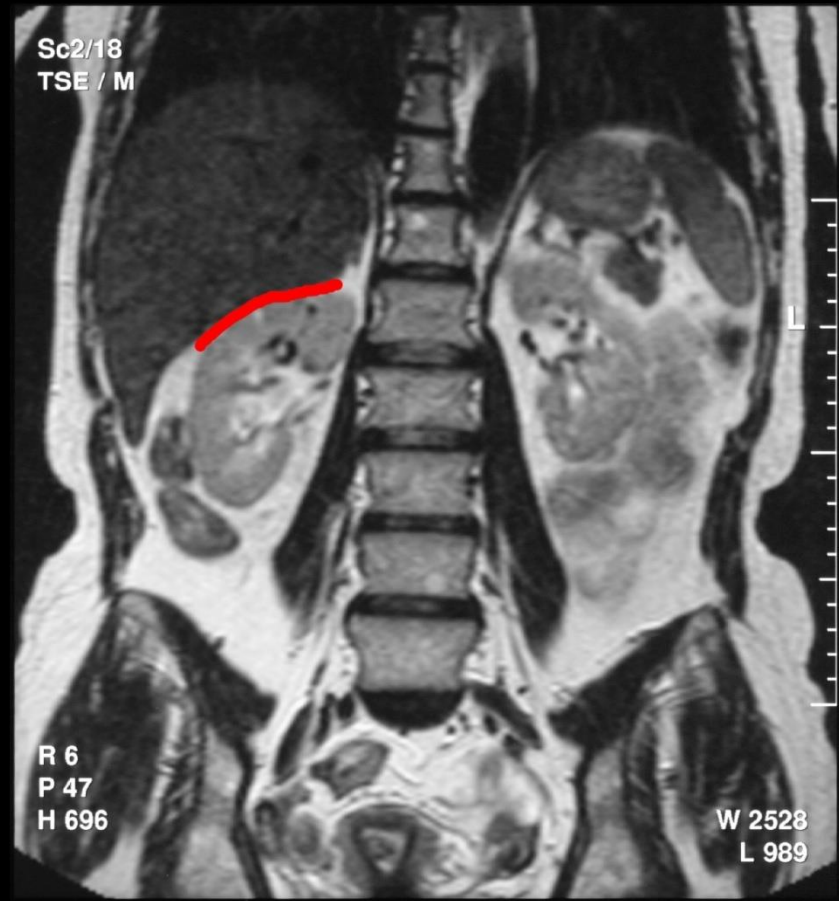


Impressio gastrica



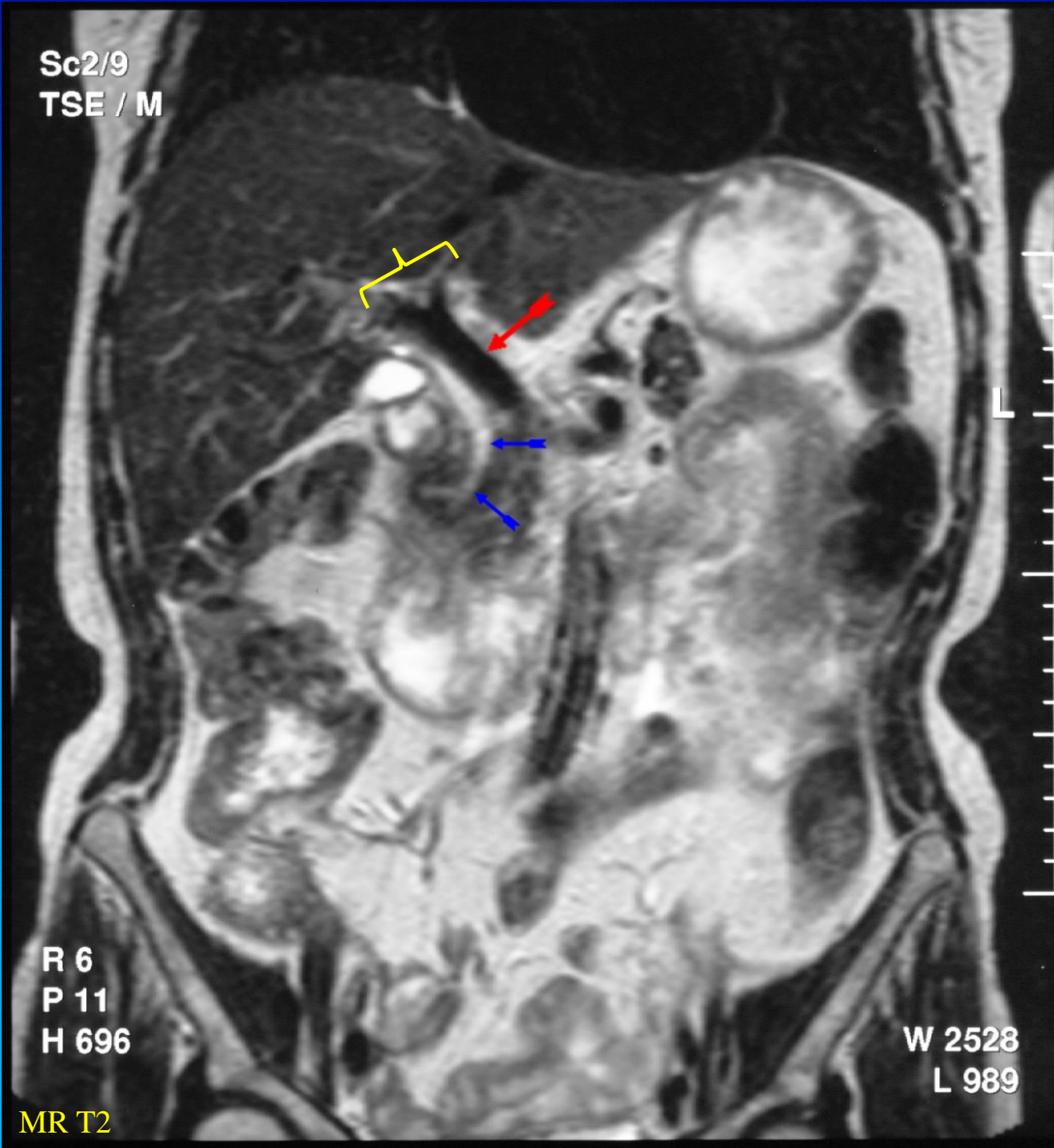
MR T2

Impressio renalis



MR T2

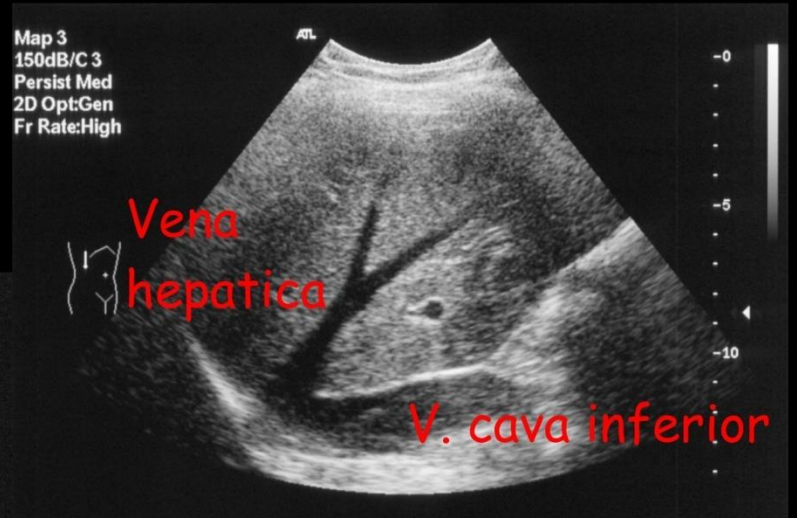
Sc2/9
TSE / M



Porta hepatis

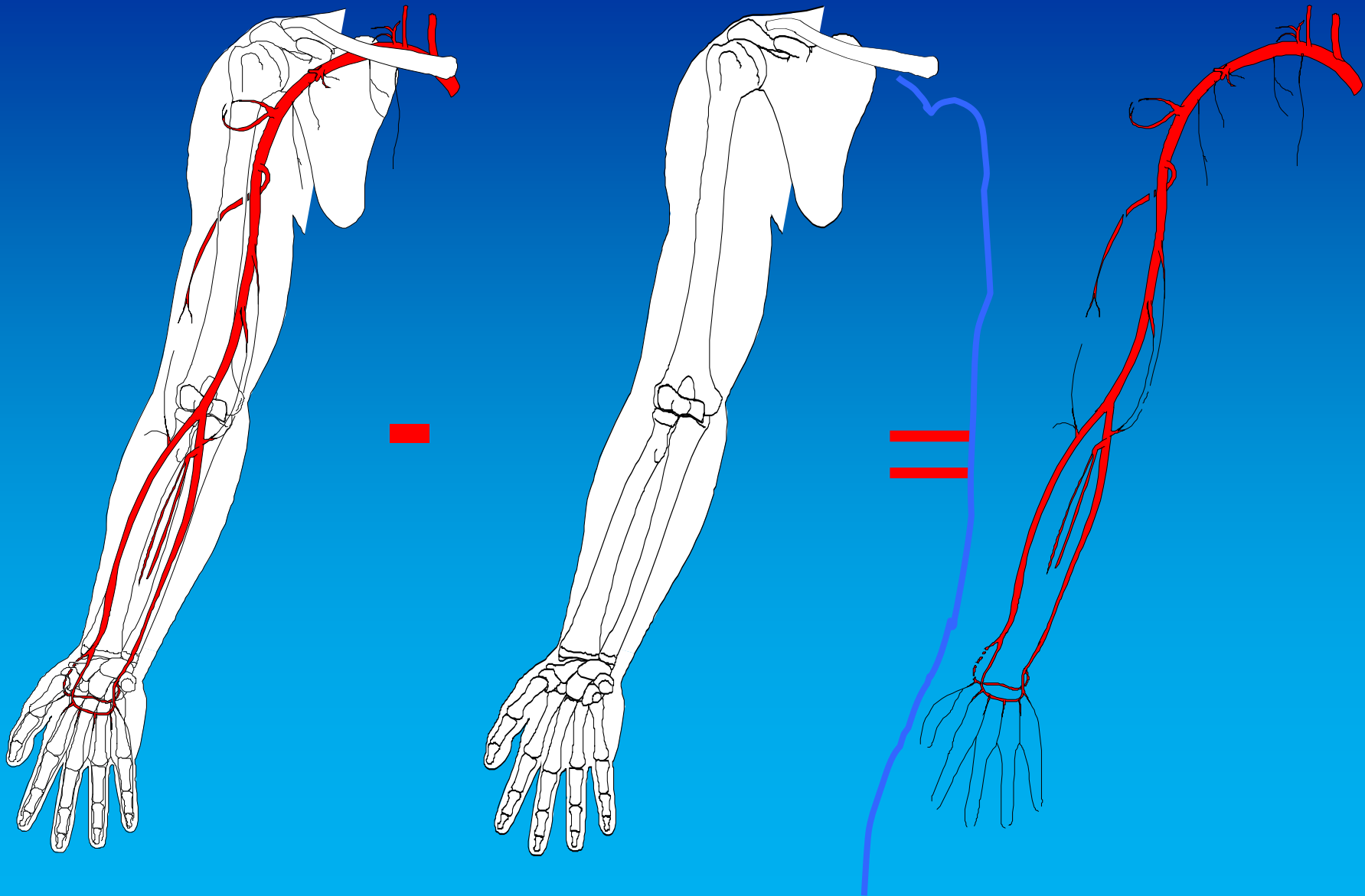
MR T2

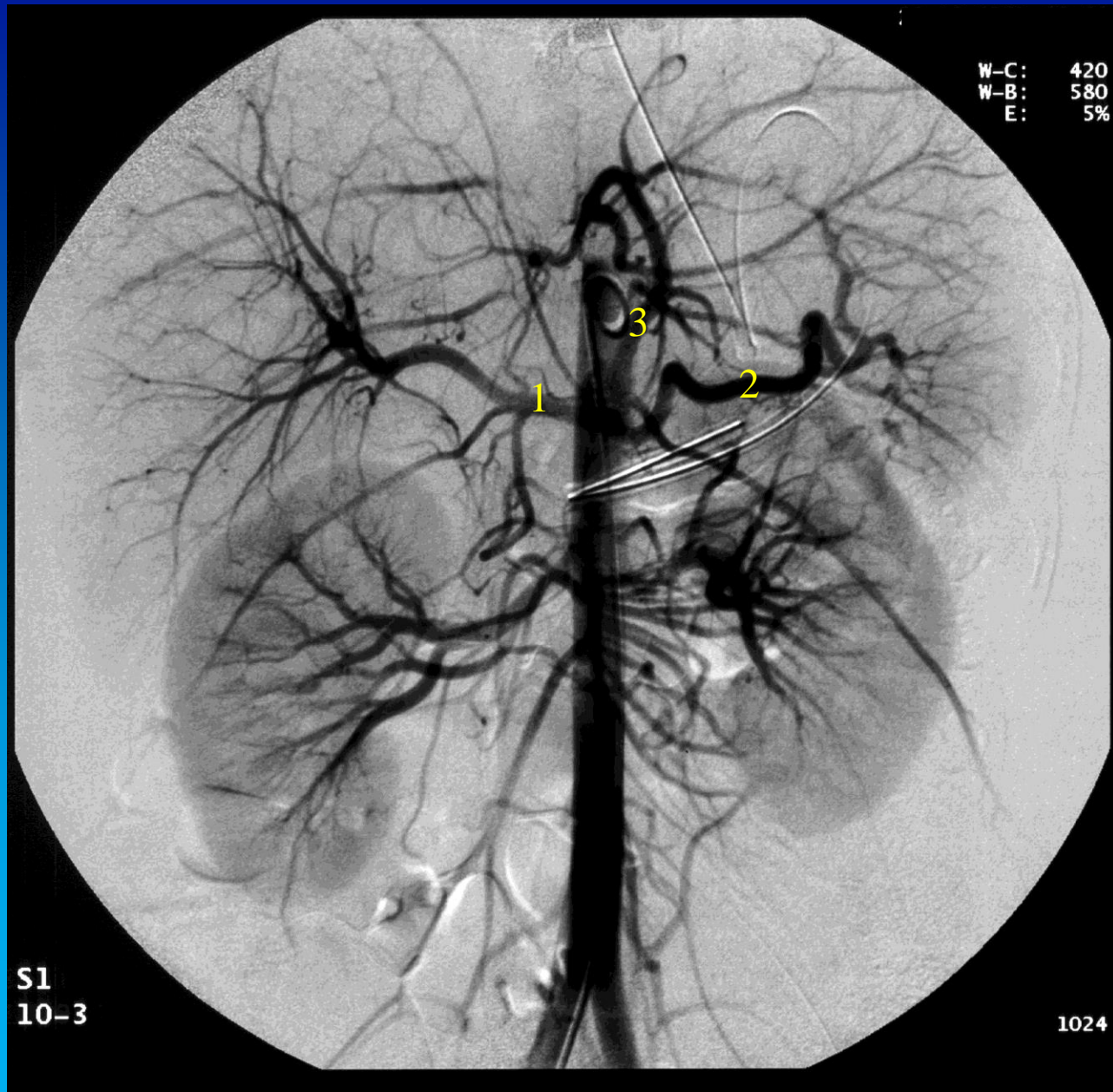
Map 3
150dB/C 3
Persist Med
2D Opt:Gen
Fr Rate:High



Abdominal angiografi

DSA: Digital subtraktions angiografi

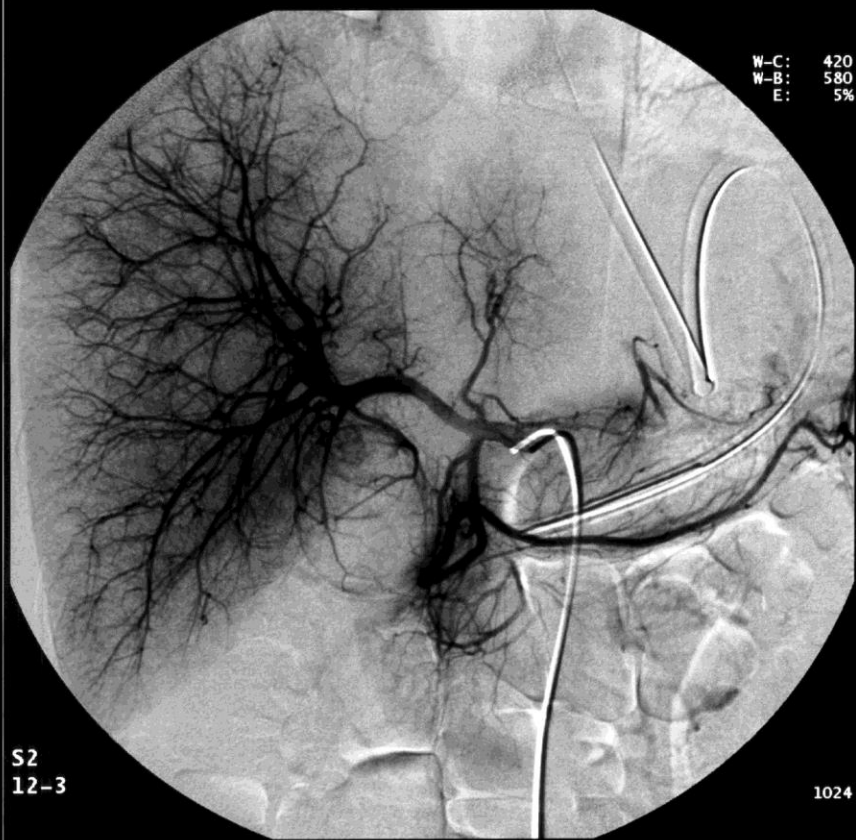
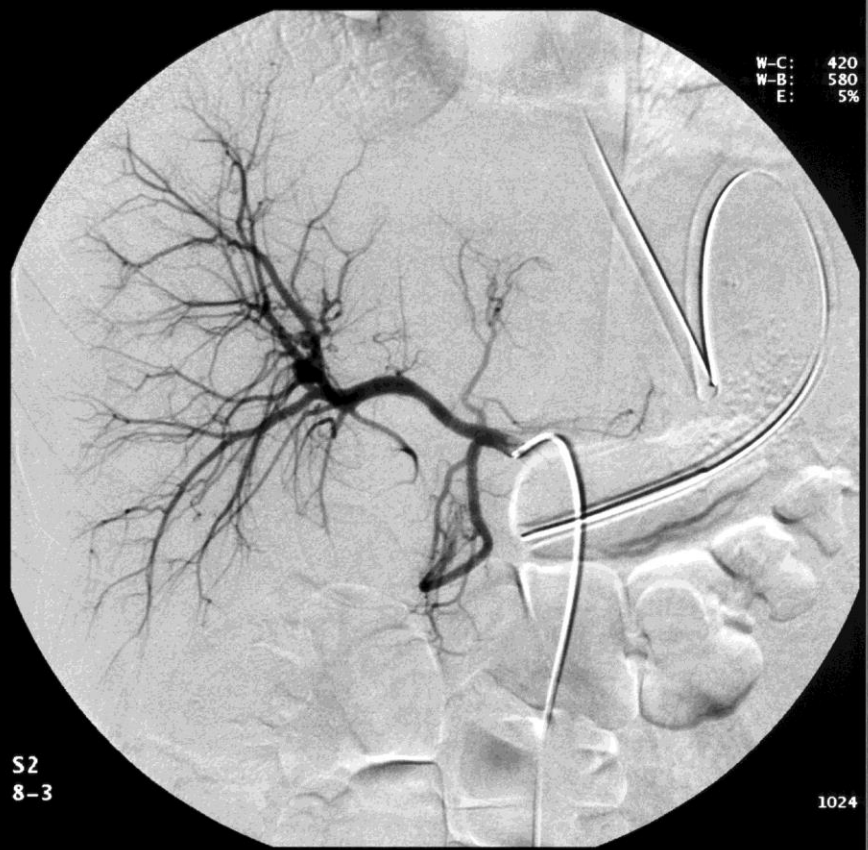




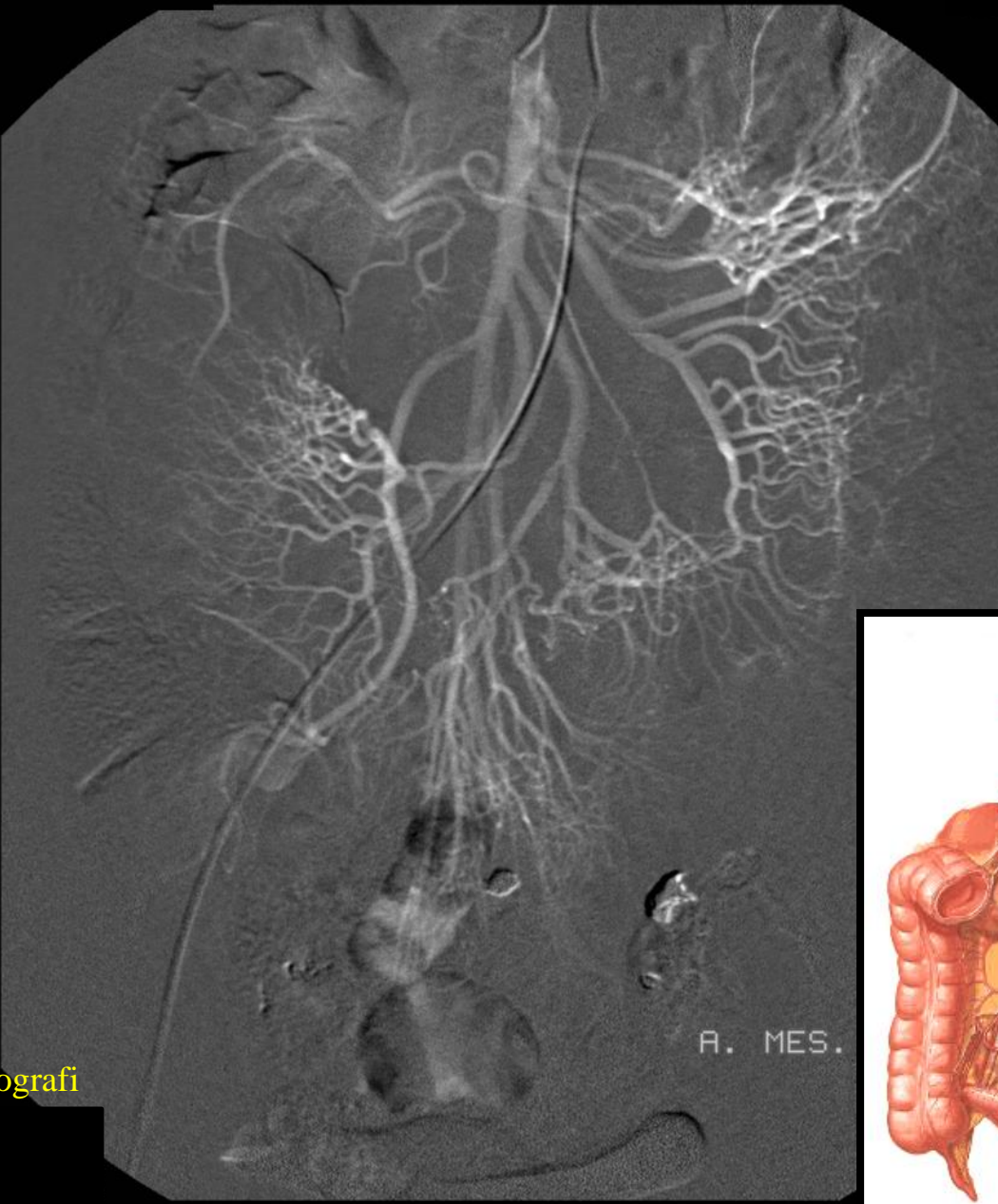
Abdominal aortografi

Truncus coeliacus:

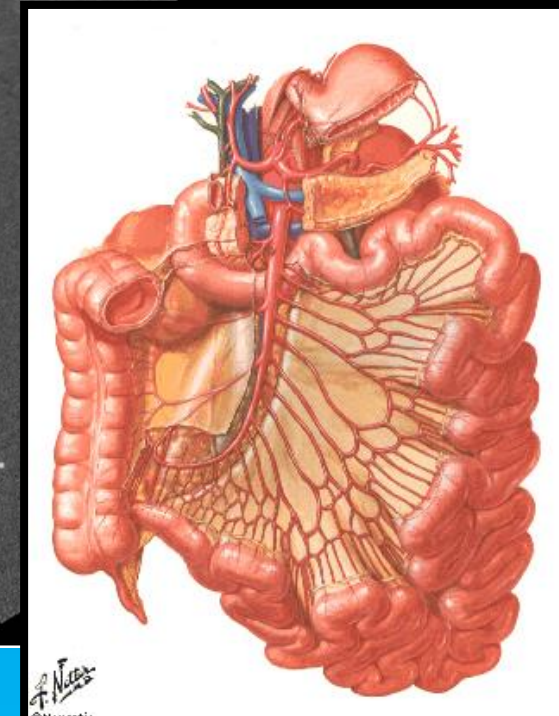
- 1) A. hepatica communis
- 2) A. splenica
- 3) A. gastrica sinistra



A. hepatica communis angiografi



A. mesenterica sup. angiografi



A. mesenterica sup.

A. colica dx.

A. ileocolica



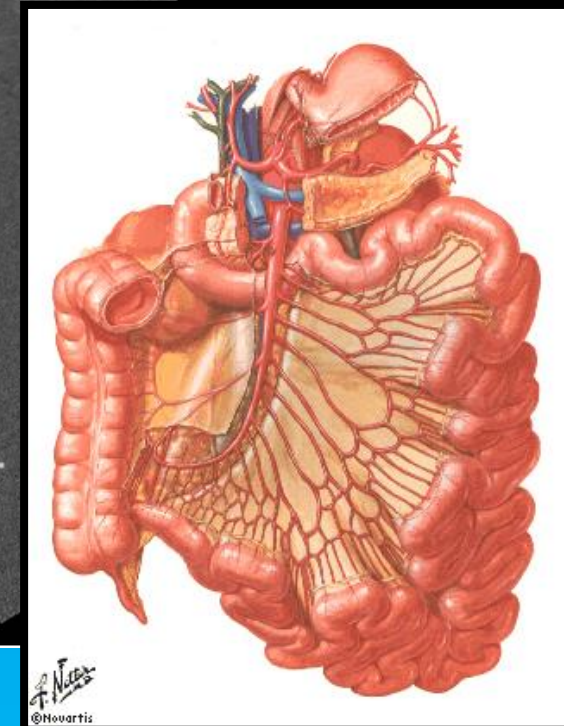
A. appendicularis ?

Aa. jejunales

Aa. ileales

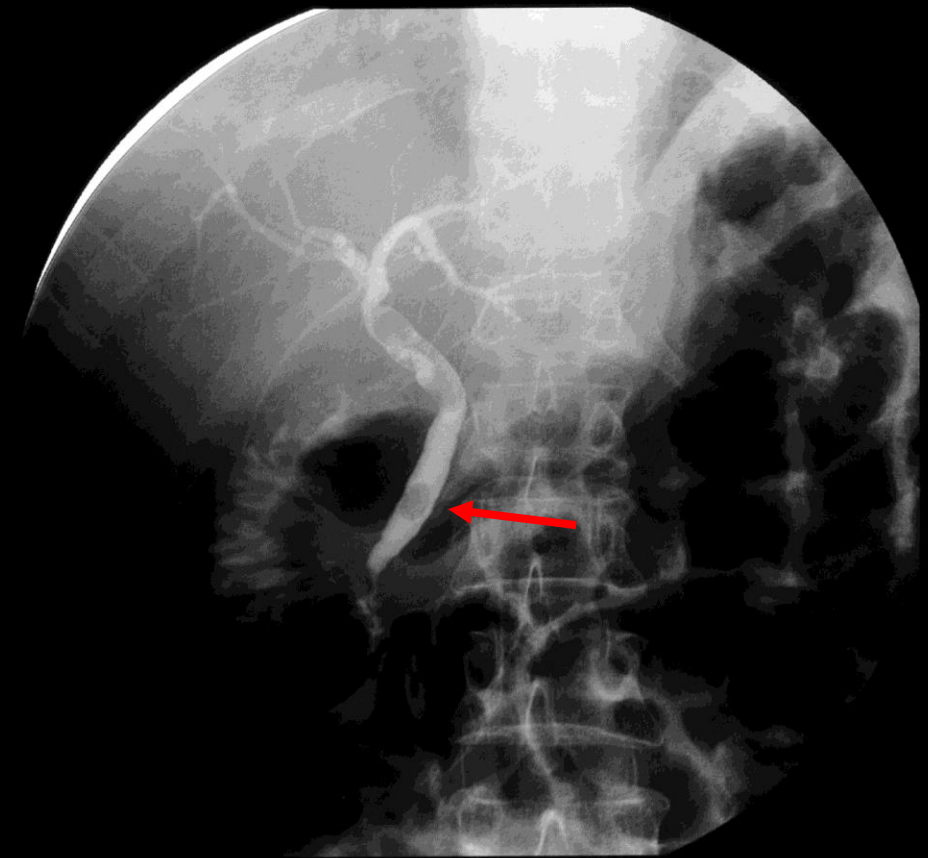
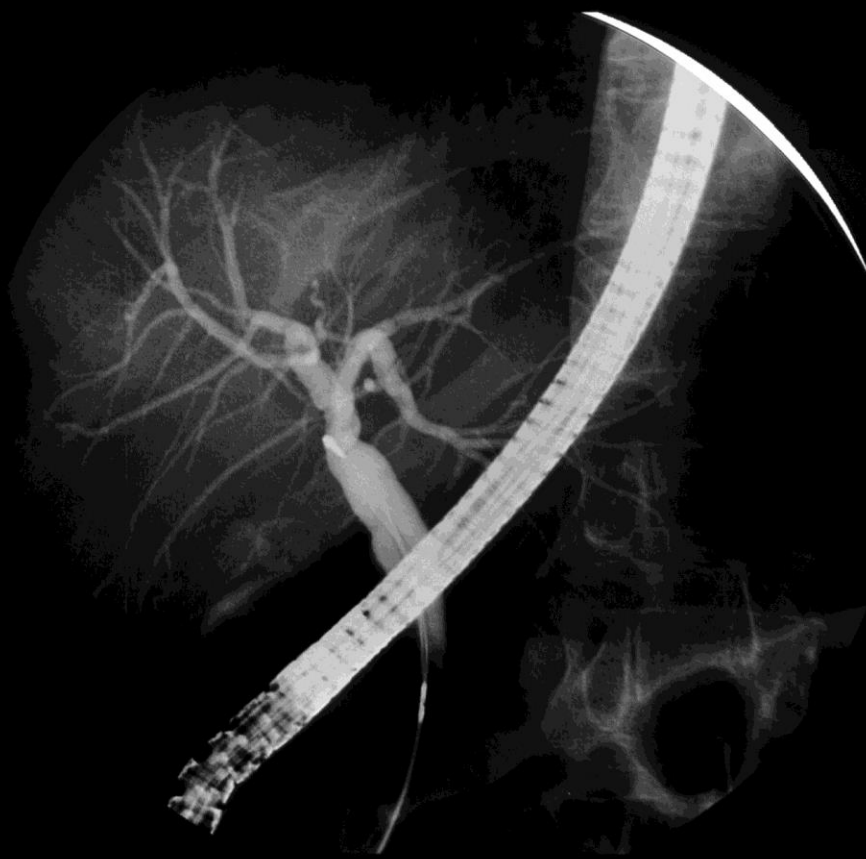
T-run: 15:12:08
T-mask: 6.44
T-image: 8.36

A. MES.



Galdevezjene

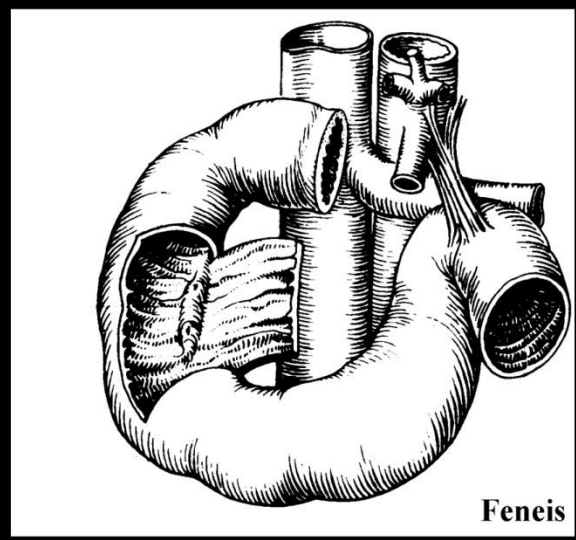
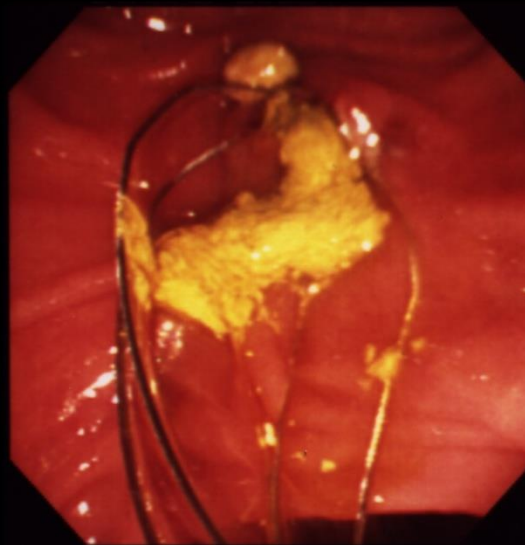
52 årig kvinde, smerter under højre
ribbenskurvatur, affarvet afføring, mørkfarvet
urin.



ERCP: Endoskopisk retrograd cholecysto-pancreaticografi



ERCP: Endoskopisk retrograd cholecysto-pancreaticografi

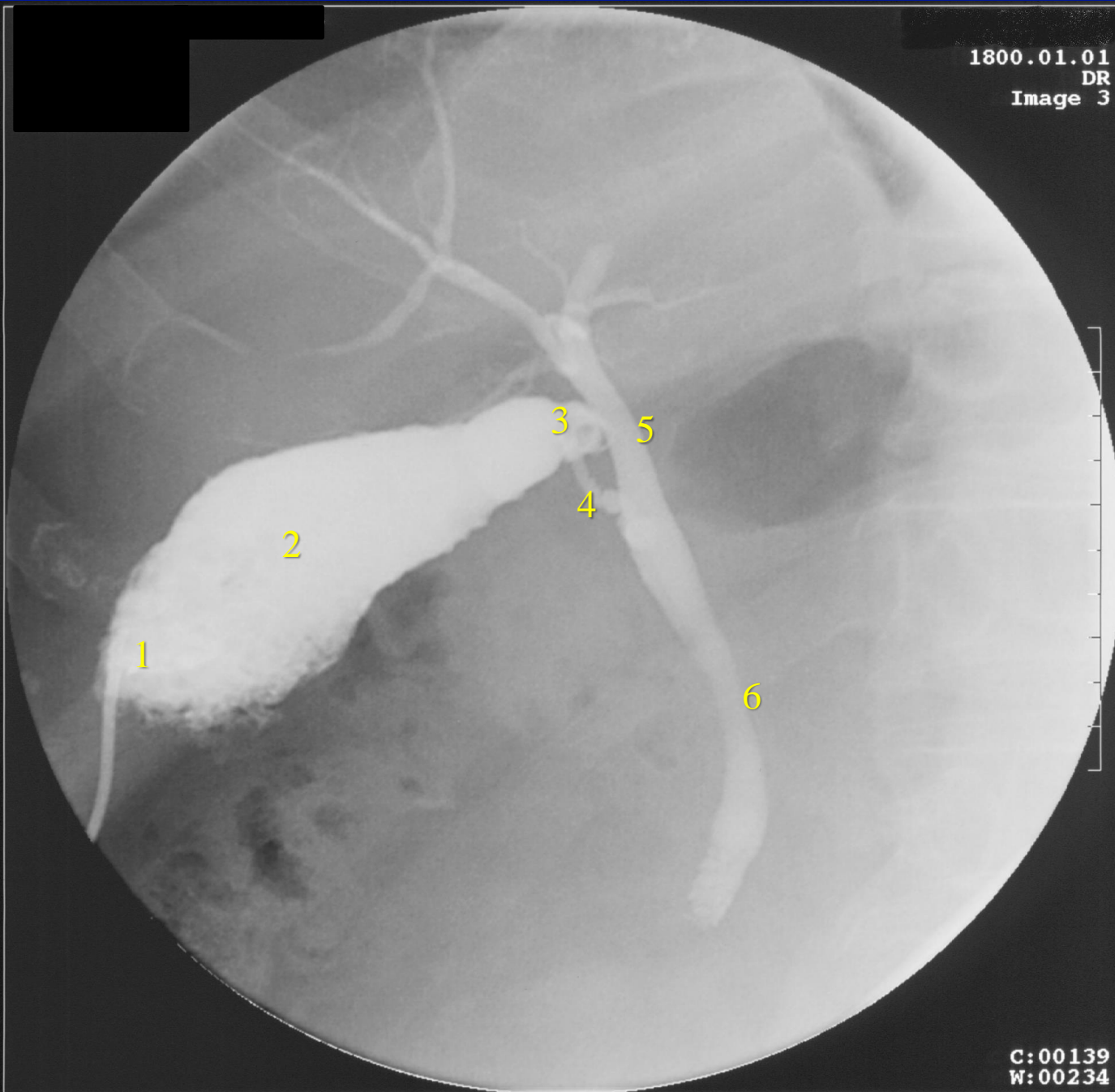


Feneis



Vesica fellea/biliaris:

- 1) Fundus
- 2) Corpus
- 3) Collum
- 4) Ductus cysticus
- 5) Ductus hepaticus communis
- 6) Ductus choledocus

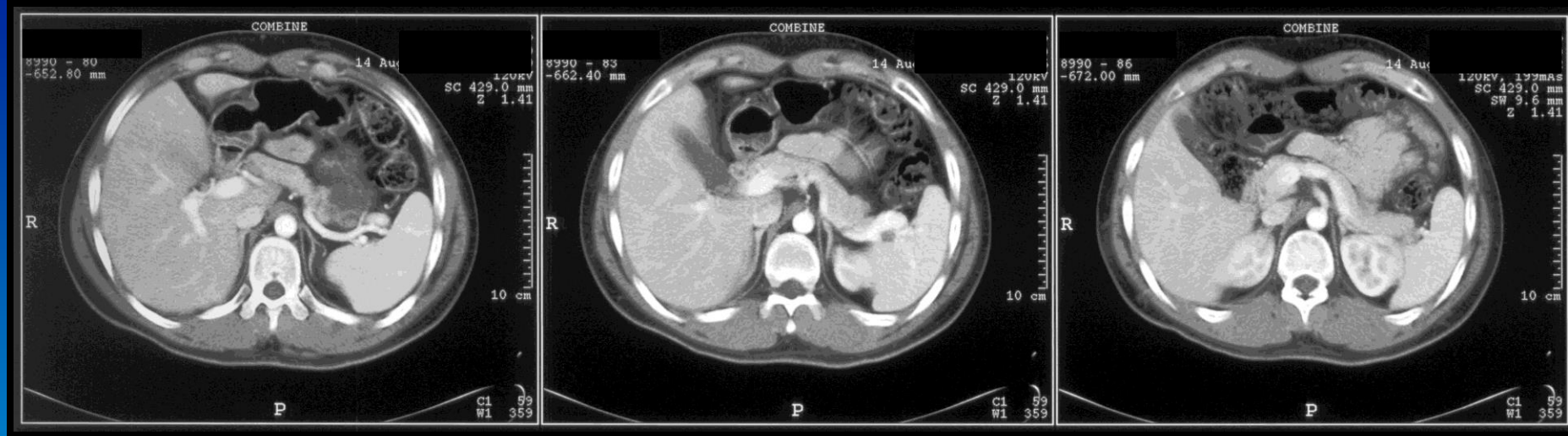


Vesica fellea/billiaris:

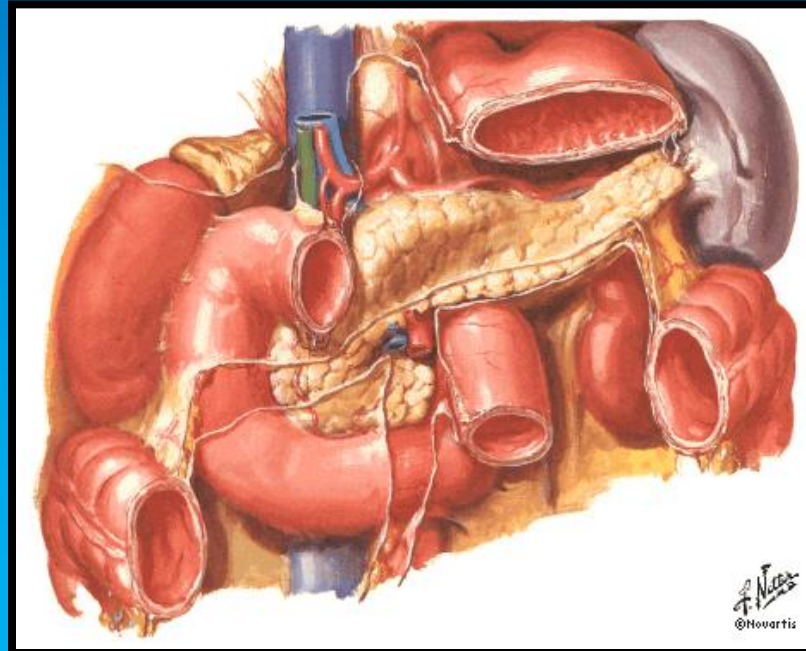
- 1) Fundus
- 2) Corpus
- 3) Collum
- 4) Ductus cysticus
- 5) Ductus hepaticus communis
- 6) Ductus choledocus

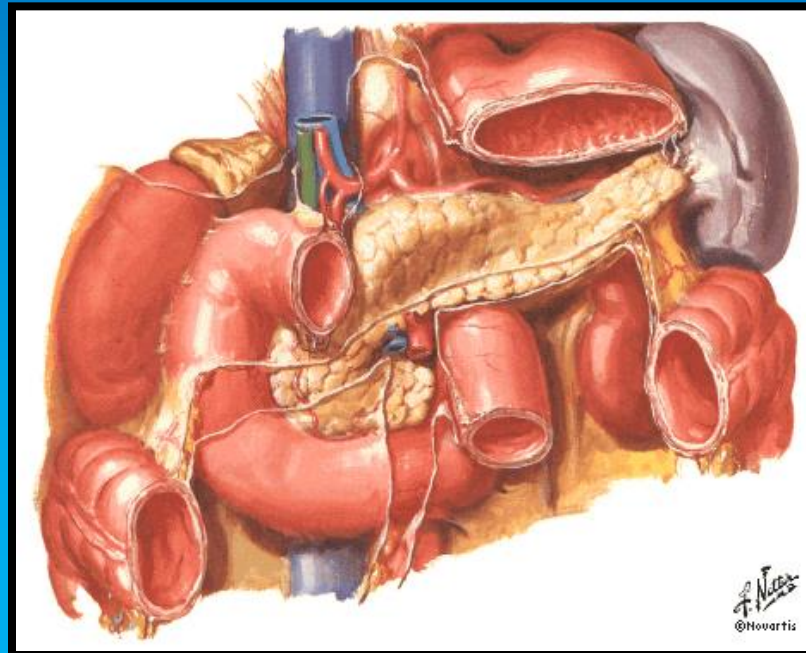
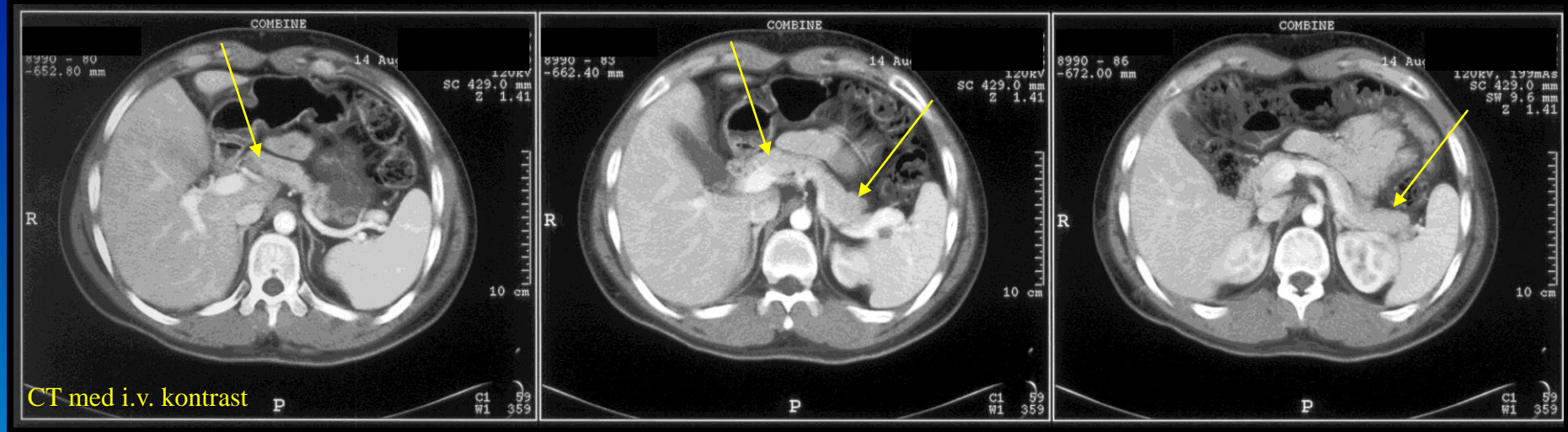
Cholecystografi via et
kateter i fundus

Pancreas

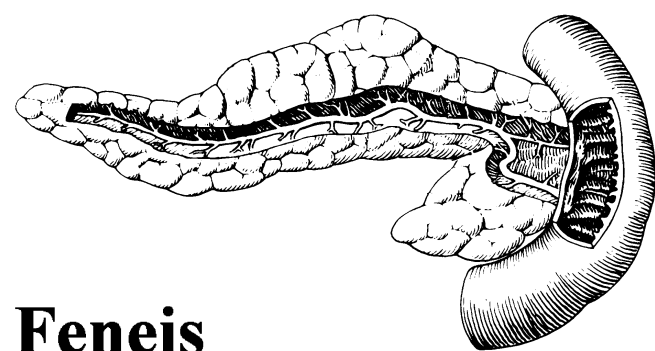
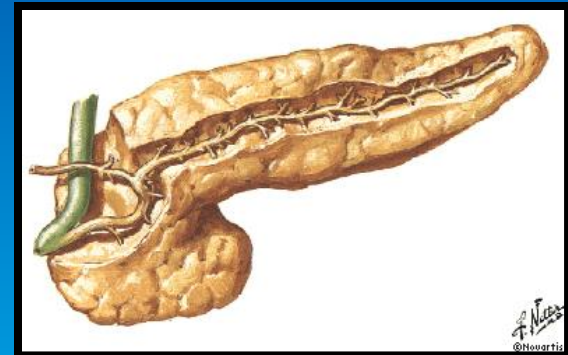


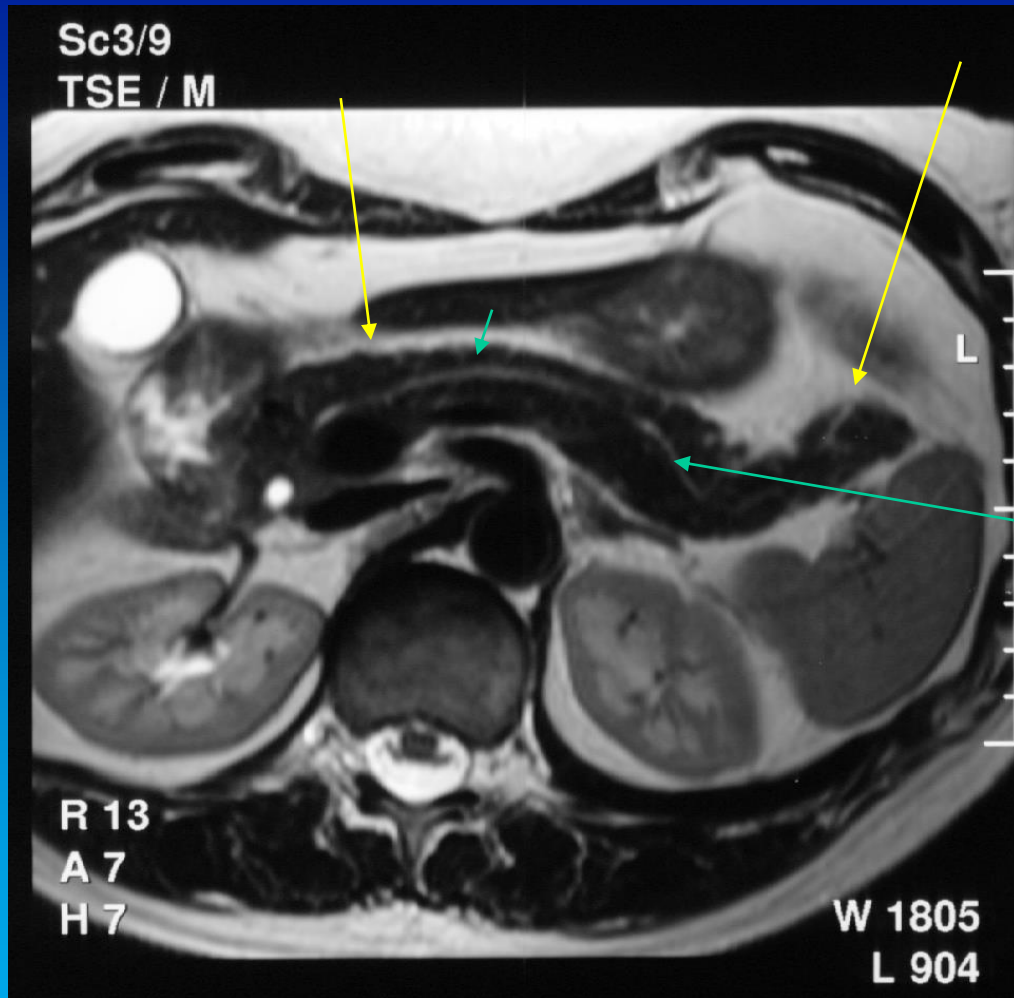
CT med i.v. kontrast



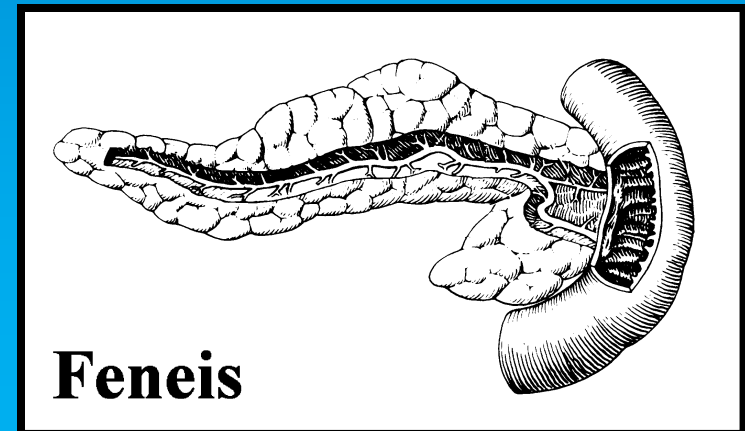
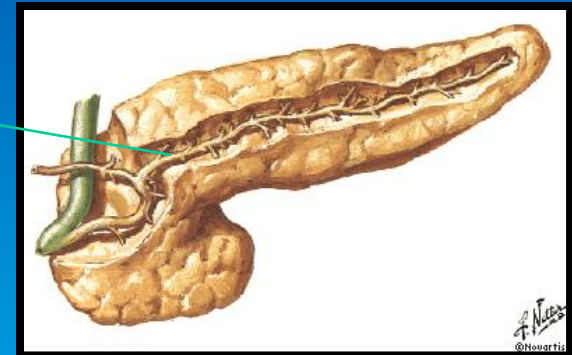


Sc3/9
TSE / M



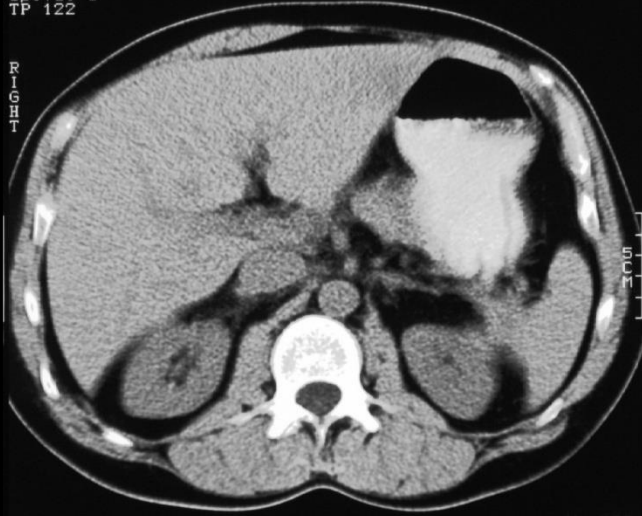


MR af abdomen, T2



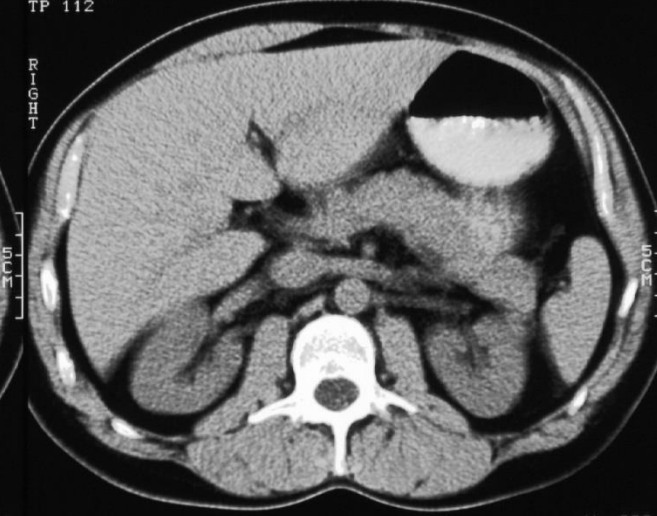
Milten

Image 28 ANTERIOR
15:34:10.3
Spiral 3
TP 122



oral

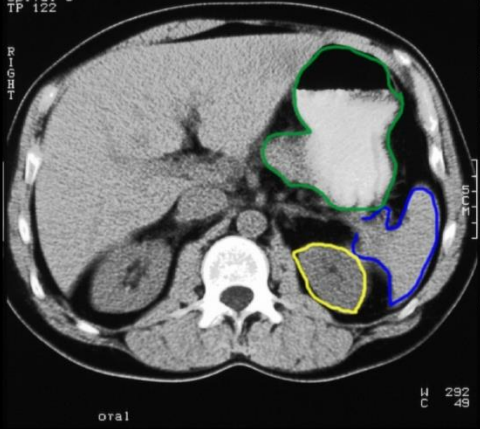
Image 29 ANTERIOR
15:34:11.3
Spiral 3
TP 112



oral

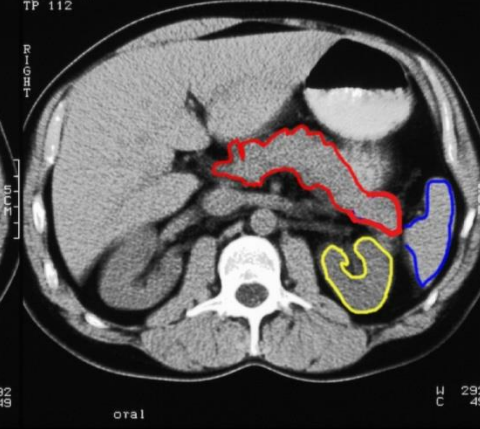
W 292
C 49

Image 28 ANTERIOR
15:34:10.3
Spiral 3
TP 122



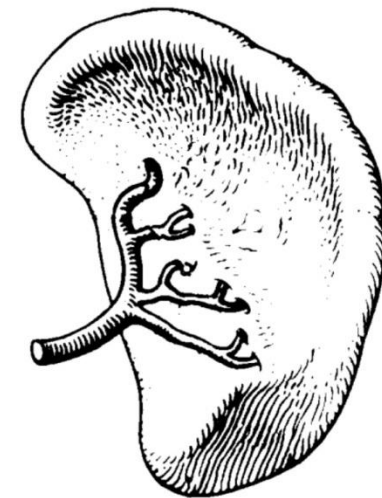
oral

Image 29 ANTERIOR
15:34:11.3
Spiral 3
TP 112



oral

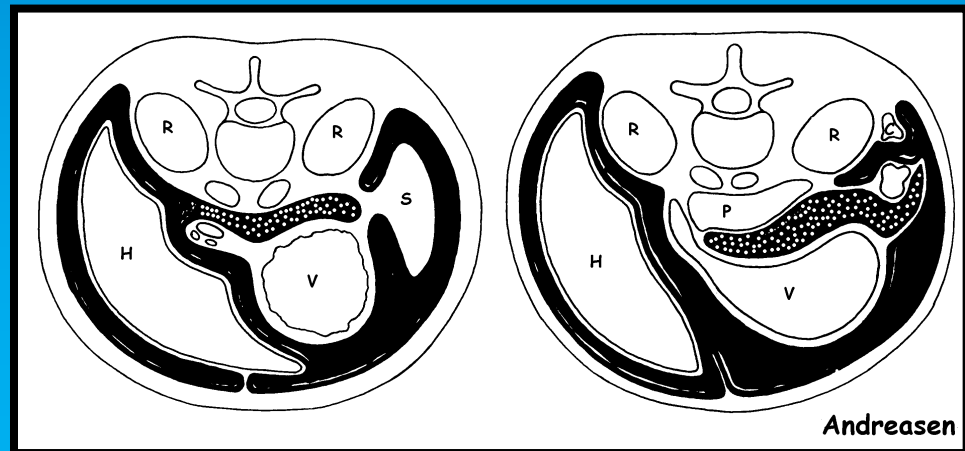
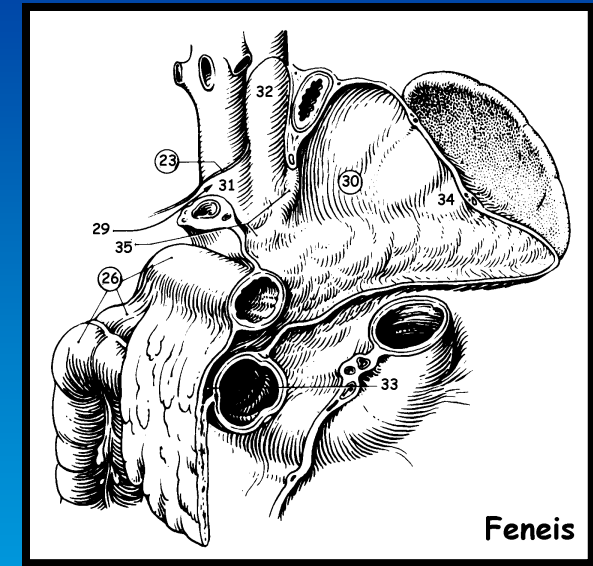
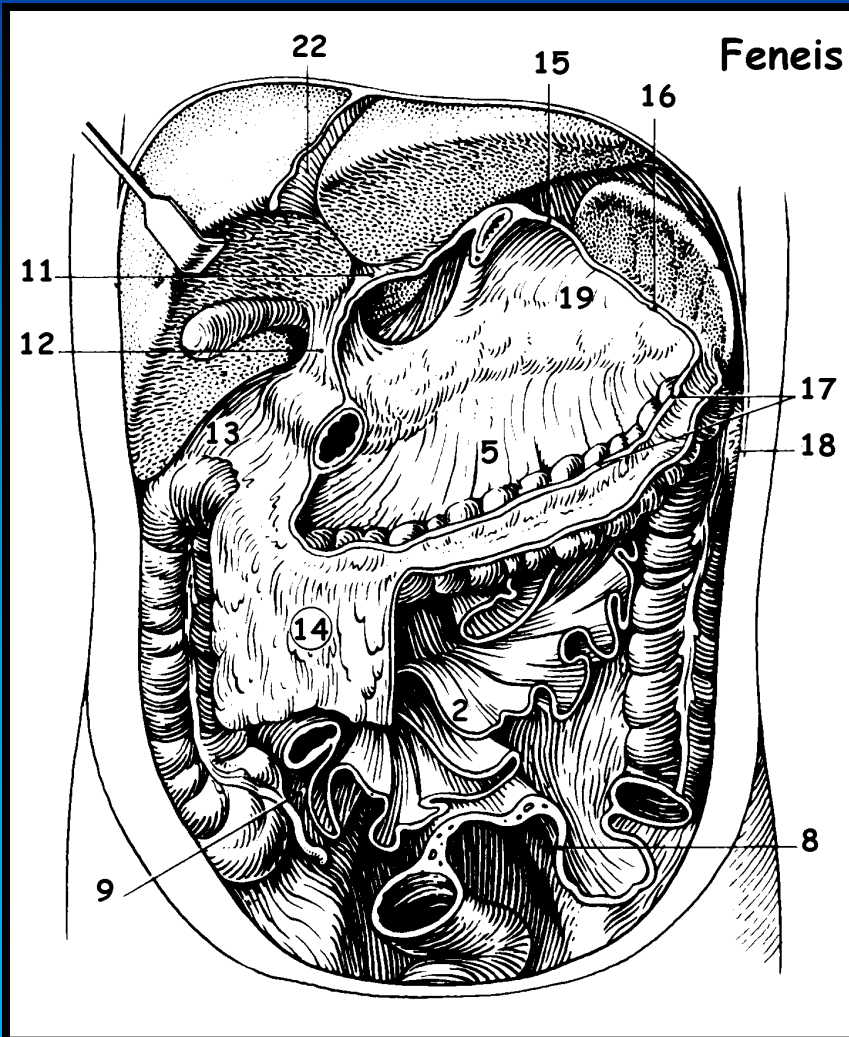
W 292
C 49



Feneis

Peritoneum

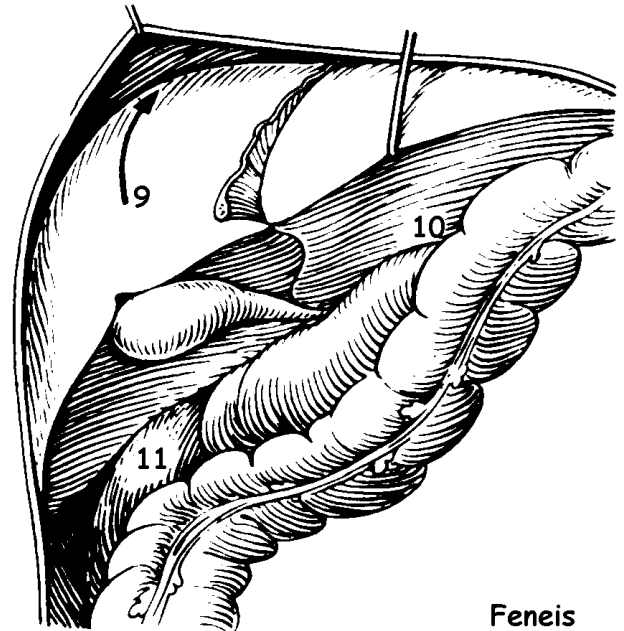
Peritoneum skematisk





76 årig mand med cholecystit, drænbehandlet.
Kontrolcholangiografi.

Kontrast i recessus
subphrenicus

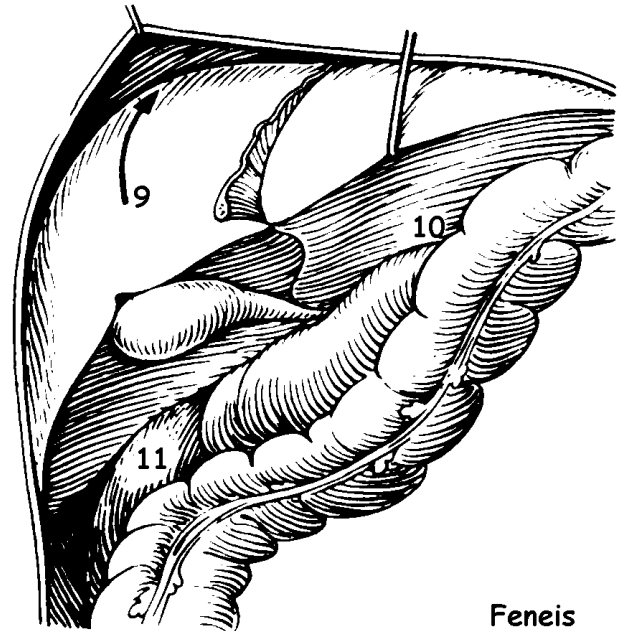


Feneis



76 årig mand med cholecystit, drænbehandlet.
Kontrolcholangiografi.

Kontrast i recessus
subphrenicus



Recessus subhepaticus (Morisons poche)

